

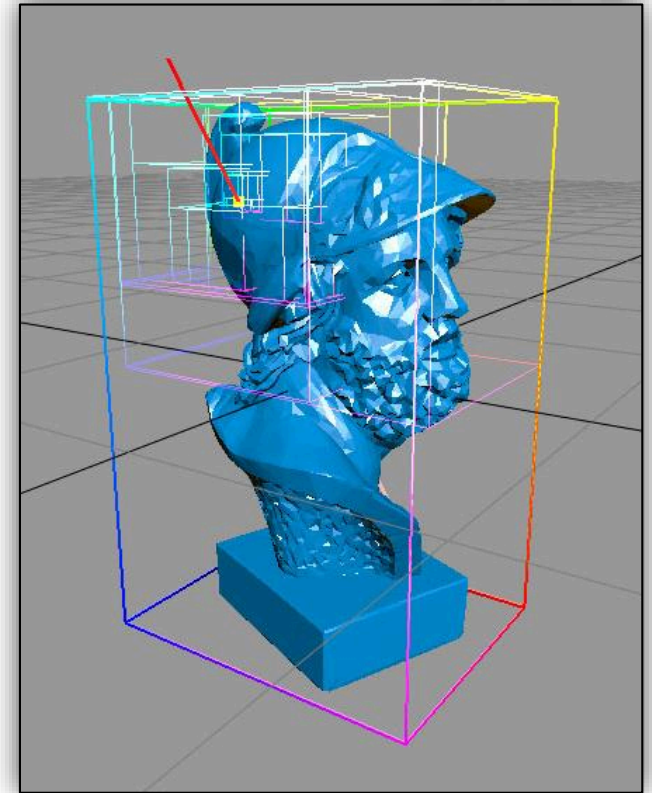
Computergrafik

Vorlesung im Wintersemester 2024/25
Kapitel 5: Räumliche Datenstrukturen

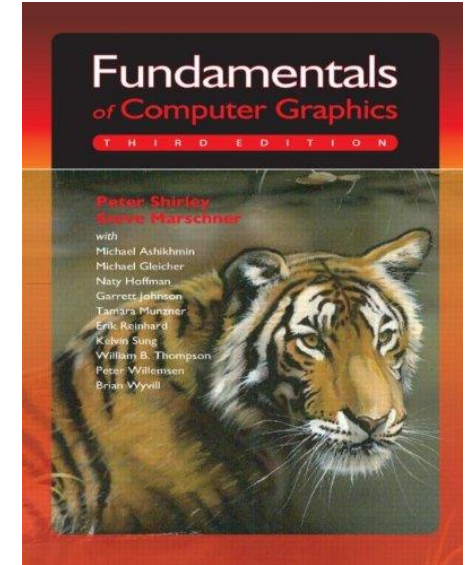
Prof. Dr.-Ing. Carsten Dachsbacher
Lehrstuhl für Computergrafik
Karlsruher Institut für Technologie



- ▶ „Analyse“ der Kosten bei Raytracing
- ▶ Ansätze zur Beschleunigung von Raytracing
- ▶ Bounding Volumes (Hüllkörper)
- ▶ Räumliche Datenstrukturen
 - ▶ **Bounding Volume Hierarchies**
 - ▶ reguläre und adaptive Gitter
 - ▶ BSP-Bäume und **kD-Bäume**
- ▶ GPU-Raytracing übernimmt Beschleunigung (fast) transparent – Wissen über diese Datenstrukturen ist trotzdem wichtig, z.B. für CPU-Raytracing, spezielle Operationen bei Monte Carlo-Verfahren, verwandte Anwendungen etc.
- ▶ Anmerkung: dieselben Datenstrukturen werden auch eingesetzt
 - ▶ zur Kollisionserkennung und Bahnplanung in der Robotik
 - ▶ für Szenengraphen, Culling und Physiksimulationen
 - ▶ als Suchbäume (z.B. Nächster Nachbar in (hochdim.) Räumen)



- ▶ **Fundamentals of Computer Graphics,**
P. Shirley, S. Marschner, 3rd Edition, AK Peters
→ Kapitel 12 (Data Structures for Graphics)
→ insb. Kapitel 12.3 (Spatial Data Structures)



Raytracing Pseudocode



```
for ( y = 0; y < height; y++ ) {
    for ( x = 0; x < width; x++ ) {
        generateRay( ray, x, y );
        color = raytrace( ray, ... );
    }
}

vec3 raytrace( Ray *ray, ... ) {
    vec3 color = 0.0f;

    if ( !cast( ray, FLOAT_MAX ) ) return color; // optional: Environment Mapping
    // weitere(r) Sekundärstrahl(en)
    ...
}

bool cast( Ray *ray, float maxDist ) {
    intersection = NULL;
    float t = maxDist;

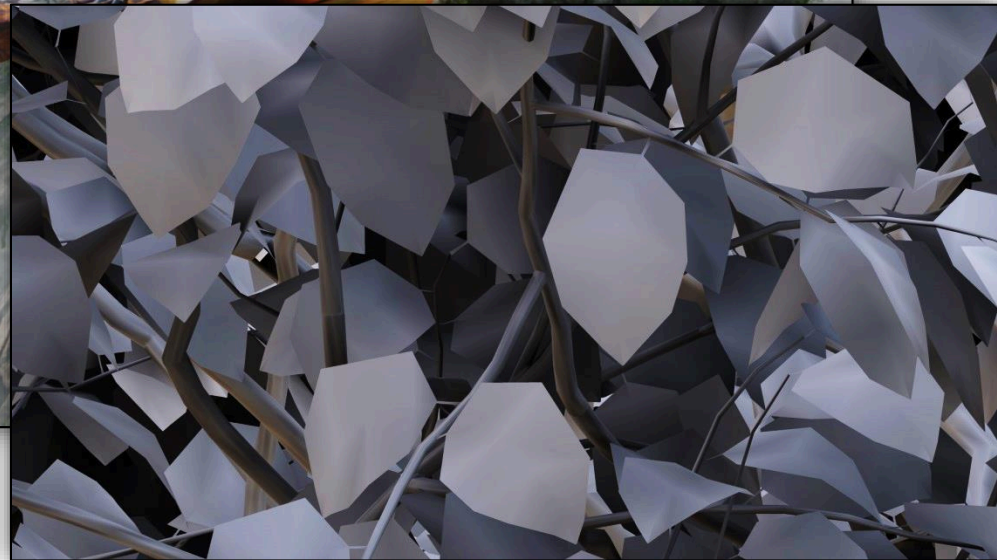
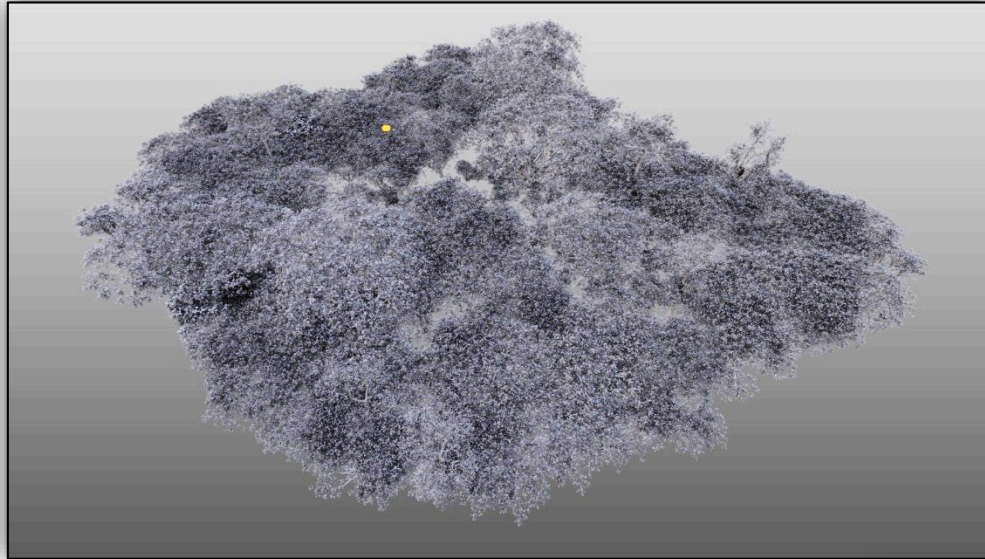
    for ( each object ) {
        t' = intersect( object, ray->origin, ray->direction );

        if ( t' > 0 && t' < t ) {
            intersection = object;
            t = t';
        }
    }

    ray->t = t; ray->object = intersection;
    return intersection != NULL;
}
```

Raytracing: naiv viel zu viele Schnittberechnungen

Avatar (2009): geometrisches Detail / Anzahl Primitive



- ▶ der wesentliche Teilalgorithmus von Raytracing für die Laufzeit, so wie wir es bisher kennengelernt haben, ist:
 - ▶ finde Schnittpunkt des Strahls mit nächstem Primitiv der Szene
 - ▶ Schnitt mit allen Primitiven nimmt beinahe die gesamte Rechenzeit in Anspruch: Aufwand $O(n)$ bei n Primitiven

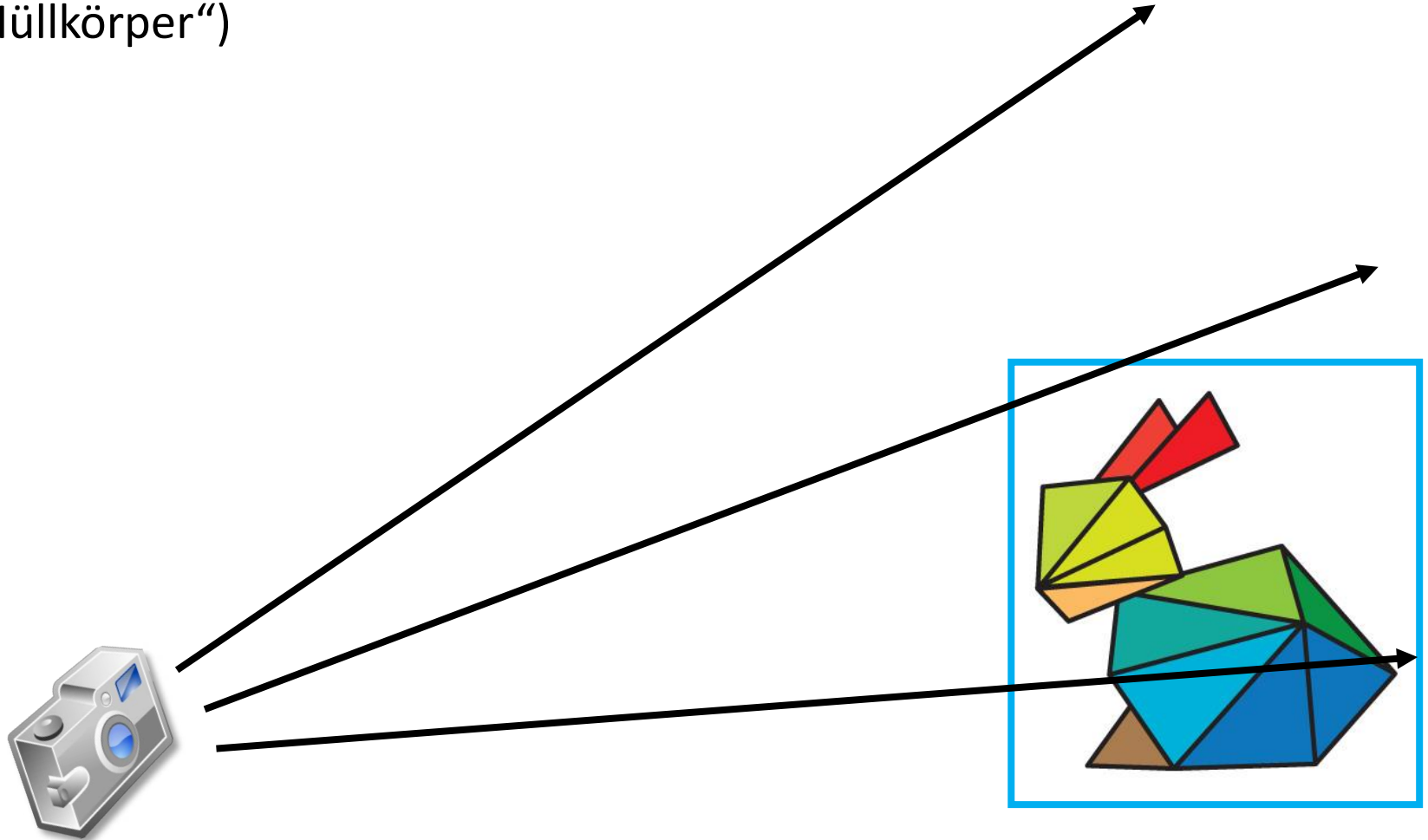
- ▶ Optimierungsansätze, z.B. optimierte Schnitttests lösen das Skalierungsproblem nicht
 - ▶ SIMD macht Sinn, z.B. teste 2×2 Primärstrahlen gleichzeitig auf Schnitt
 - ▶ Sekundärstrahlen und Pfadkonstruktion ist orthogonales Problem

- ▶ **Lösung: vermeide Schnittberechnungen**
 - ▶ frühzeitiges Ausschließen geometrischer Primitive, die nicht geschnitten werden
 - ▶ finde so potentiell geschnittene Objekte schneller
 - ▶ Unterteile den Raum oder die Menge der Primitive

Beschleunigung des Raycasting

Reduziere die Anzahl der Strahl-Primitiv-Schnitttests

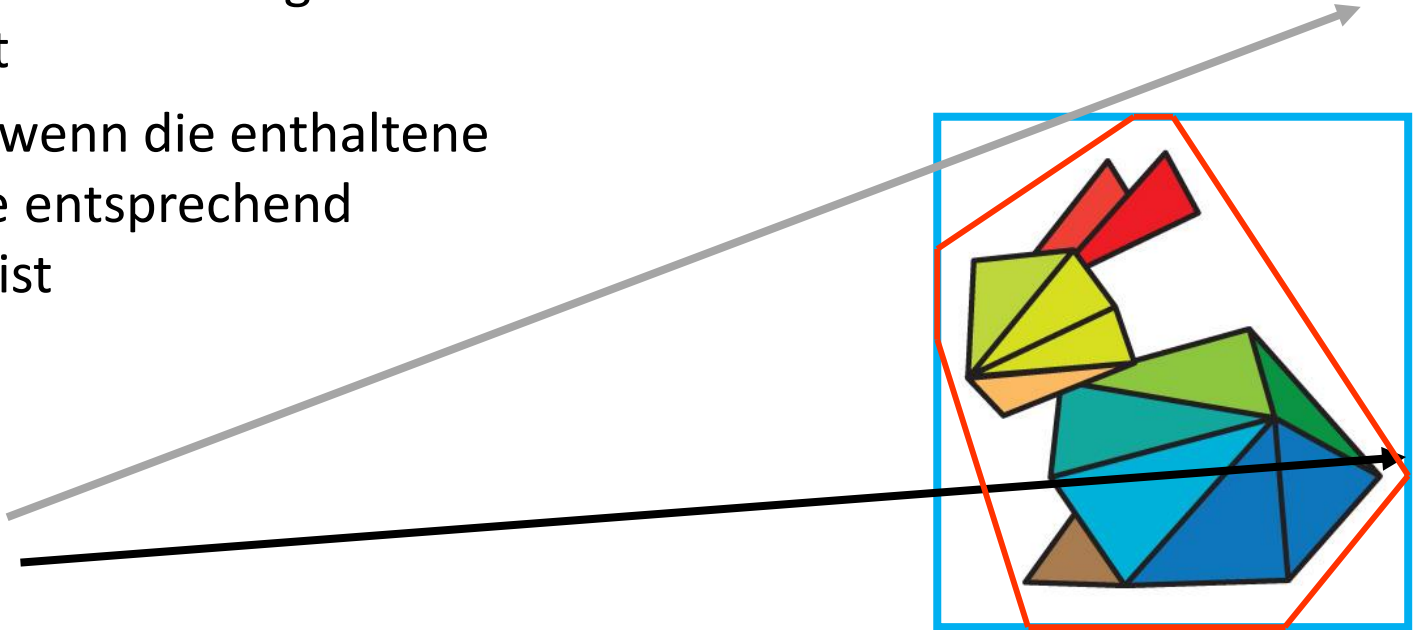
- ▶ schneller Ausschluss von Schnitttests mit Primitiven (Dreiecken) durch Schnitt mit einer (konservativ-großen) einschließenden Geometrie („Hüllkörper“)



Beschleunigung des Raycasting

Reduziere die Anzahl der Strahl-Primitiv-Schnitttests

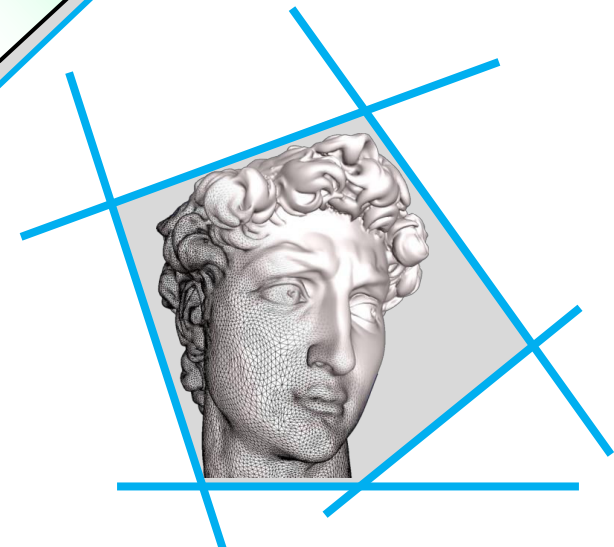
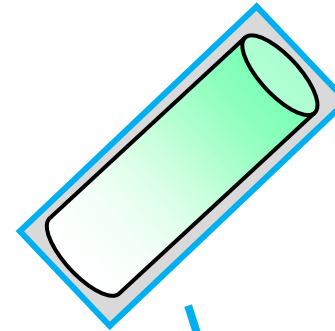
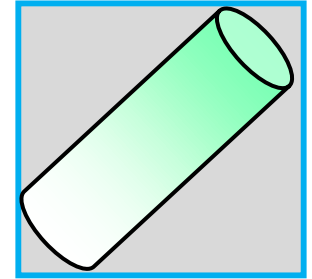
- ▶ schneller Ausschluss von Schnitttests mit Primitiven (Dreiecken)
- ▶ Hüllkörper (engl. Bounding Volume)
 - ▶ sollen möglichst enganliegend/klein sein, um wenige Falschpositive zu erzeugen
 - ▶ Trade-off zw. Effizienz und Speicher/Kosten sowohl bei Berechnung als auch beim Schnitttest
 - ▶ lohnt nur, wenn die enthaltene Geometrie entsprechend detailliert ist



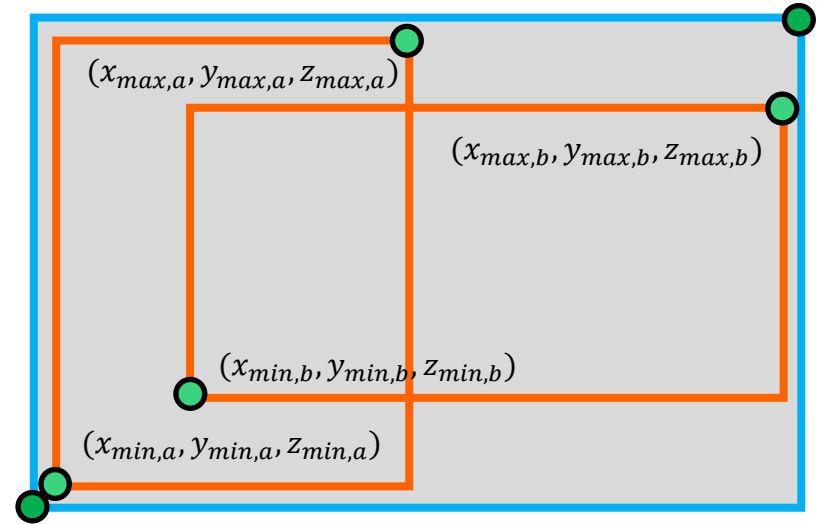
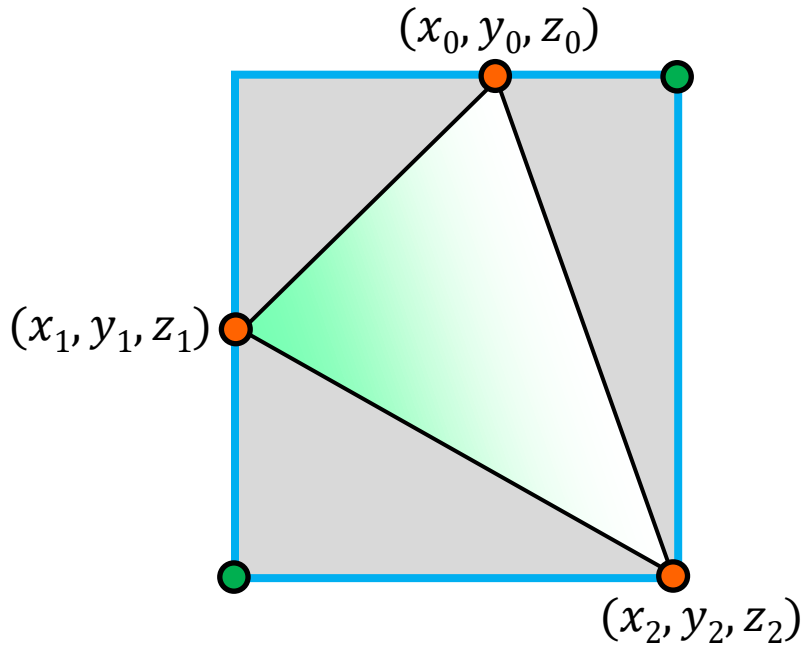
Optimierung: Bounding Volumes

Hüllkörper, Bounding Volumes

- ▶ Kugel
 - ▶ schneller Schnitalgorithmus
 - ▶ oft schlechte Effizienz, da zu groß
- ▶ achsenparallele Box (AABB)
 - ▶ einfache Berechnung (min/max)
 - ▶ wichtigster Hüllkörper
- ▶ orientierte Bounding Box (OBB)
 - ▶ aufwändigere Berechnung (Hauptachsentransformation der Menge von Eckpunkten)
- ▶ allg. konvexe Region (begrenzende Halbräume)
 - ▶ Spezialfall „Slabs“: Schnitt von Paaren paralleler Halbebenen
 - ▶ gute Effizienz, schnelle Berechnung (sofern nicht die global beste Lösung gefordert wird)



Axis-Aligned Bounding Boxes



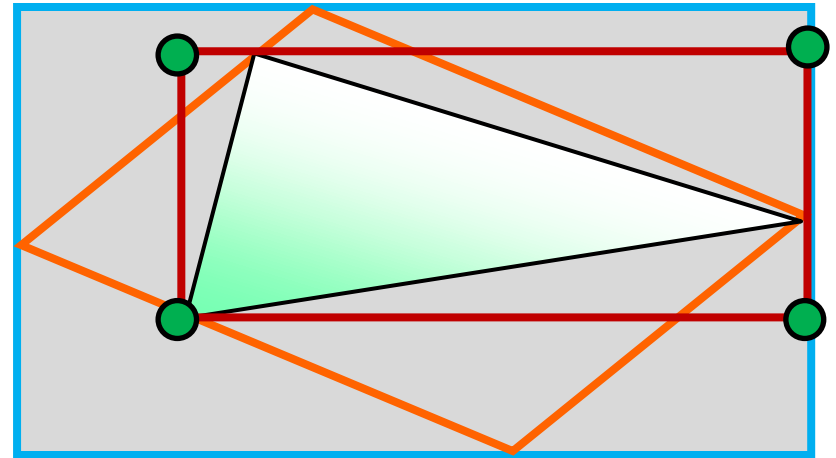
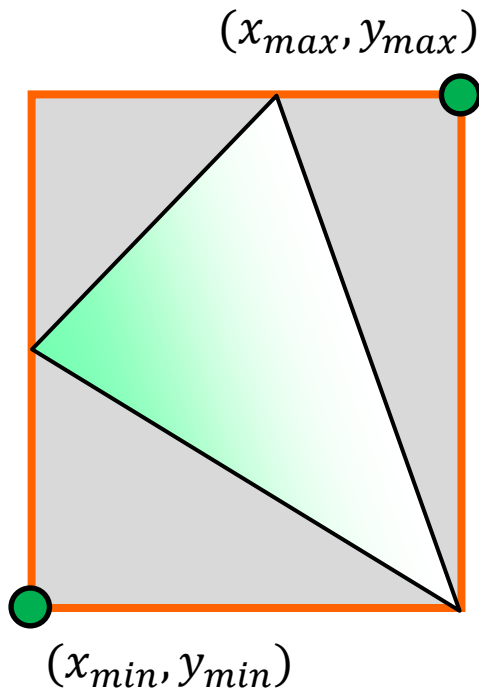
Minima/Maxima der Eckpunktkoord.,
mehrere Primitive: min bzw. max
über jeweils alle x, y, z -Komponenten

Minima/Maxima der AABB-Ecken

AABBs transformierter Dreiecksnetze

- ▶ kleinere AABB durch Transformation der Eckpunkte des Dreiecks(netzes) und Neubestimmung der Minima und Maxima
- ▶ erhöhte Kosten für Bestimmung der AABB, aber i.d.R. deutlich kleinerer Hüllkörper und somit weniger Falschpositive

Transformation **M**



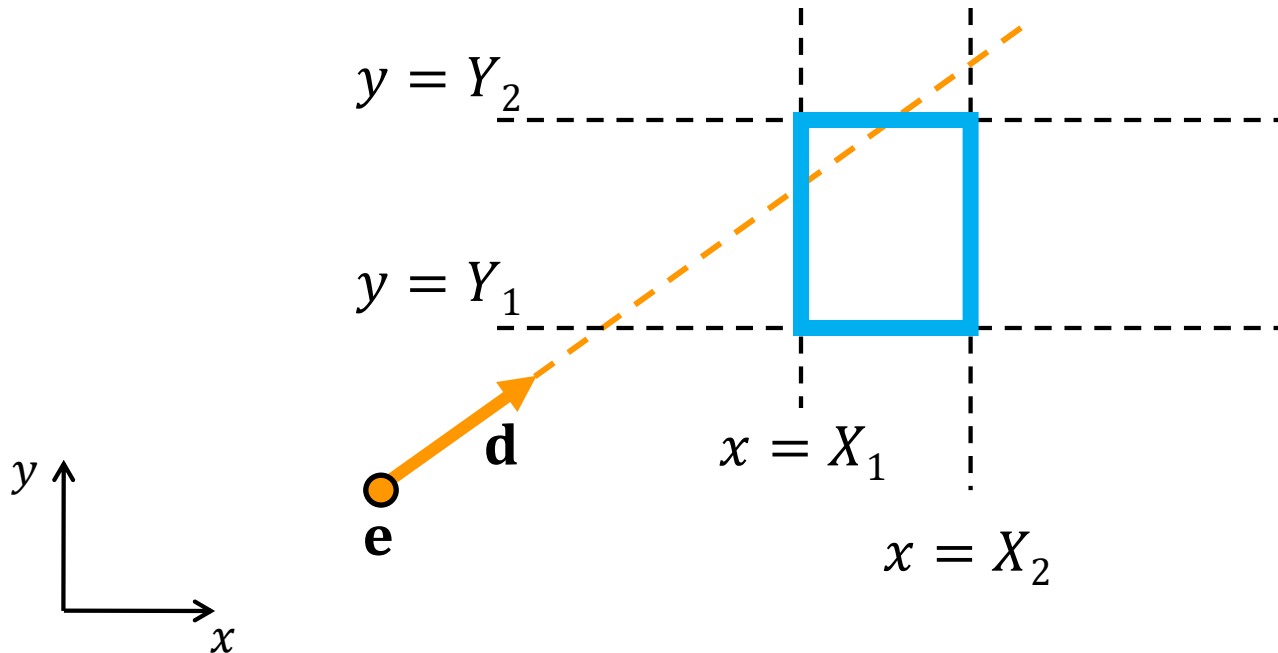
Bounding Volume: AABB

Schnittberechnung Strahl-AABB

▶ AABB: $(X_1, Y_1, Z_1) \rightarrow (X_2, Y_2, Z_2)$

▶ Strahl: $\mathbf{r}(t) = \mathbf{e} + t\mathbf{d}$

▶ wichtigster Hüllkörper – später sind wir nicht nur interessiert, **ob** es einen Schnitt mit der AABB gibt, sondern auch **wo** sie liegen



Bounding Volume: AABB

Schnittberechnung Strahl-AABB

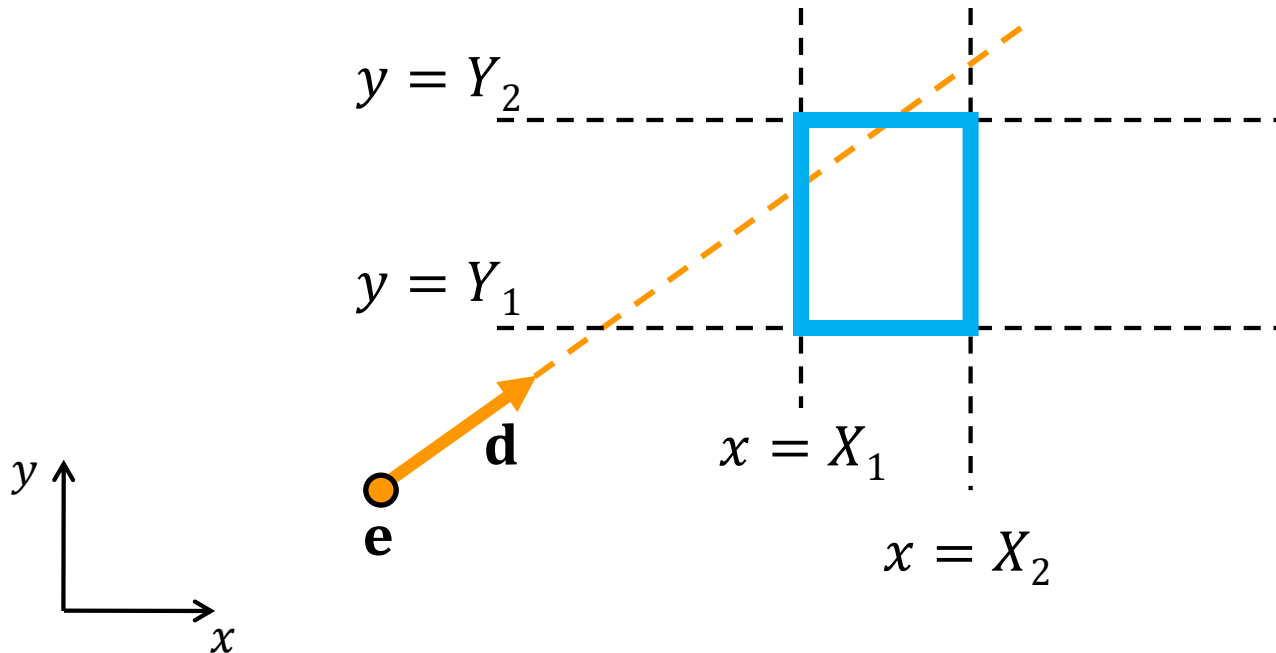
▶ AABB: $(X_1, Y_1, Z_1) \rightarrow (X_2, Y_2, Z_2)$

▶ Strahl: $\mathbf{r}(t) = \mathbf{e} + t\mathbf{d}$

▶ naiver Ansatz:

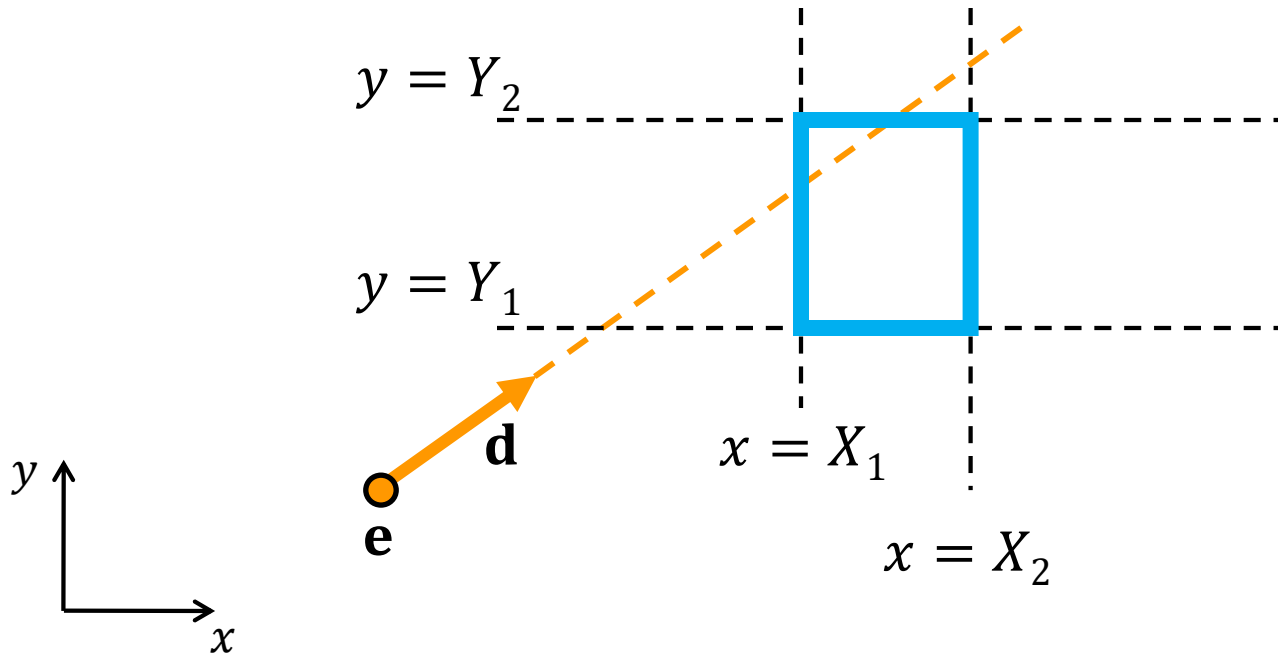
▶ 6 Ebenengleichungen: berechne alle Schnittpunkte

▶ teste, ob einer der Schnittpunkte *auf* der Box liegt



Optimierungen

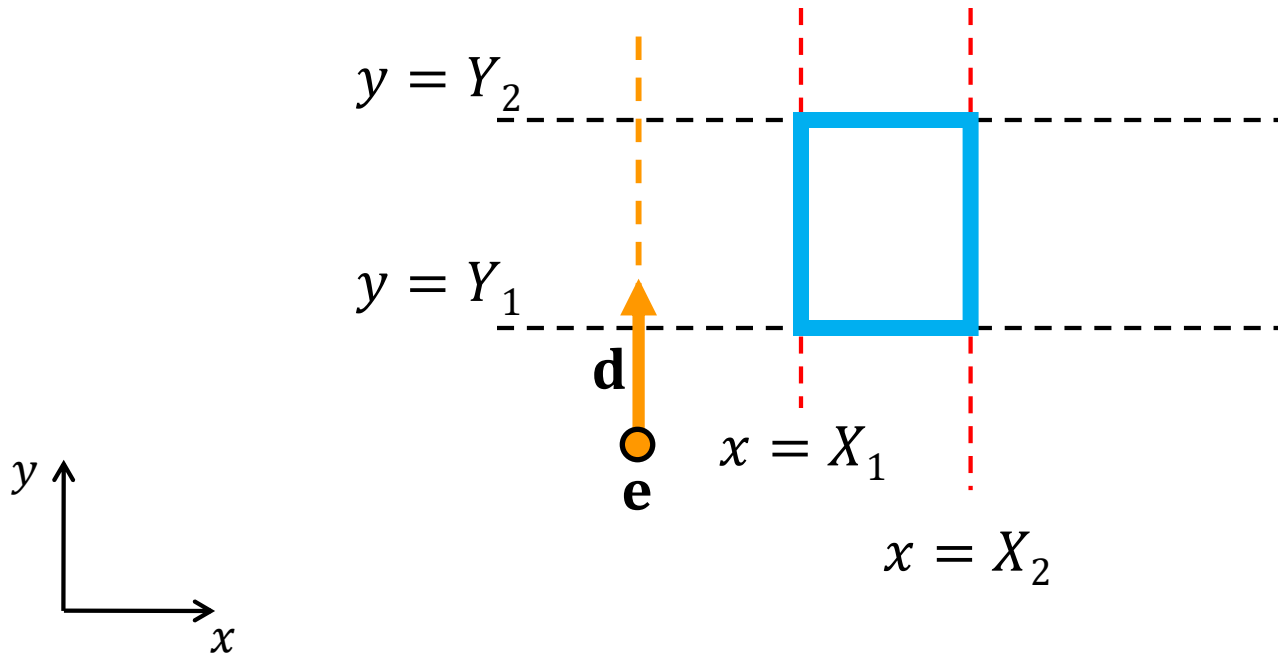
- ▶ der Schnittest Strahl-AABB wird i.d.R. sehr oft benötigt
→ hier lohnt es sich zu optimieren!
- ▶ Beobachtung:
 - ▶ jeweils 2 Ebenen besitzen dieselbe Normale → führe Berechnungen für jede Dimension jeweils paarweise aus
 - ▶ Normalen sind achsenparallel: nur eine Komponente ungleich 0



Bounding Volume: AABB

Schnittberechnung Strahl-AABB: Test, ob Strahl und Box parallel

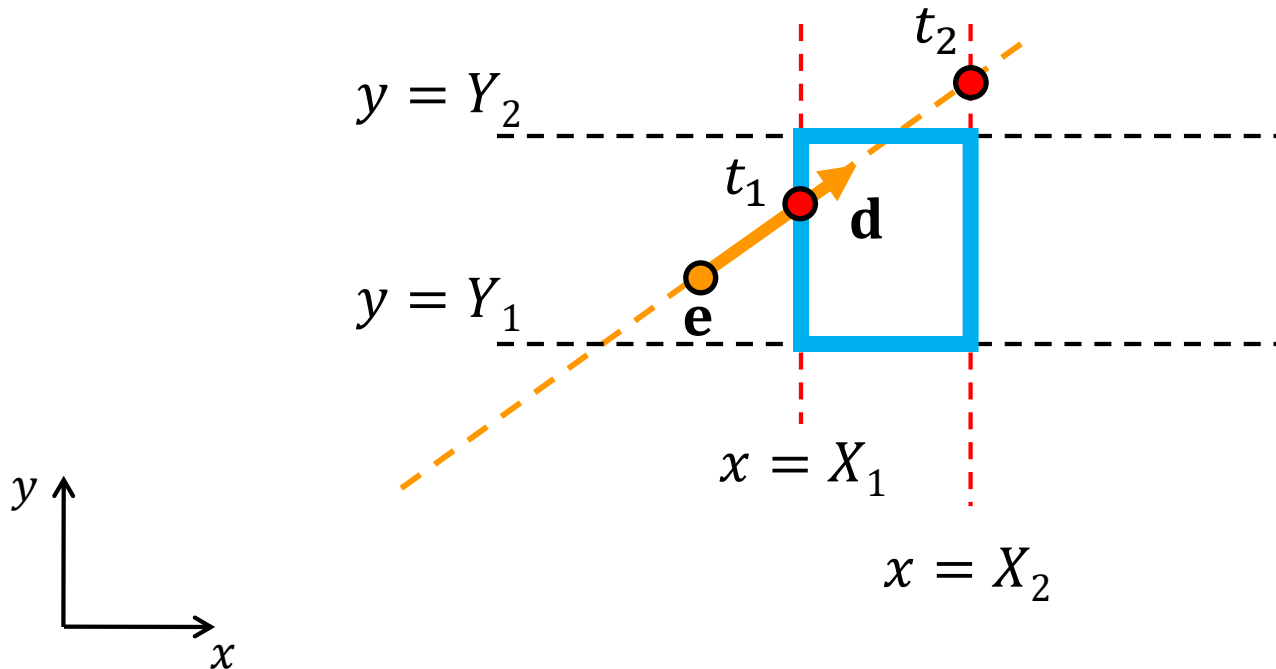
- ▶ vor den Ebenenschnitten zunächst Ausschlusstests...
- ▶ wenn $d_x = 0 \wedge (e_x < X_1 \vee e_x > X_2) \Rightarrow$ kein Schnitt
- ▶ analog für d_y und d_z



Bounding Volume: AABB

Schnittberechnung für jede Dimension

- ▶ berechne Entfernung zu den Ebenenschnitten t_1 und t_2
 - ▶ $t_1 = (X_1 - e_x)/d_x$
 - ▶ $t_2 = (X_2 - e_x)/d_x$
 - ▶ diese Berechnung ist Spezialfall des Strahl-Ebenen-Schnitt (Normalen entlang der Achsen), allgemein: $t = \frac{d - \mathbf{e} \cdot \mathbf{n}}{\mathbf{d} \cdot \mathbf{n}}$

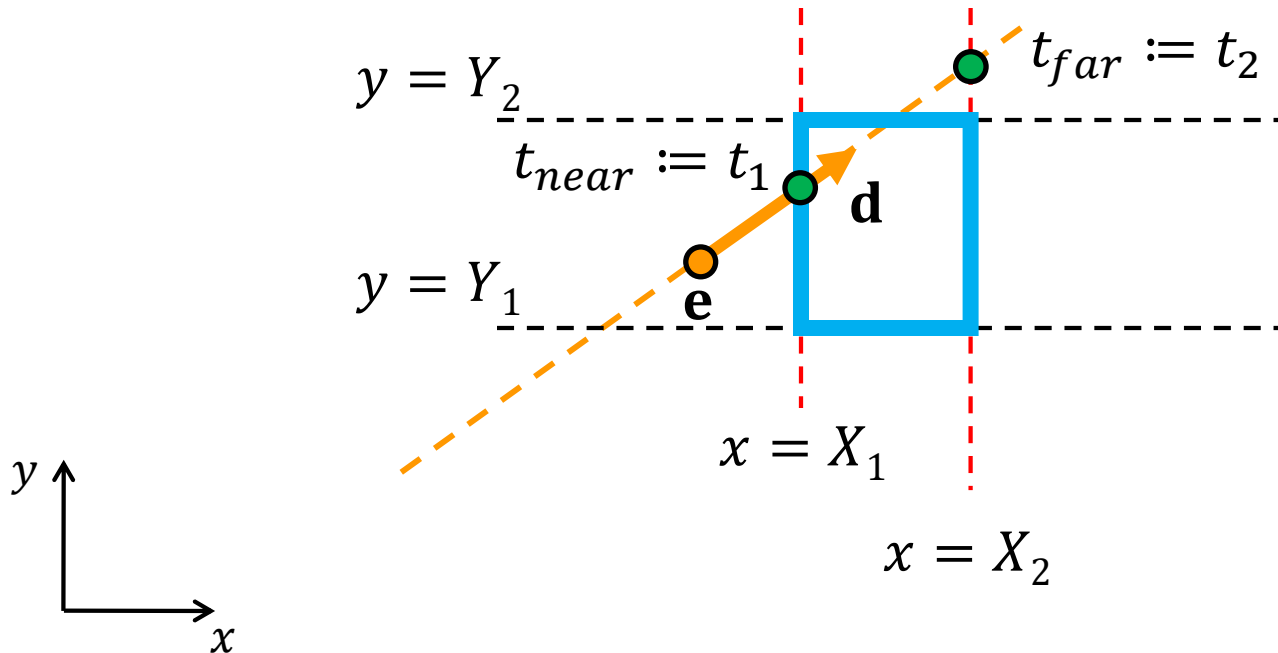


Bounding Volume: AABB



Schnittberechnung für jede Dimension

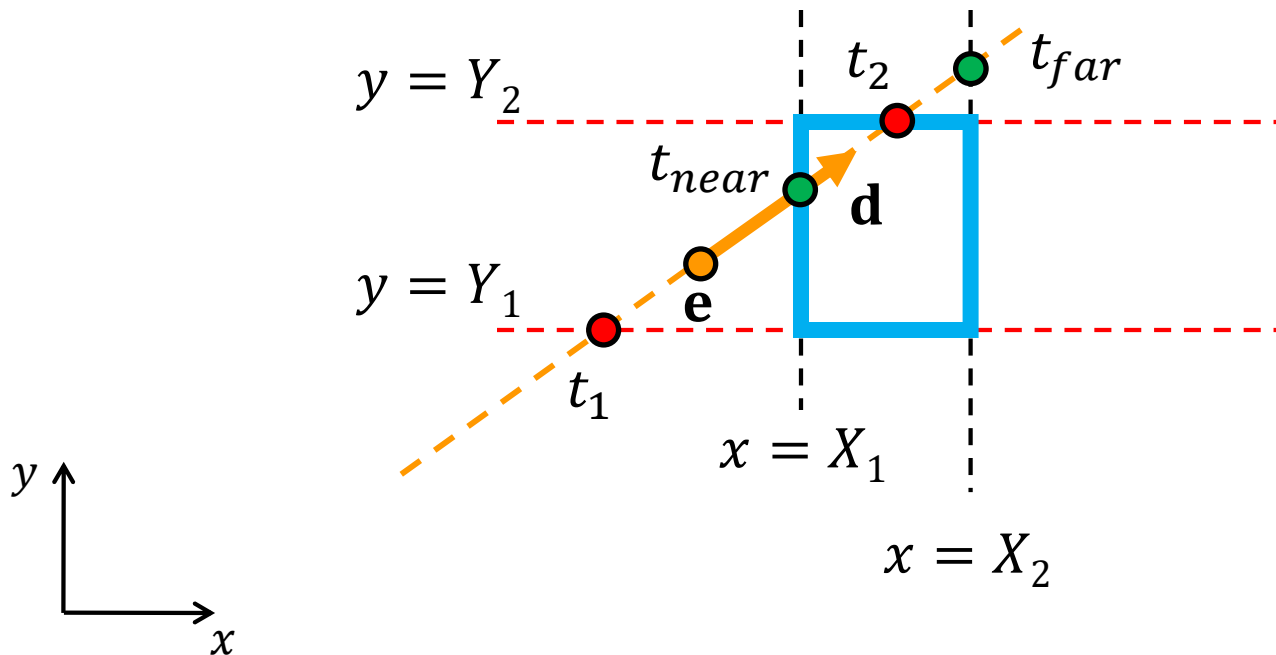
- ▶ berechne Entfernung zu den Ebenenschnitten t_1 und t_2
 - ▶ Annahme $t_1 \leq t_2$ (ansonsten werden die Werte getauscht)
 - ▶ $t_{near} := t_1$ und $t_{far} := t_2$
 - ▶ $[t_{near}; t_{far}]$ soll am Ende das Intervall des Strahls beschreiben, das mit der AABB überlappt



Bounding Volume: AABB

Schnittberechnung Strahl-AABB: t_{near} und t_{far} bestimmen

- ▶ Berechnung der Schnitte mit den weiteren Ebenenpaaren und Mitführen des nächsten und entferntesten Schnitts *mit der AABB*
 - ▶ Annahme $t_1 \leq t_2$
 - ▶ wenn $t_1 > t_{near}$, dann $t_{near} = t_1$ (hier nicht der Fall)
 - ▶ wenn $t_2 < t_{far}$, dann $t_{far} = t_2$

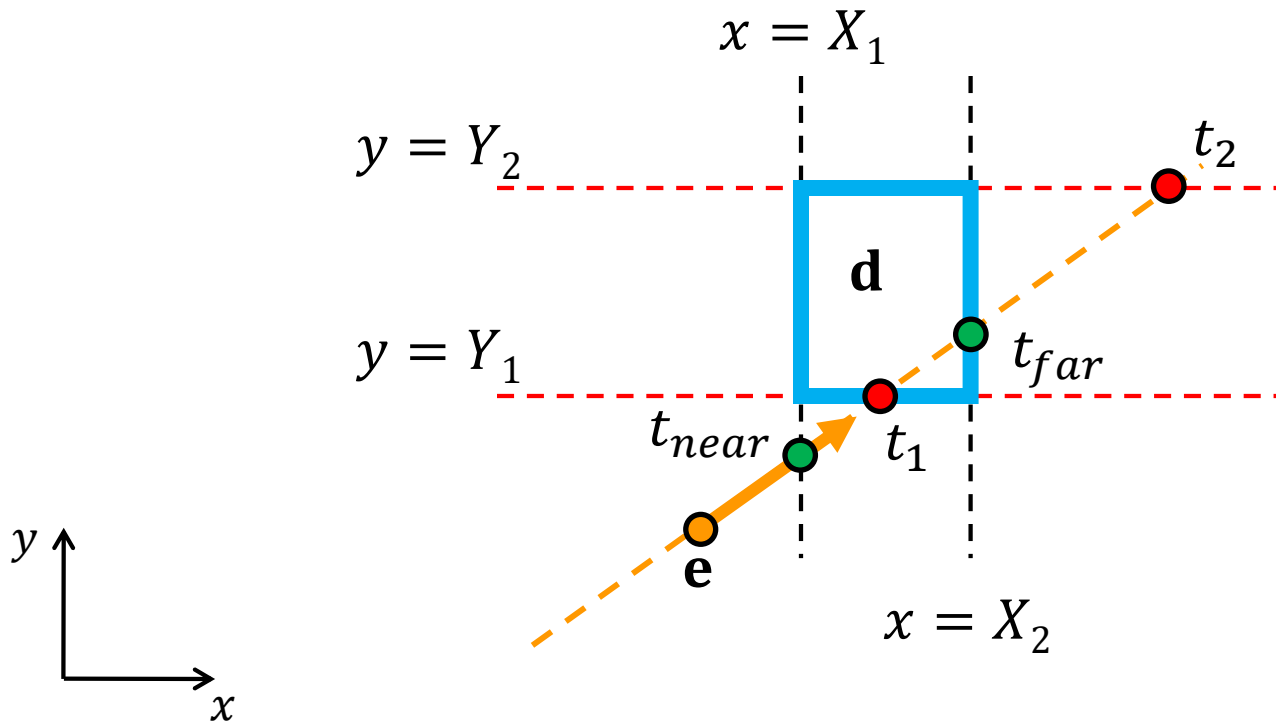


Bounding Volume: AABB



Schnittberechnung Strahl-AABB: t_{near} und t_{far} bestimmen

- ▶ Berechnung der Schnitte mit den weiteren Ebenenpaaren und Mitführen des nahsten und entferntesten Schnitts *mit der AABB*
 - ▶ wenn $t_1 > t_{near}$, dann $t_{near} = t_1$
 - ▶ wenn $t_2 < t_{far}$, dann $t_{far} = t_2$ (hier nicht der Fall)
- ▶ am Ende beschreibt $[t_{near}; t_{far}]$ den Überlapp des Strahls mit der AABB

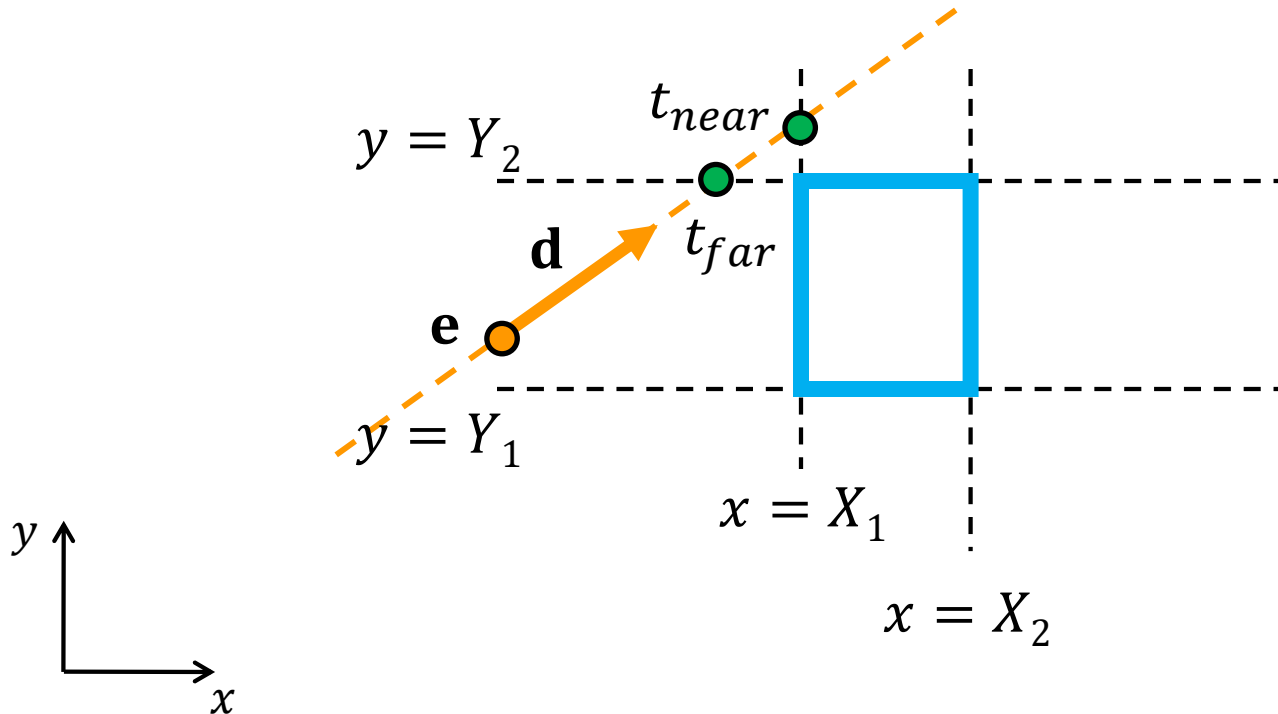


Bounding Volume: AABB



Schnittberechnung Strahl-AABB: existiert ein Schnittpunkt?

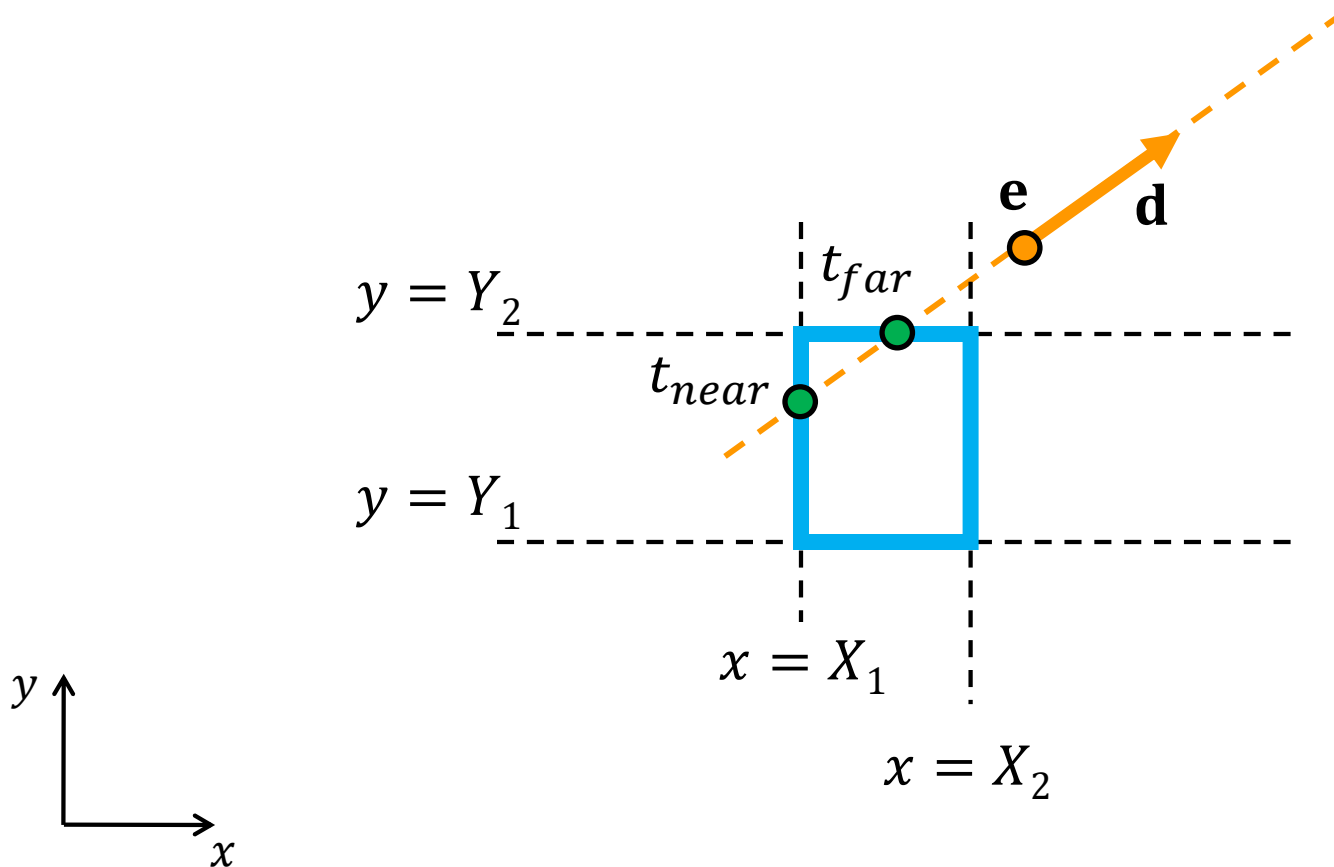
- ▶ am Ende beschreibt $[t_{near}; t_{far}]$ den Überlapp des Strahls mit der AABB, *außer in den folgenden Fällen...*
- ▶ wenn $t_{near} > t_{far}$ wird die Box nicht getroffen
- ▶ hier: der Strahl verlässt das Intervall $[Y_1; Y_2]$ bevor er $[X_1; X_2]$ erreicht



Bounding Volume: AABB

Schnittberechnung Strahl-AABB: Box hinter dem Strahlursprung?

- ▶ wenn $t_{far} < 0$ ist die Box hinter dem Strahl

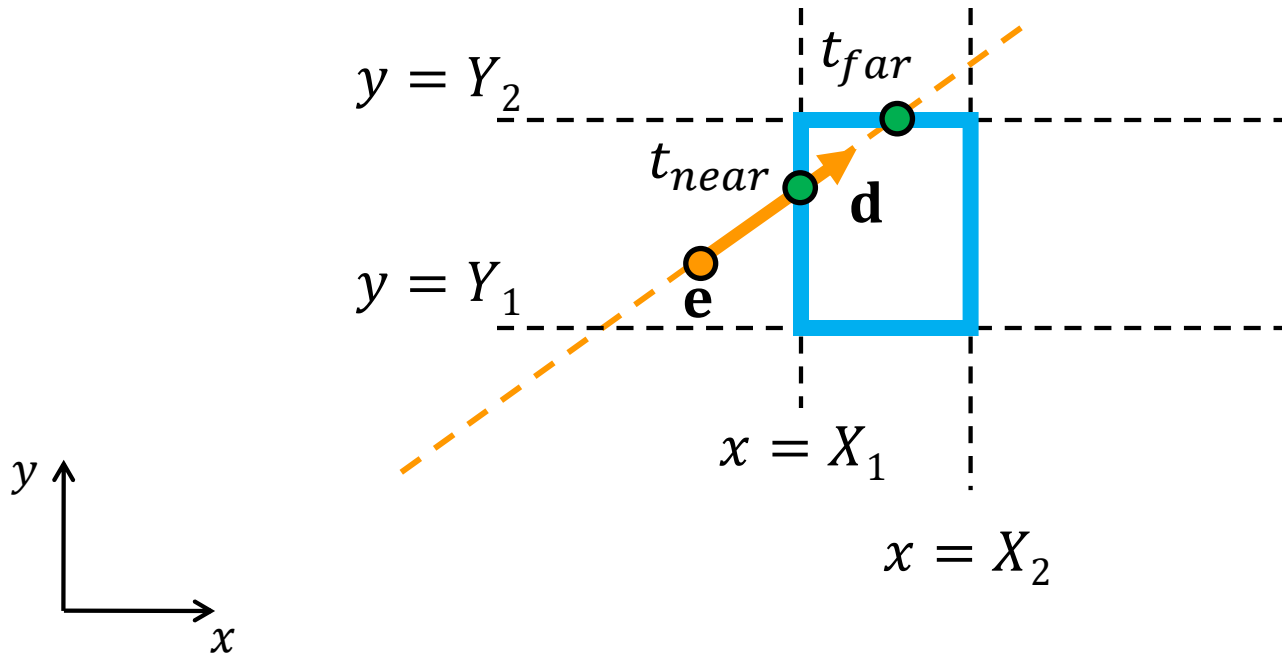


Bounding Volume: AABB



Richtigen Schnittpunkt zurückliefern (sofern benötigt)

- ▶ wenn $t_{near} > 0 \rightarrow$ nahster Schnittpunkt bei t_{near}
- ▶ sonst: Schnittpunkt bei t_{far} (Strahl beginnt innerhalb der AABB)
- ▶ t_{near} und t_{far} helfen uns also die Fälle elegant zu unterscheiden
- ▶ auch wenn wir gerade nur daran interessiert zu testen, **ob** es einen Schnitt mit der AABB gibt, brauchen wir das Strahlsegment später noch



Bounding Volume: AABB

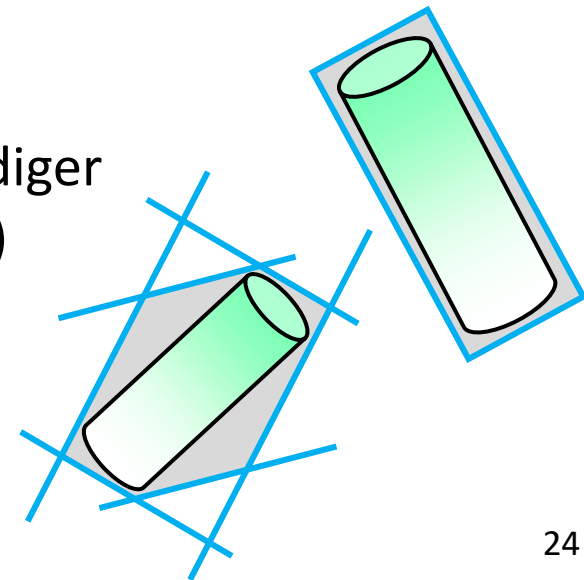


Zusammenfassung Schnittberechnung Strahl-AABB

- ▶ für jede Dimension (hier für x gezeigt):
wenn $d_x = 0 \wedge (e_x < X_1 \vee e_x > X_2) \Rightarrow$ kein Schnitt
- ▶ für jede Dimension:
 - ▶ berechne $t_1 = (X_1 - e_x)/d_x$ und $t_2 = (X_2 - e_x)/d_x$
 - ▶ wenn $t_1 > t_2$ tausche t_1 und t_2 (benötigt wenn $d_x, d_y, d_z < 0$)
 - ▶ initialisiere bzw. aktualisiere t_{near} und t_{far}
(nahster und entferntester Schnitt bis zu diesem Zeitpunkt)
 - ▶ wenn $t_1 > t_{near}$, dann $t_{near} = t_1$
 - ▶ wenn $t_2 < t_{far}$, dann $t_{far} = t_2$
- ▶ wenn $t_{near} > t_{far} \rightarrow$ Box nicht getroffen
- ▶ wenn $t_{far} < 0 \rightarrow$ Box hinter dem Strahl
- ▶ wenn $t_{near} > 0 \rightarrow$ nahster Schnitt bei t_{near}
- ▶ sonst \rightarrow nahster Schnitt bei t_{far}

Einfache Optimierungen

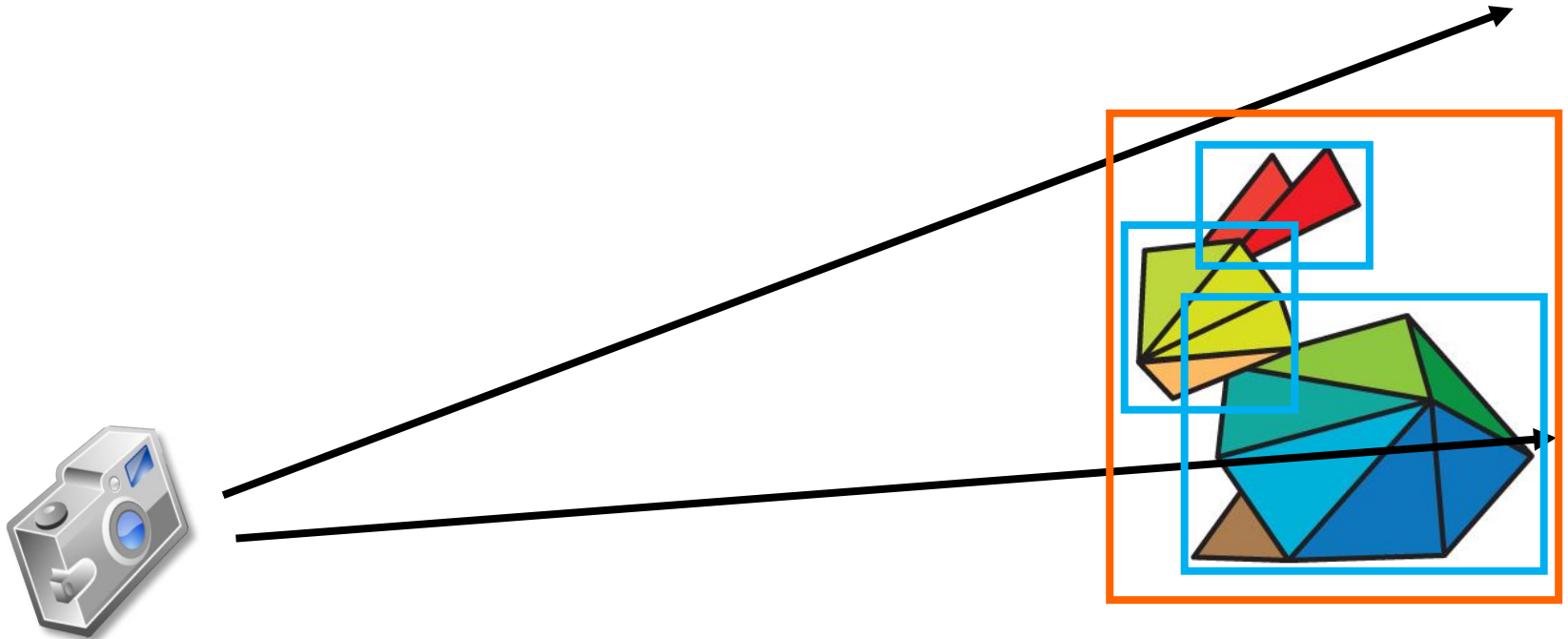
- ▶ $1/d_x$, $1/d_y$ und $1/d_z$ können einmal pro Strahl berechnet werden und für alle AABB-Tests verwendet werden
- ▶ Loop-Unrolling, Schleifen sind teuer
- ▶ vermeide t_{near} und t_{far} Vergleich für die erste Dimension
- ▶ **SIMD: teste mehrere Strahlen/AABBs parallel**
- ▶ Verallgemeinerung des Schnitttests auf OBBs und Slabs möglich
 - ▶ parallele Ebenenpaare
 - ▶ konvexe Form des Hüllkörpers
 - ▶ nur Berechnung von t_1 und t_2 ist etwas aufwändiger (wegen der beliebigen Orientierung der Ebenen)



Beschleunigung des Raycasting

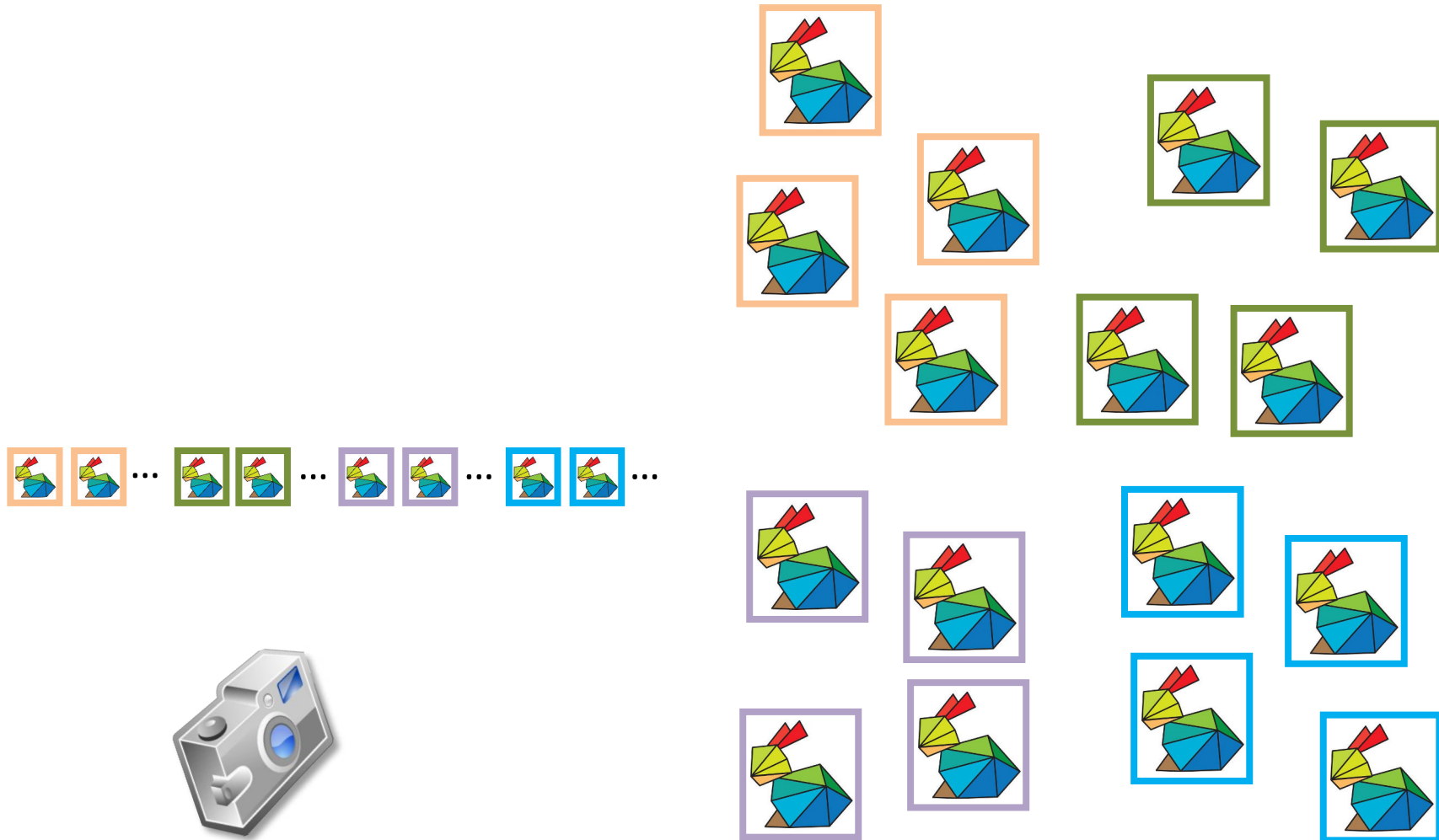
Reduziere die Anzahl der Strahl-Primitiv-Schnitttests

- ▶ schneller Ausschluss von Schnitttests mit Primitiven (Dreiecken)
- ▶ wie viel Geometrie und welche Teile davon soll ein einzelner Hüllkörper einschließen?
- ▶ wie geht man mit komplexen Szenen um?



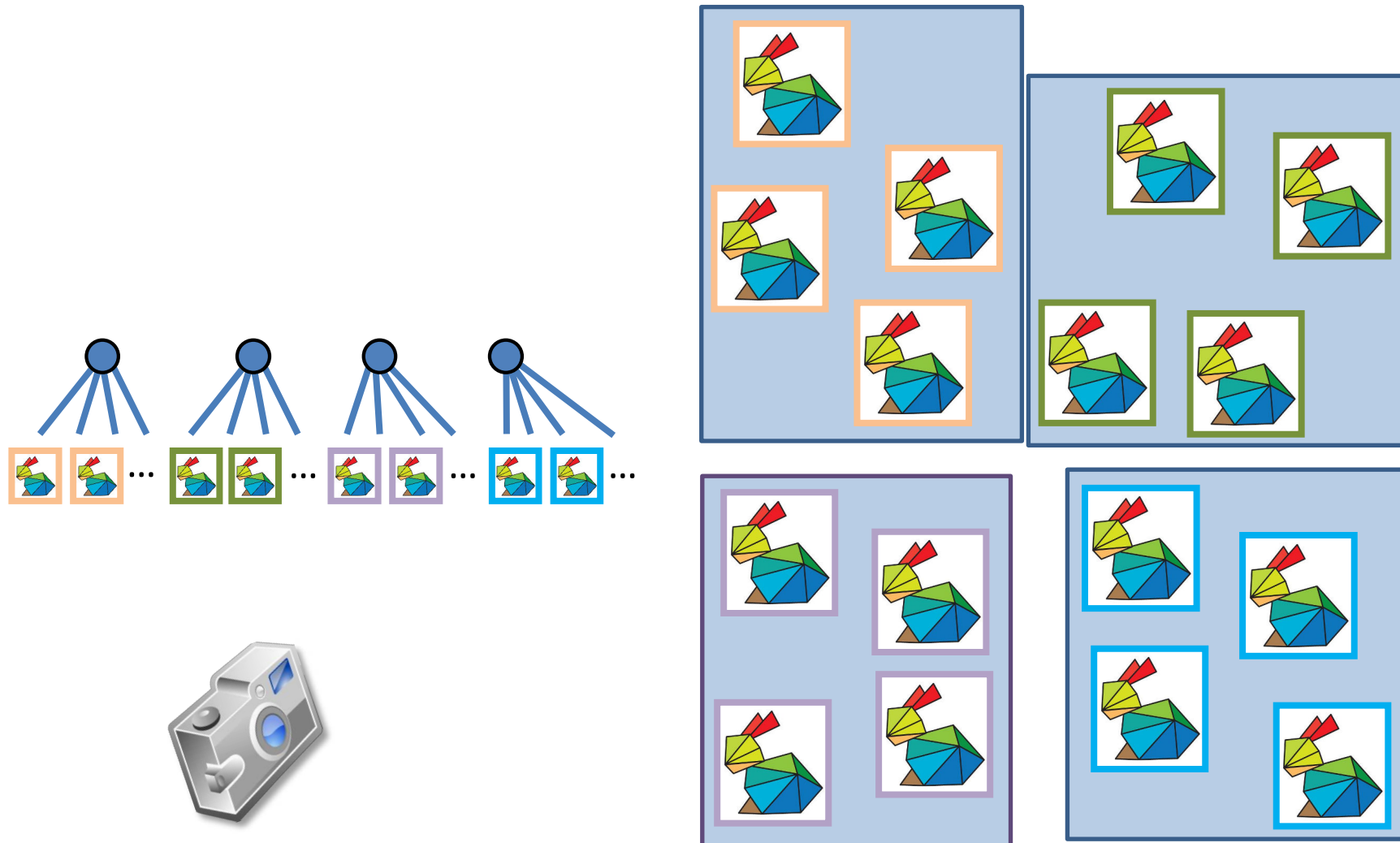
Beschleunigung des Raycasting

Grundidee: Hierarchie von einschließenden Hüllkörpern



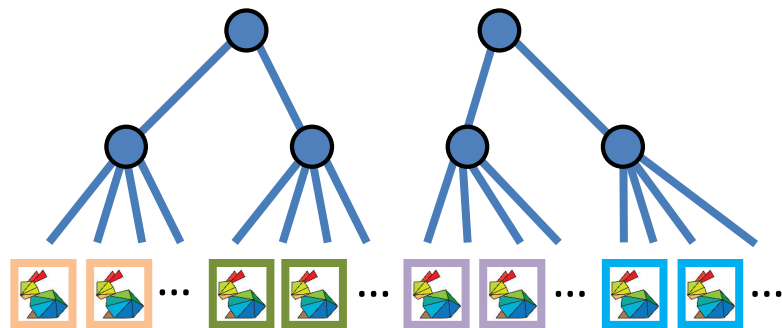
Beschleunigung des Raycasting

Grundidee: Hierarchie von einschließenden Hüllkörpern



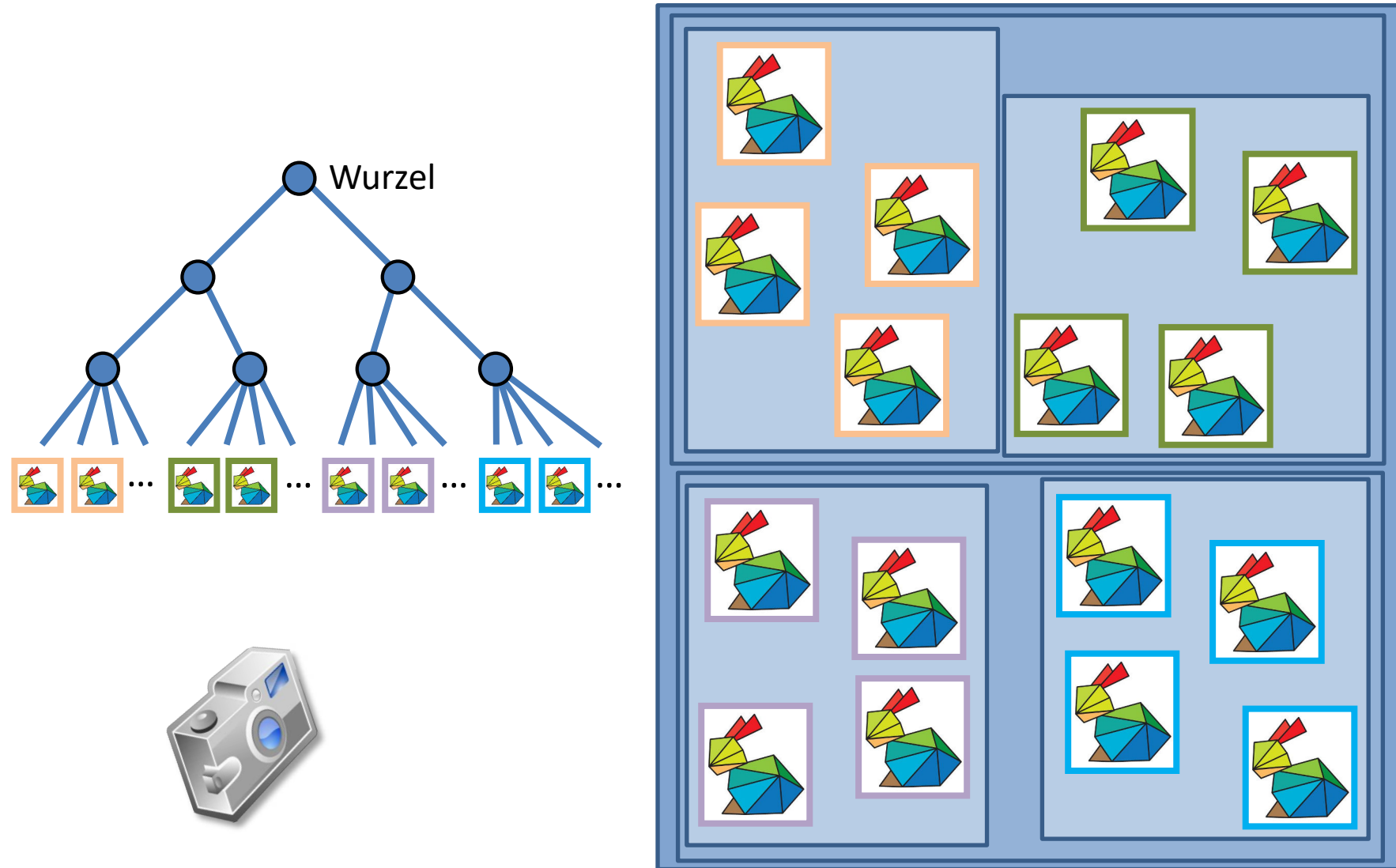
Beschleunigung des Raycasting

Grundidee: Hierarchie von einschließenden Hüllkörpern



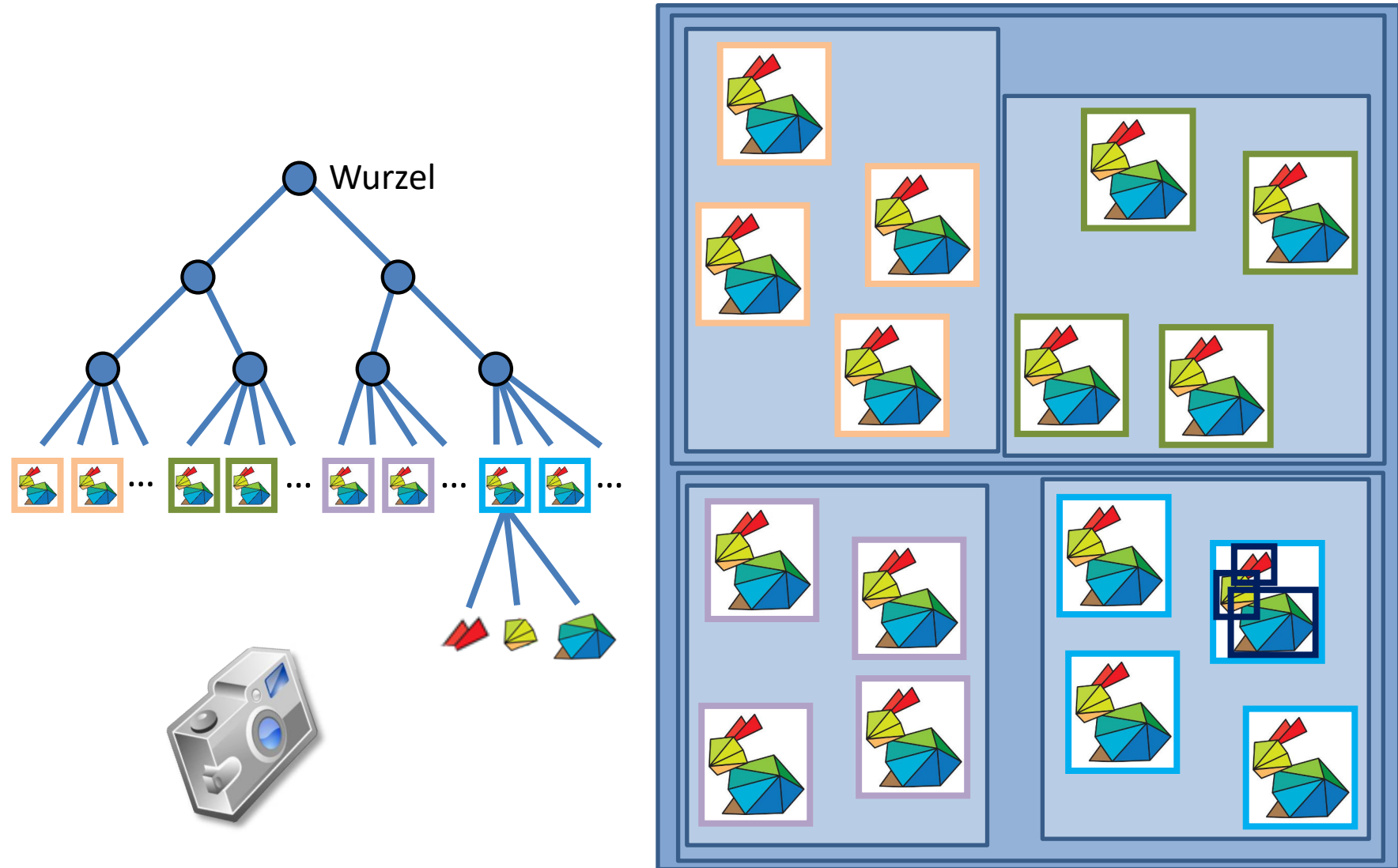
Beschleunigung des Raycasting

Grundidee: Hierarchie von einschließenden Hüllkörpern



Beschleunigung des Raycasting

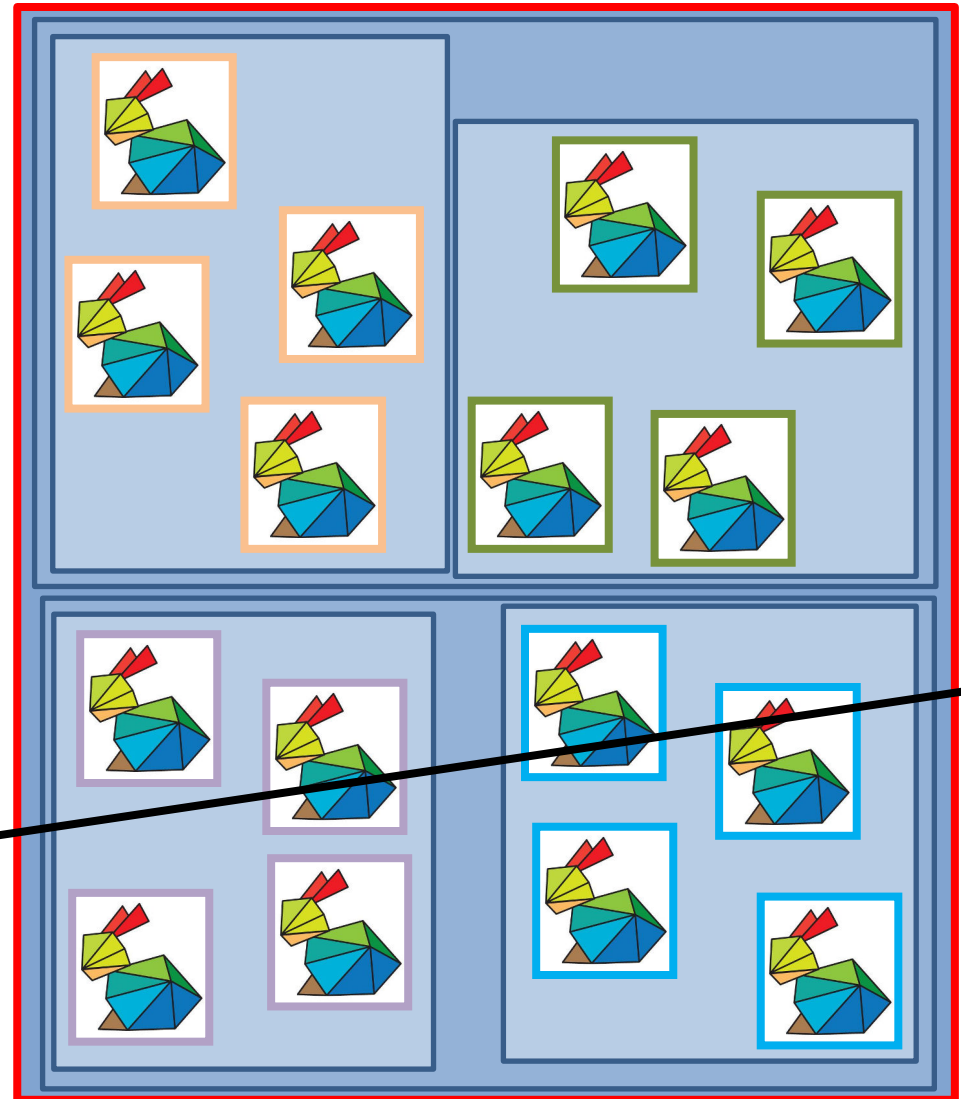
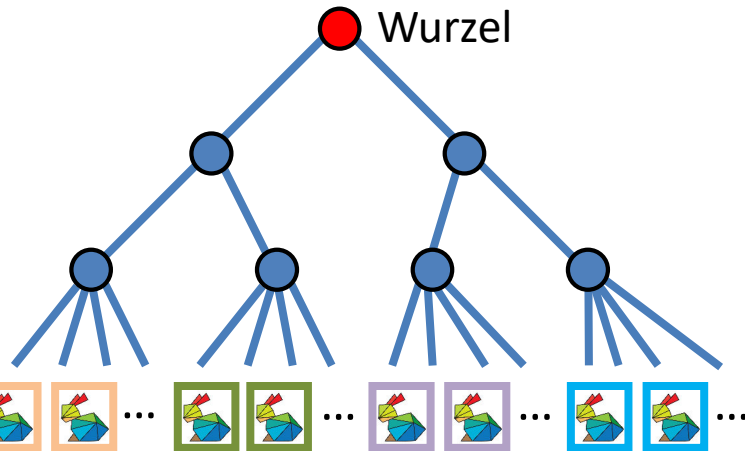
Grundidee: Hierarchie von einschließenden Hüllkörpern



Beschleunigung des Raycasting

Grundidee: Hierarchie von einschließenden Hüllkörpern

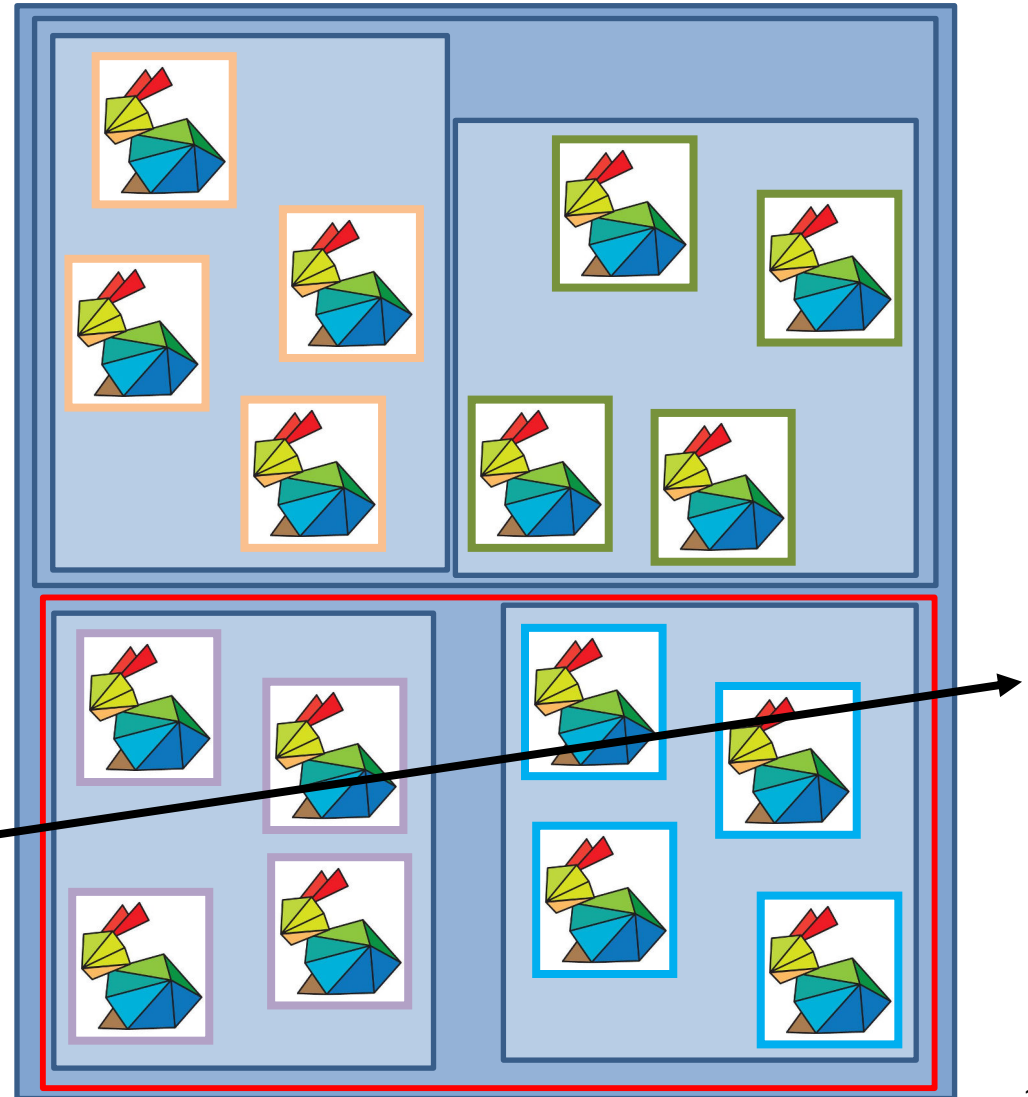
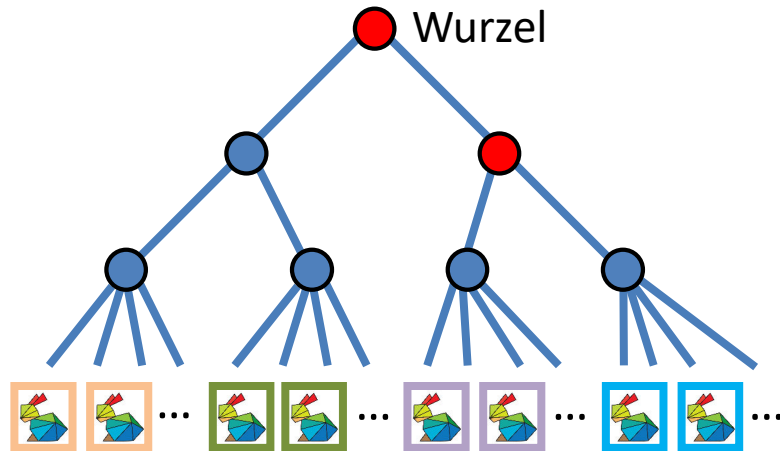
- ▶ schnelle Suche:
ganze Gruppen können
ausgeschlossen werden



Beschleunigung des Raycasting

Grundidee: Hierarchie von einschließenden Hüllkörpern

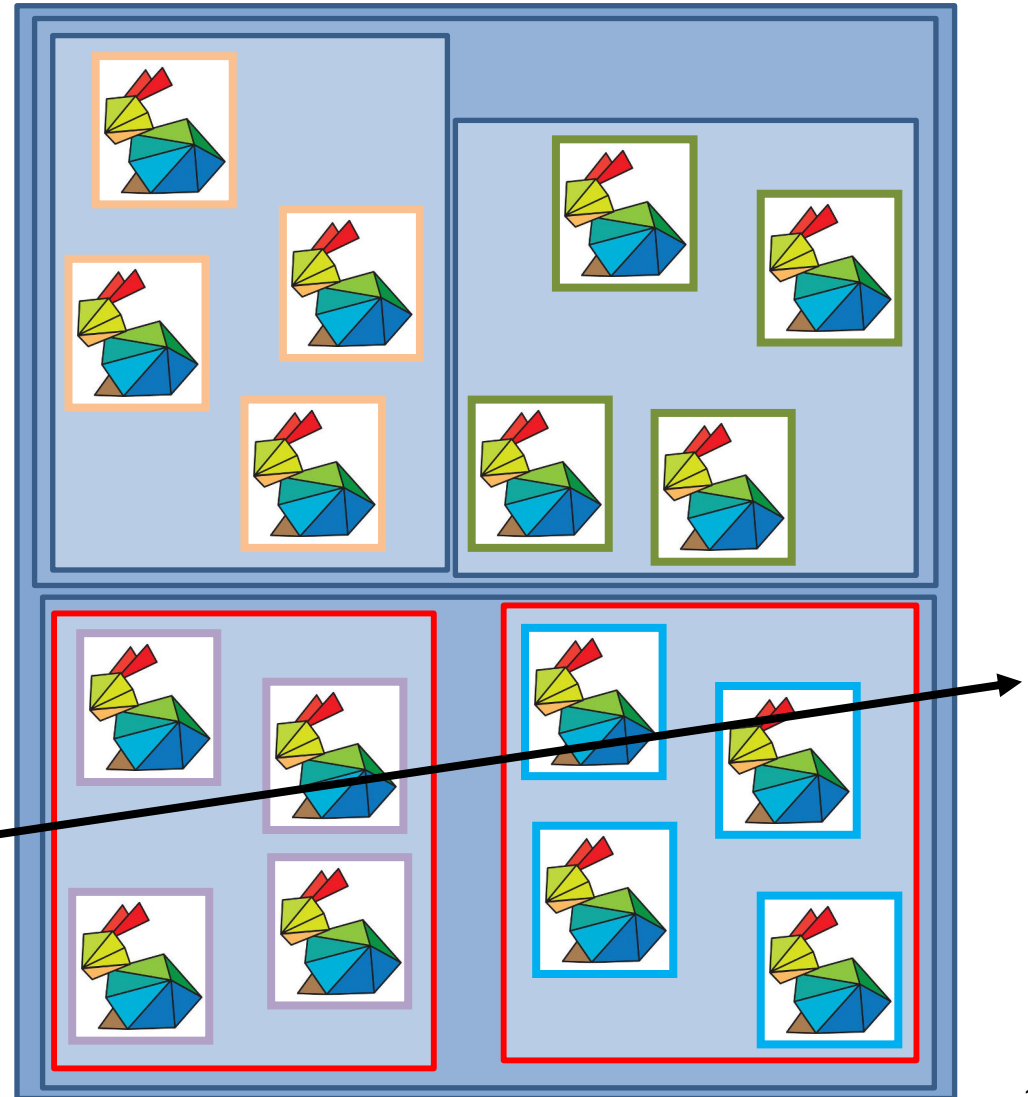
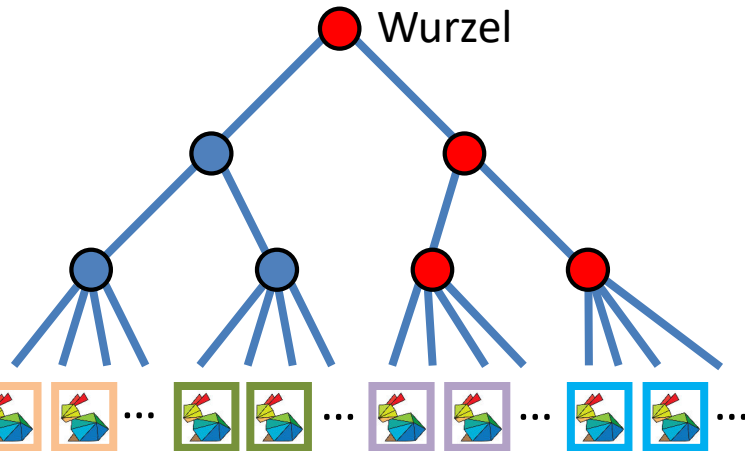
- ▶ schnelle Suche:
ganze Gruppen können
ausgeschlossen werden



Beschleunigung des Raycasting

Grundidee: Hierarchie von einschließenden Hüllkörpern

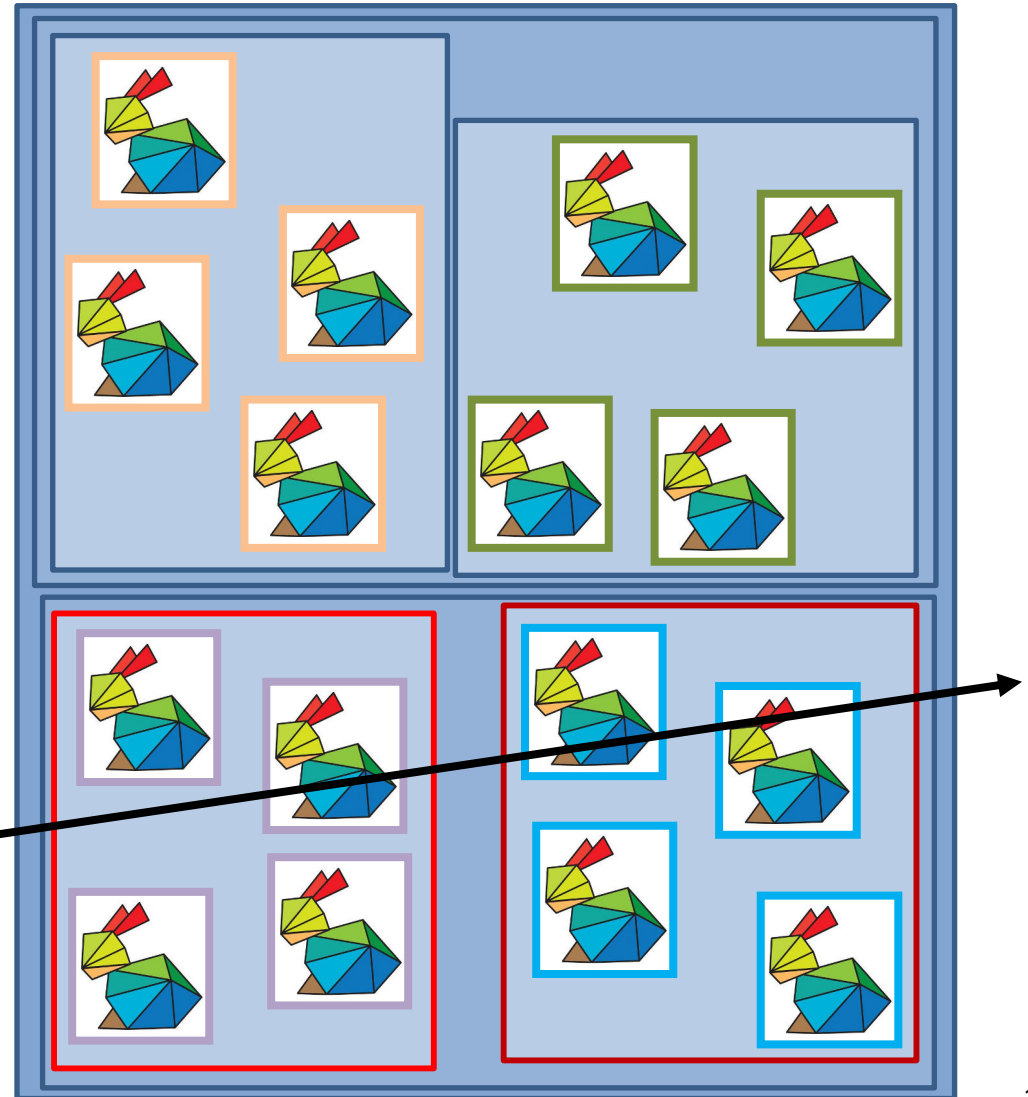
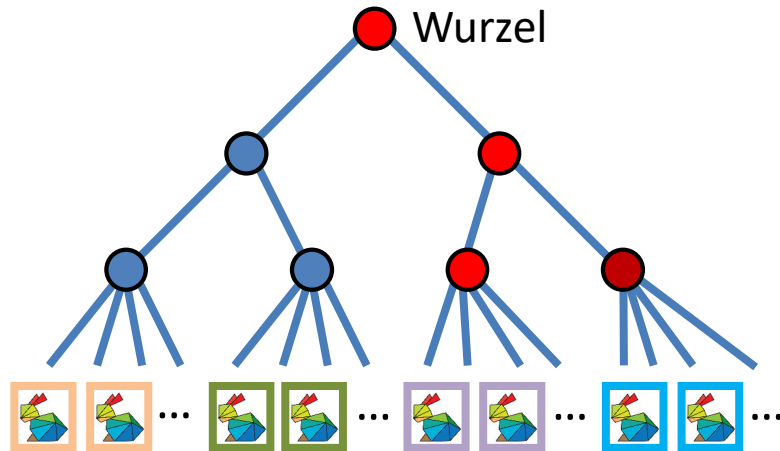
- ▶ schnelle Suche:
ganze Gruppen können
ausgeschlossen werden



Beschleunigung des Raycasting

Grundidee: Hierarchie von einschließenden Hüllkörpern

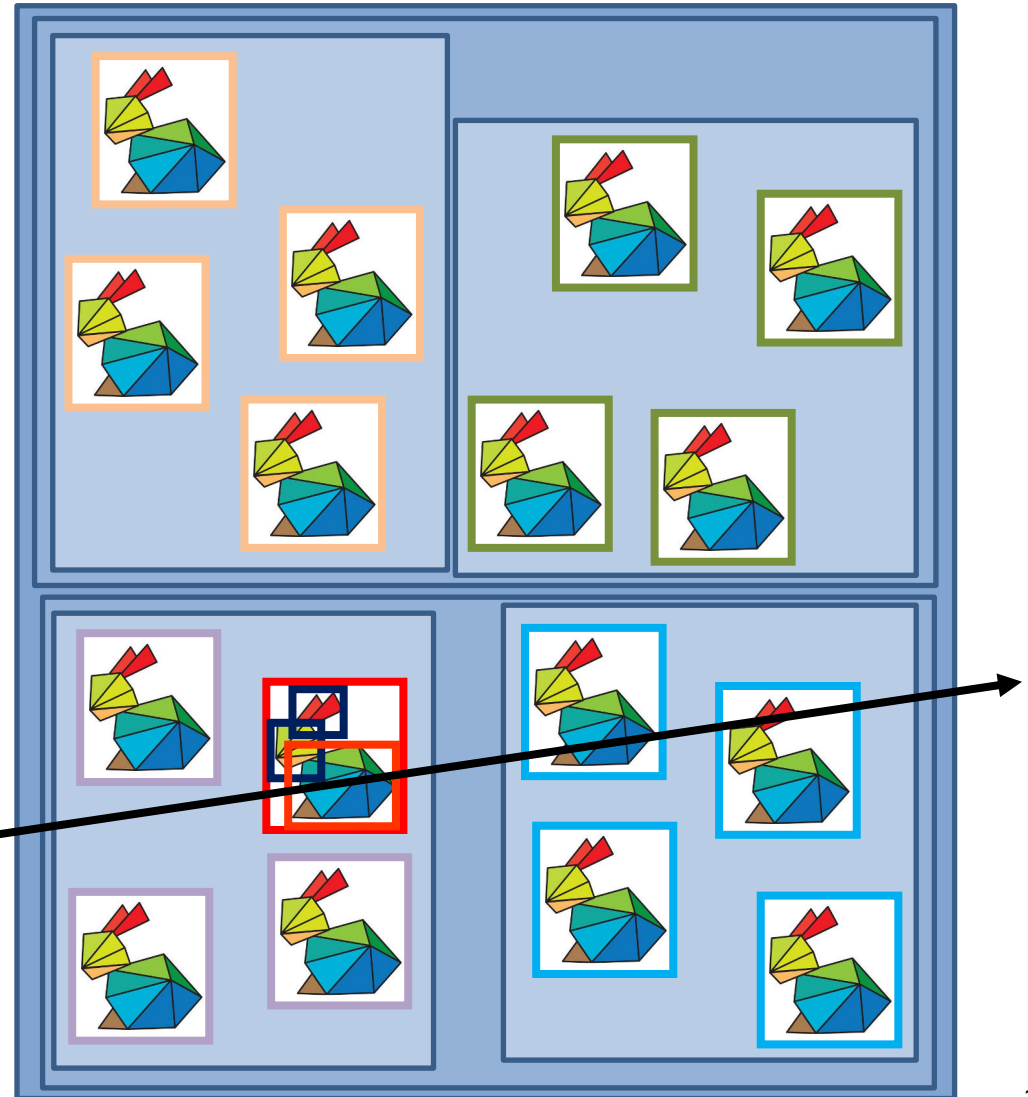
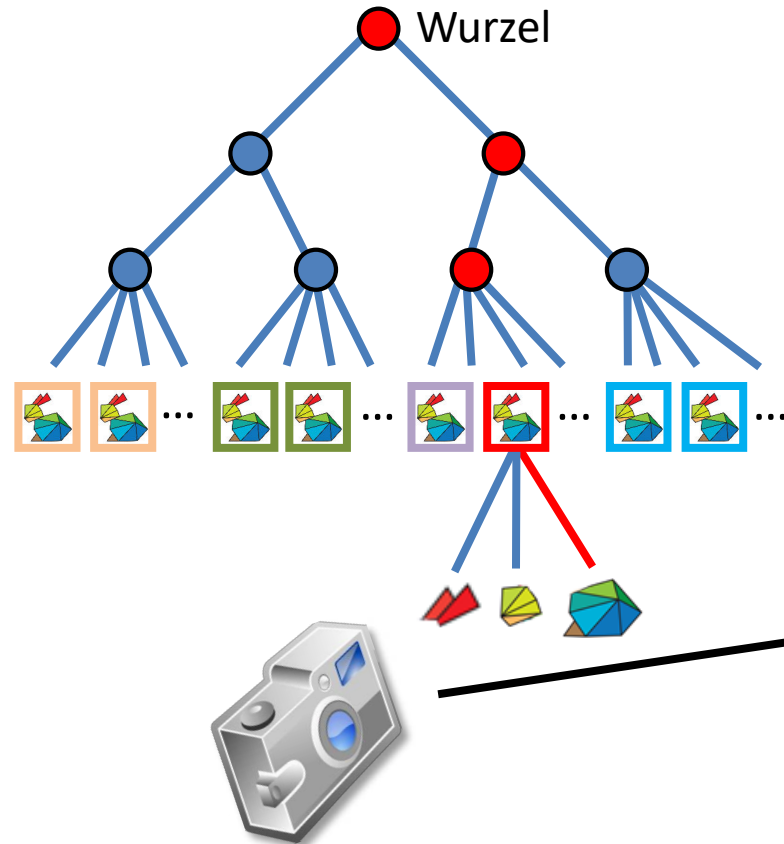
- ▶ schnelle Suche:
ganze Gruppen können
ausgeschlossen werden



Beschleunigung des Raycasting

Grundidee: Hierarchie von einschließenden Hüllkörpern

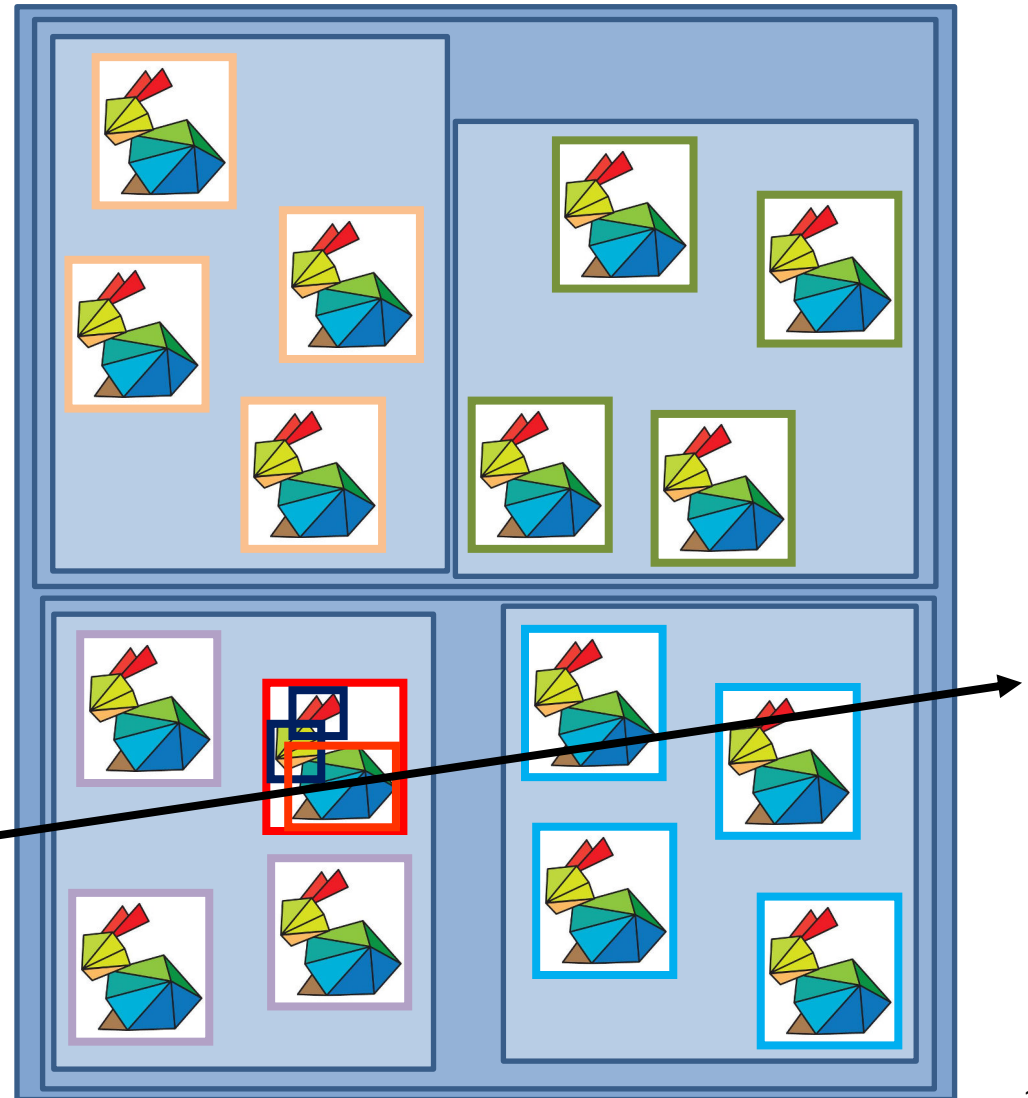
- ▶ schnelle Suche:
ganze Gruppen können
ausgeschlossen werden



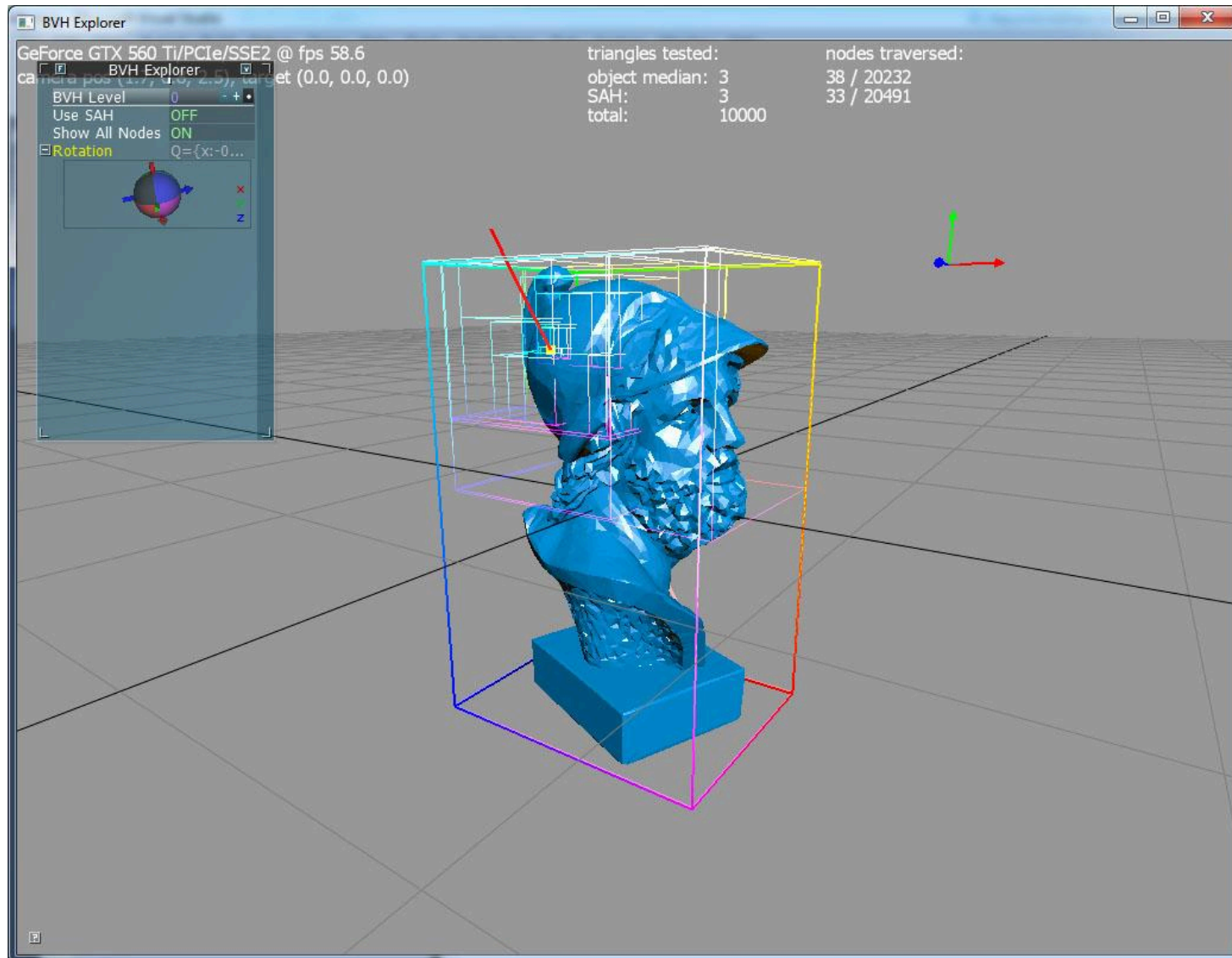
Beschleunigung des Raycasting

Grundidee: Hierarchie von einschließenden Hüllkörpern

- ▶ schnelle Suche:
ganze Gruppen können ausgeschlossen werden
- ▶ ... durch automatisches Zusammenfassen von (Gruppen von) Primitiven, oder rekursives Unterteilen der Primitive in Gruppen
- ▶ Tiefensuche im Baum, Kosten für Strahlschuss: $O(n) \rightarrow O(\log n)$



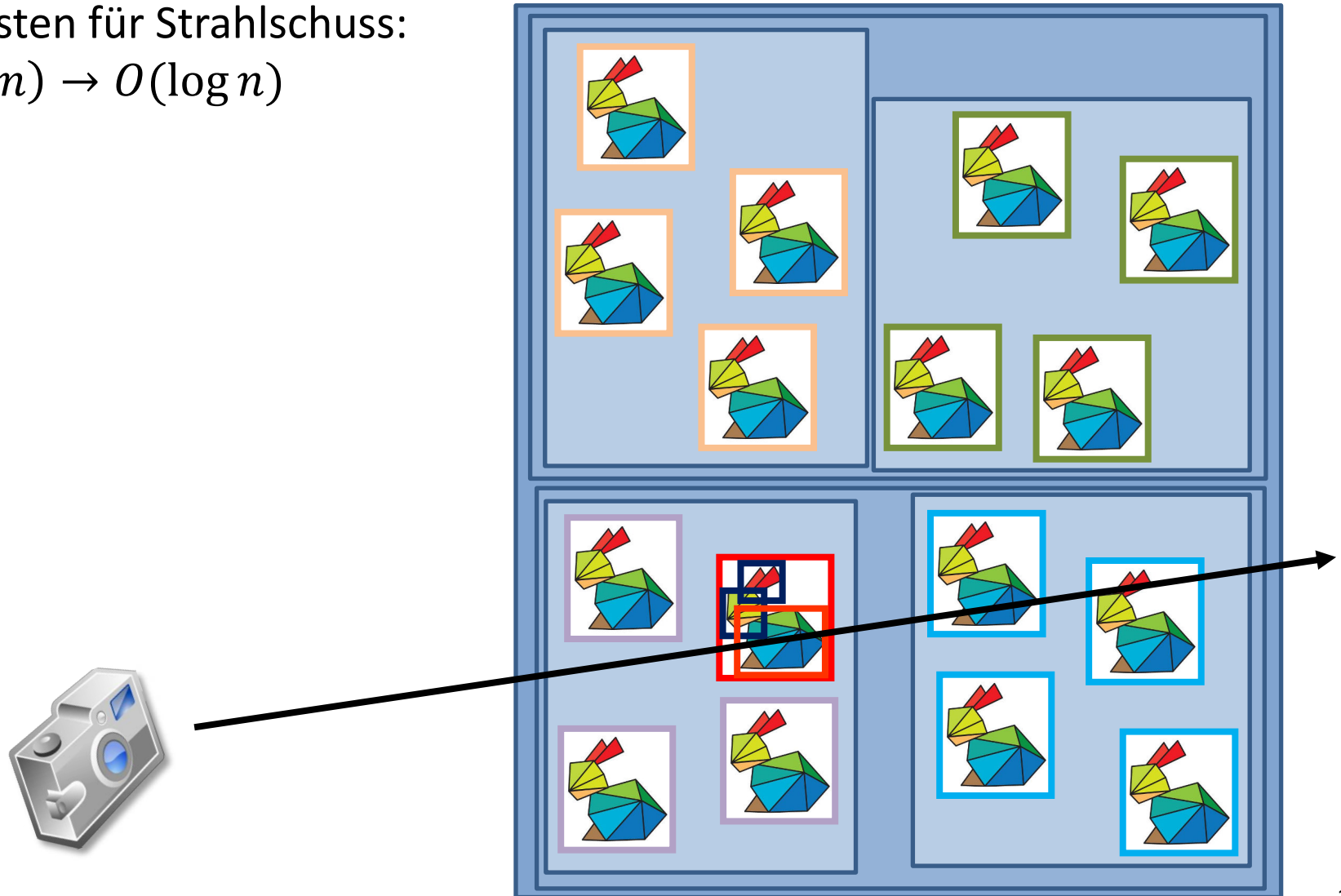
Hüllkörper-Hierarchie (engl. bounding volume hierachy, BVH)



Beschleunigung des Raycasting

Grundidee: Hierarchie von einschließenden Hüllkörpern

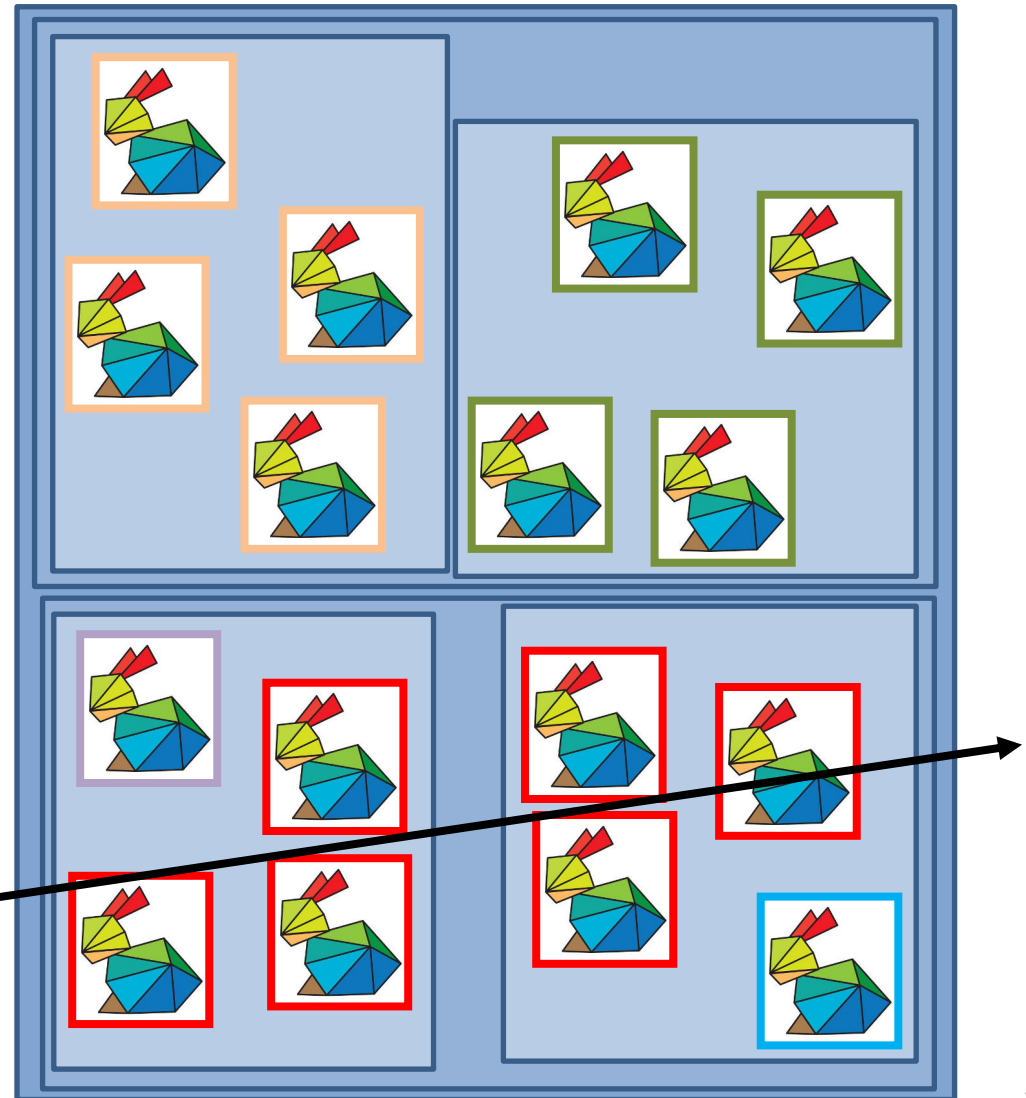
- ▶ Tiefensuche im Baum,
Kosten für Strahlschuss:
 $O(n) \rightarrow O(\log n)$



Beschleunigung des Raycasting


Grundidee: Hierarchie von einschließenden Hüllkörpern

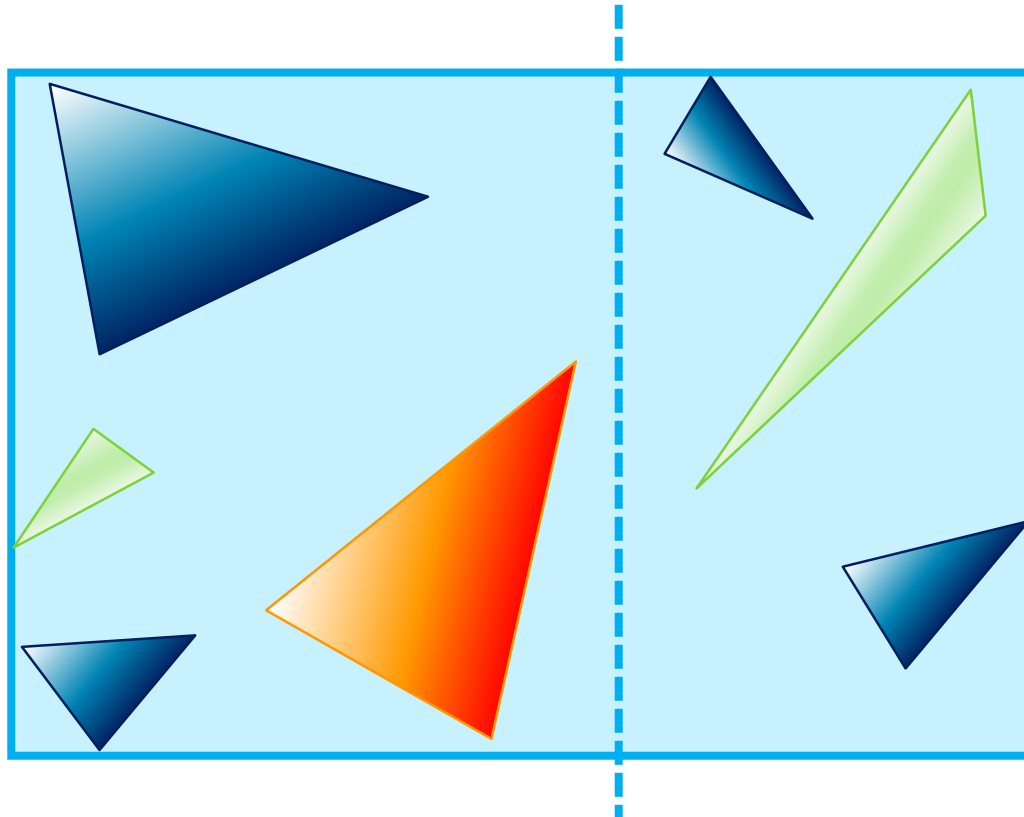
- ▶ Tiefensuche im Baum,
Kosten für Strahlschuss:
 $O(n) \rightarrow O(\log n)$
- ▶ **WIRKLICH?**
- ▶ wir besprechen zunächst
die Konstruktion und
Traversierung der
räumlichen Datenstrukturen
- ▶ anschließend: Heuristiken
für gute Konstruktion



Hüllkörper-Hierarchie

Aufbau der Datenstruktur (top-down)

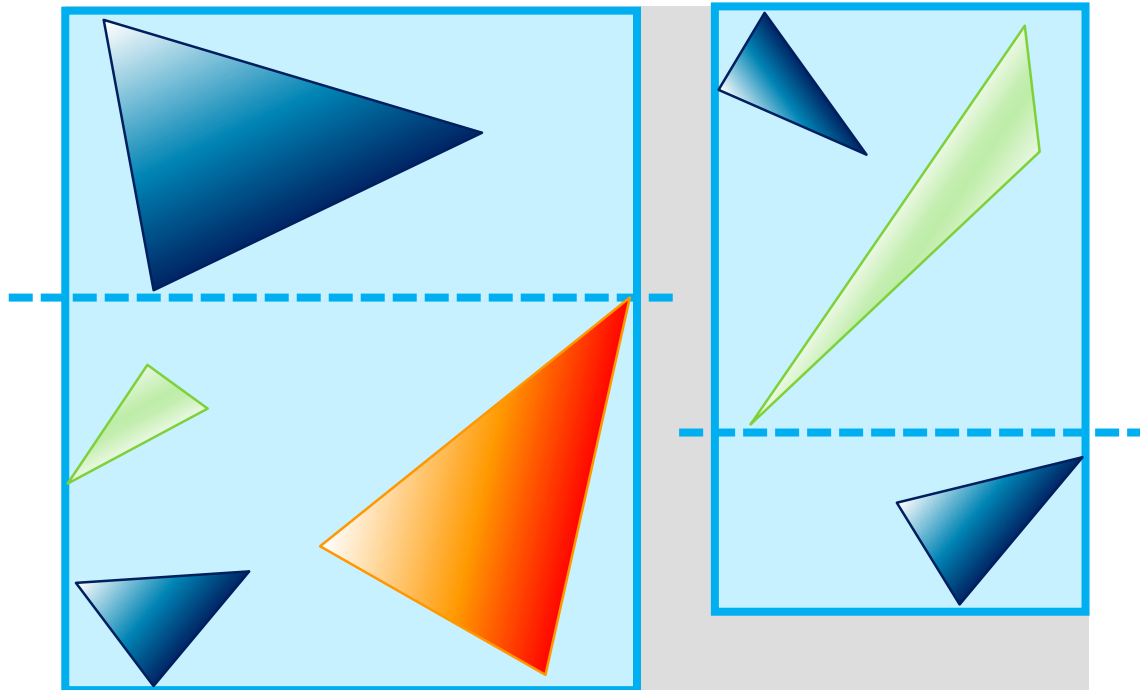
- ▶ bestimme den Hüllquader der Primitive jeder Gruppe (anfangs: alle Δ)
- ▶ teile die Primitive in **zwei Gruppen** auf
- ▶ die Linie  dient zur Illustration der Aufteilung



Hüllkörper-Hierarchie

Aufbau der Datenstruktur (top-down)

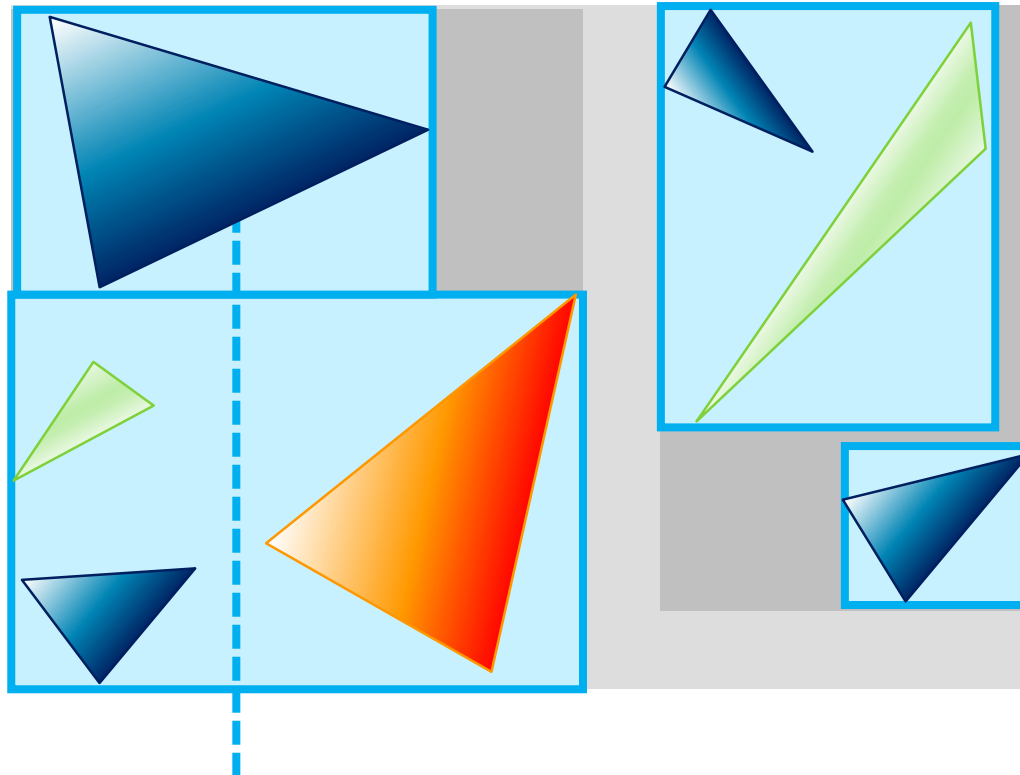
- ▶ bestimme den Hüllquader der Primitive jeder Gruppe
- ▶ teile die Primitive jeweils wieder in **zwei Gruppen** auf
- ▶ verfähre so rekursiv weiter



Hüllkörper-Hierarchie

Aufbau der Datenstruktur (top-down)

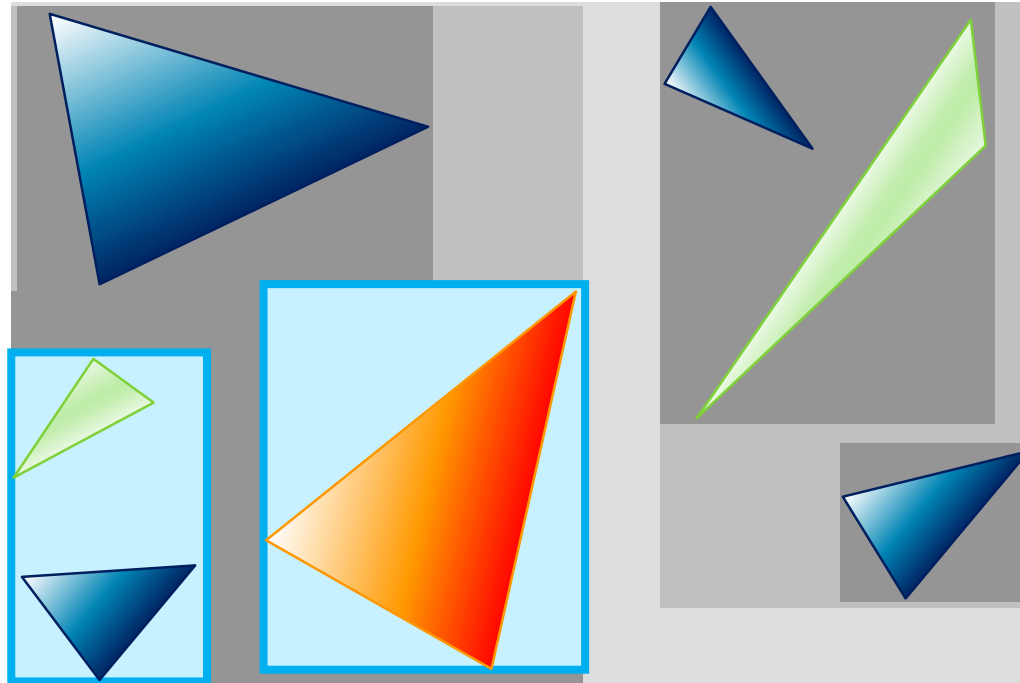
- ▶ bestimme den Hüllquader der Primitive jeder Gruppe
- ▶ teile die Primitive jeweils wieder in **zwei Gruppen** auf
- ▶ verfähre so rekursiv weiter



Hüllkörper-Hierarchie

Aufbau der Datenstruktur (top-down)

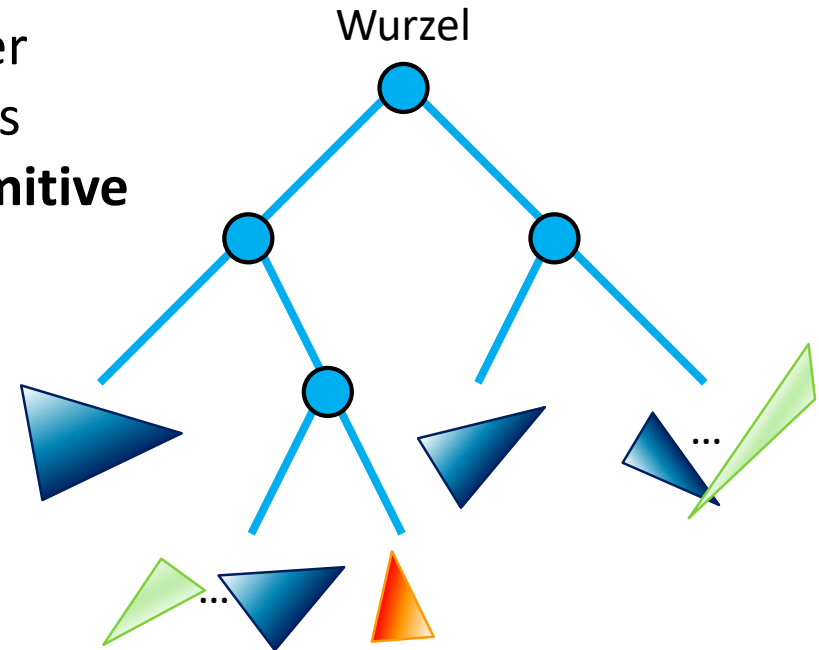
- ▶ bestimme den Hüllquader der Primitive jeder Gruppe
- ▶ teile die Primitive jeweils wieder in **zwei Gruppen** auf
- ▶ verfahren so rekursiv weiter



Hüllkörper-Hierarchie

Aufbau der Datenstruktur (top-down)

- ▶ bestimme den Hüllquader der Primitive jeder Gruppe
 - ▶ teile die Primitive jeweils wieder in **zwei Gruppen** auf
 - ▶ verfare so rekursiv weiter
-
- ▶ jeder Knoten speichert die Hüllkörper seiner Kindknoten und einen Verweis auf diese bzw. auf eine **Liste der Primitive**



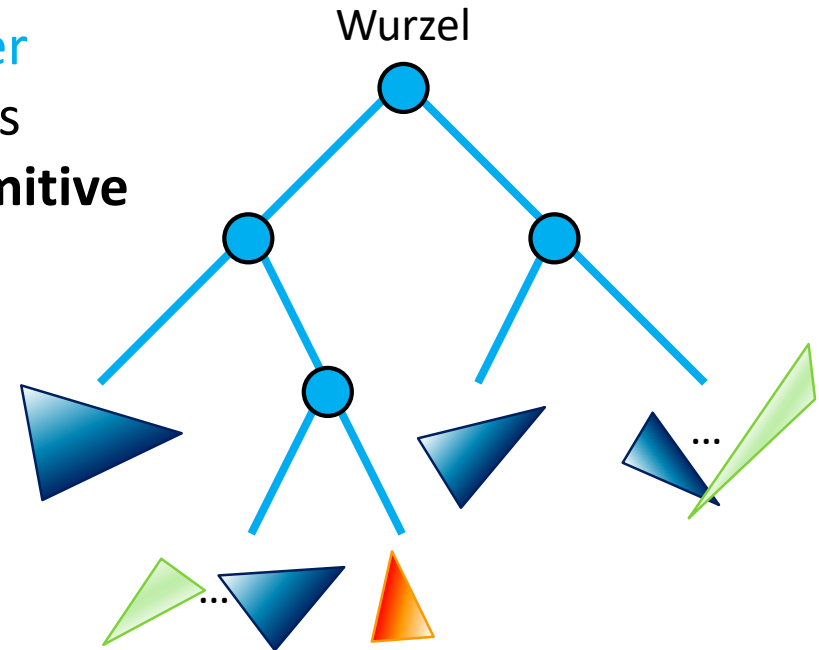
Hüllkörper-Hierarchie

Aufbau der Datenstruktur (top-down)

- ▶ bestimme den Hüllquader der Primitive jeder Gruppe
- ▶ teile die Primitive jeweils wieder in **zwei Gruppen** auf
- ▶ verfare so rekursiv weiter

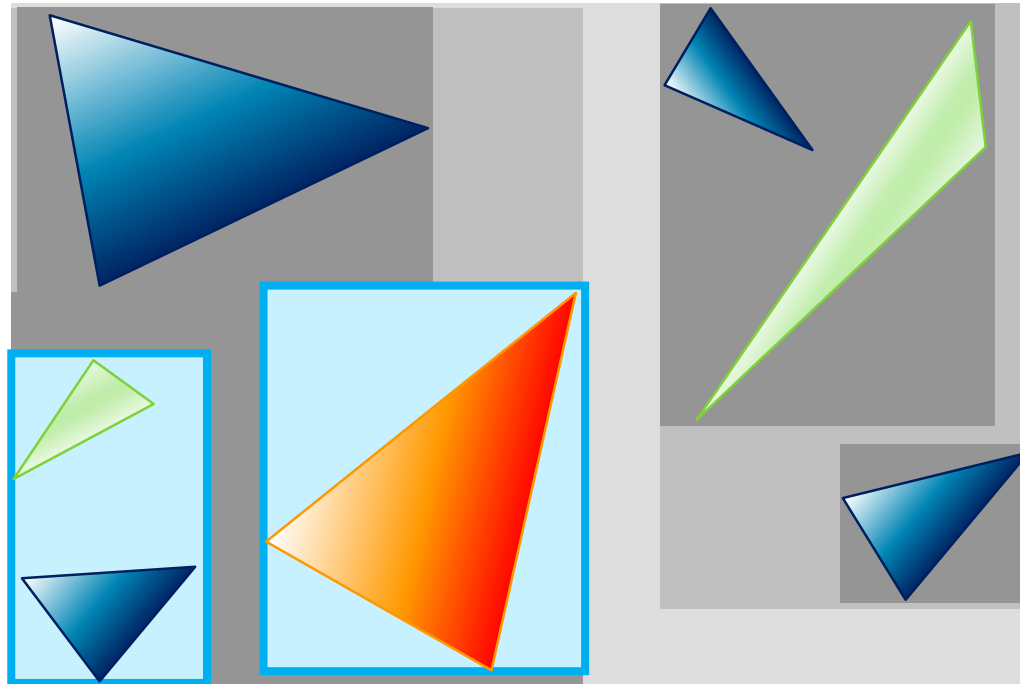
- ▶ jeder Knoten **speichert die Hüllkörper seiner Kindknoten** und einen Verweis auf diese bzw. auf eine **Liste der Primitive**

- ▶ Information wird zusammen benötigt und entsprechend gespeichert (Caching!)



Unterschiedliche Unterteilungskriterien (später mehr)

- ▶ unterteile in der Mitte senkrecht zur Achse der größten Ausdehnung
- ▶ unterteile einmal entlang der x -Achse, dann y -Achse, dann z -Achse, ...
- ▶ unterteile so, dass in jeder Teilmenge etwa die gleiche Anzahl Objekte ist
- ▶ verwende Szenengraph bzw. Modellhierarchie
- ▶ minimiere eine Kostenfunktion (z.B. Surface Area Heuristics)

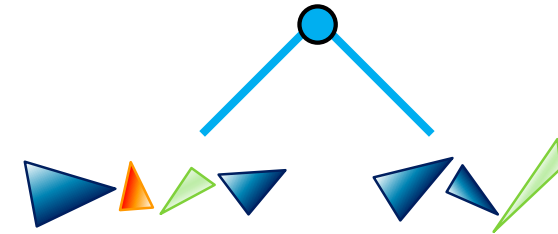
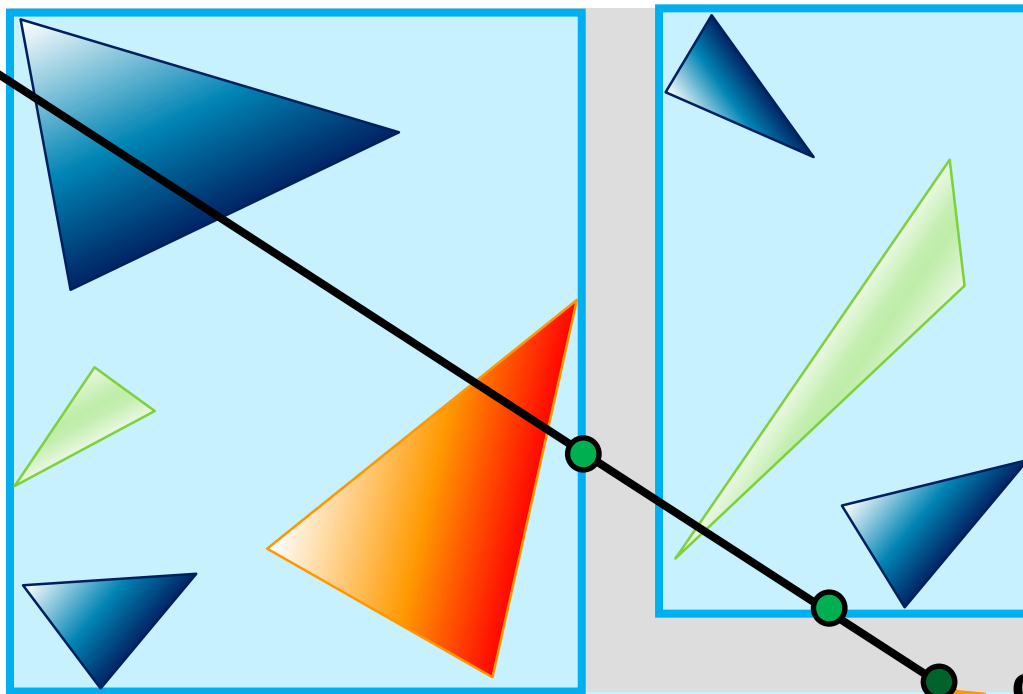


Schnittberechnung mit Hüllkörper-Hierarchien




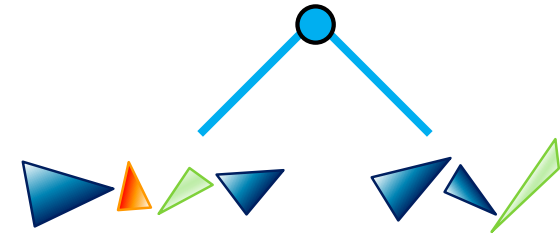
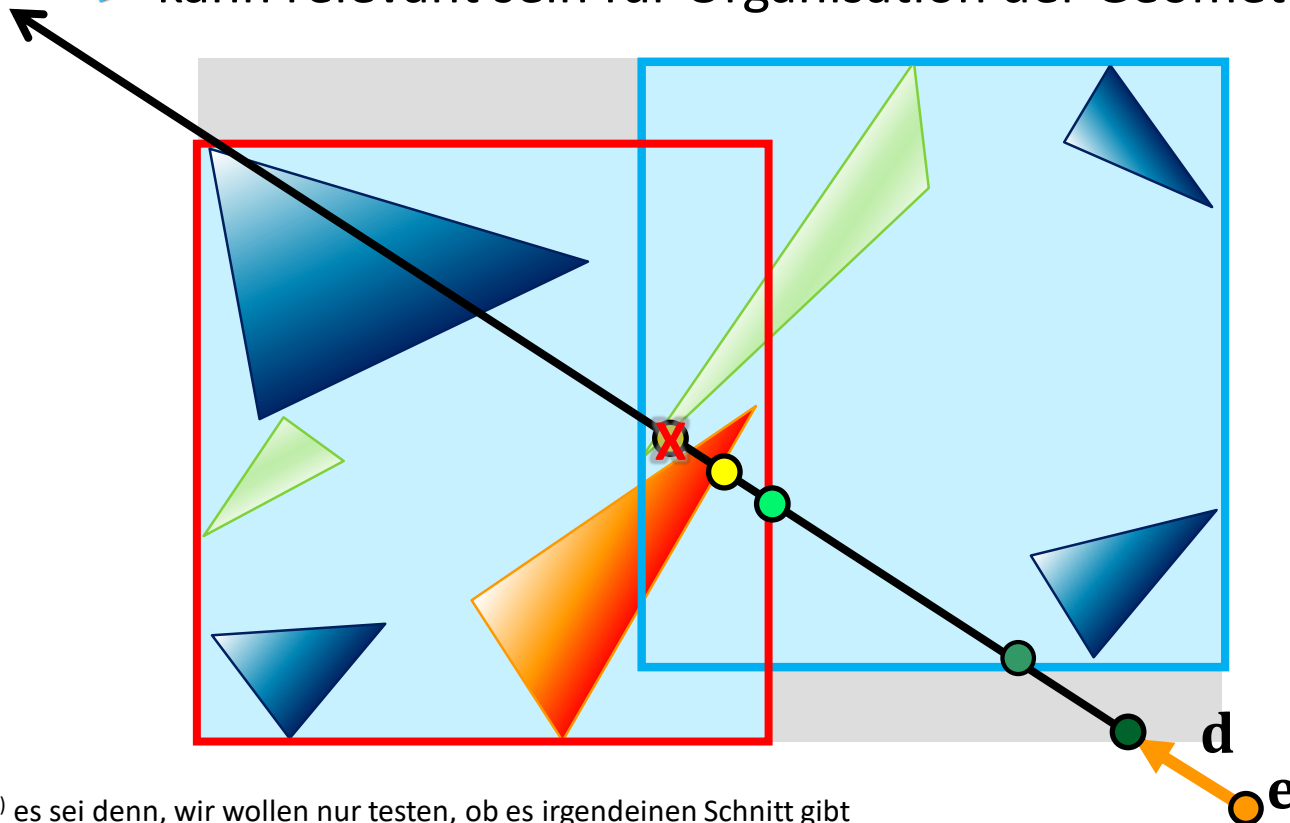
Traversierung, Schnittberechnung

- ▶ überprüfe auf Schnitt mit der Wurzel ●
- ▶ teste Hüllkörper der Kindknoten, traversiere näheren Kindknoten zuerst
 - ▶ innere Knoten: teste auf Schnitt mit Hüllkörpern weiterer Kindknoten
 - ▶ in Blattknoten: teste auf Schnitt mit Primitiven
- ▶ prüfe, ob im hinteren Kindknoten ein näherer Schnitt existieren kann



Traversierung, Schnittberechnung

- ▶ Vorsicht: liefere einen gefundenen Schnittpunkt nicht sofort zurück ⁽¹⁾, es könnte einen näheren in einem anderen Knoten geben
- ▶ **Grund: Hüllkörper können sich überlappen** 
- ▶ ebenfalls eine der Ursachen für Aufwand schlechter als $O(\log n)$
- ▶ kann relevant sein für Organisation der Geometrie bei GPU-Raytracing



⁽¹⁾ es sei denn, wir wollen nur testen, ob es irgendeinen Schnitt gibt

Vorteile

- ▶ Konstruktion und Traversierung ist prinzipiell einfach
- ▶ resultiert in einem Binärbaum mit fixer, geringer Verzweigung (in der Praxis populär: 1-zu-4 Verzweigung, also jeweils 4 Kindknoten)
- ▶ Komplexität
 - ▶ im Mittel $O(\log n)$ Schnitttests für n Objekte/Primitive in der Szene (vgl. ohne BVH werden $O(n)$ Schnitttests benötigt)
 - ▶ Aufbau $O(n \log n)$ wenn in der Mitte der AABBs unterteilt wird
 - ▶ Aufbau $O(n \log^2 n)$, wenn die Objekte in einer AABB in zwei (etwa) gleich große Gruppen geteilt werden und eine $O(n \log n)$ Sortierung verwendet wird

Herausforderungen

- ▶ Finden einer guten Unterteilung ist aufwändig und es ist nicht unbedingt klar ist, was eigentlich gut ist: wir wissen nicht vorab, welche Strahlen beim Raytracing verschossen werden
- ▶ ungeschickte Unterteilung kann zu schlechter Performanz führen

Wie schnell kann ein Raytracer denn sein? Performance-Zahlen...

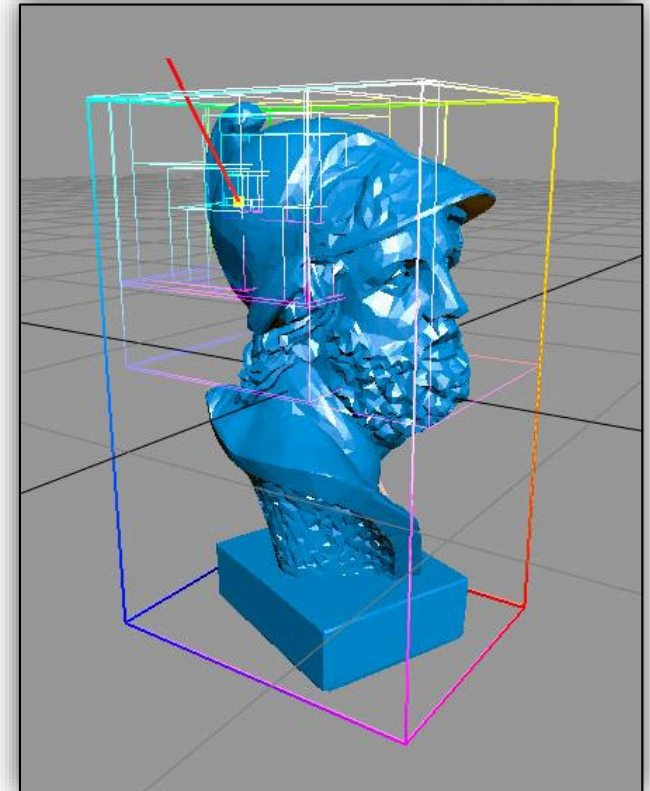
- ▶ Datenstrukturen **optimiert für besonders schnellen Strahlschuss**
 - ▶ moderne GPUs: Milliarden kohärente (= ähnliche) Strahlen pro Sekunde, Faktor 5 bis 10 weniger inkohärente Strahlen
 - ▶ Aufbau: einige Hundert Millisekunden für ca. 10 Mio. Dreiecke
- ▶ Datenstrukturen **optimiert für besonders schnellen Aufbau**
 - ▶ Aufbau: ~600 Mio. Dreiecke pro Sekunde, deutlich mehr bei „refitting“
 - ▶ Raytracing-Performanz ca. 50%-80% von optimalen Datenstrukturen
- ▶ CPU-GPU schwer zu vergleichen, je nach Anwendung etwa gleich
- ▶ Disclaimer: rule of thumb! Abhängigkeit von der Beschaffenheit der 3D-Szene und des Bildsyntheverfahrens macht genaue Aussagen unmöglich
- ▶ etwas mehr Details in aktuellen Forschungsarbeiten, z.B.

H-PLOC Hierarchical Parallel Locally-Ordered Clustering for Bounding Volume Hierarchy Construction, Benthin et al., ACM on Computer Graphics and Interactive Techniques 2024

HIPRT: A Ray Tracing Framework in HIP, Meister et al., ACM on Computer Graphics and Interactive Techniques 2024

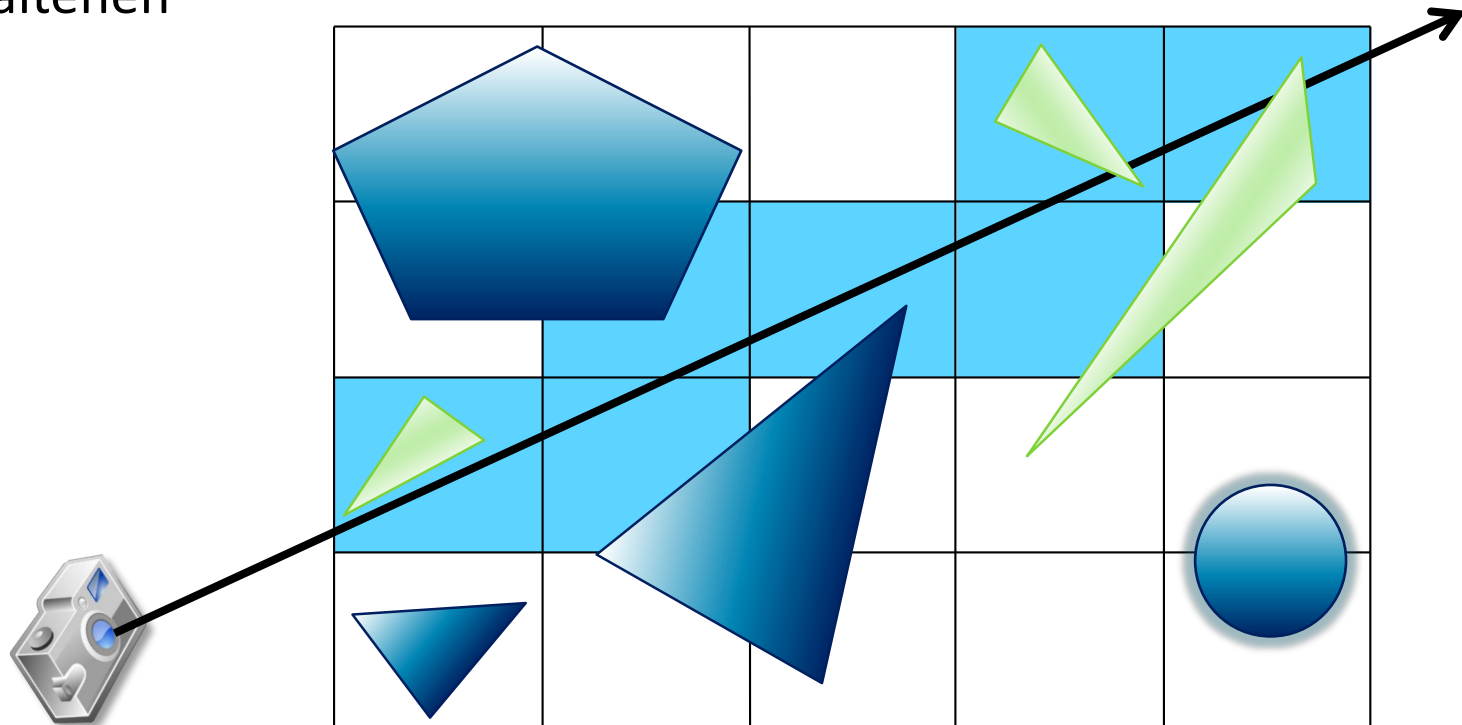
Inhalt: Räumliche Datenstrukturen

- ▶ Analyse der Kosten bei Raytracing
- ▶ Ansätze zur Beschleunigung von Raytracing
- ▶ Bounding Volumes (Hüllkörper)
- ▶ Räumliche Datenstrukturen
 - ▶ **Bounding Volume Hierarchies**
 - ▶ **reguläre und adaptive Gitter**
(nur Überblick in der Vorlesung,
mehr in der Übung)
 - ▶ BSP-Bäume und **kD-Bäume**

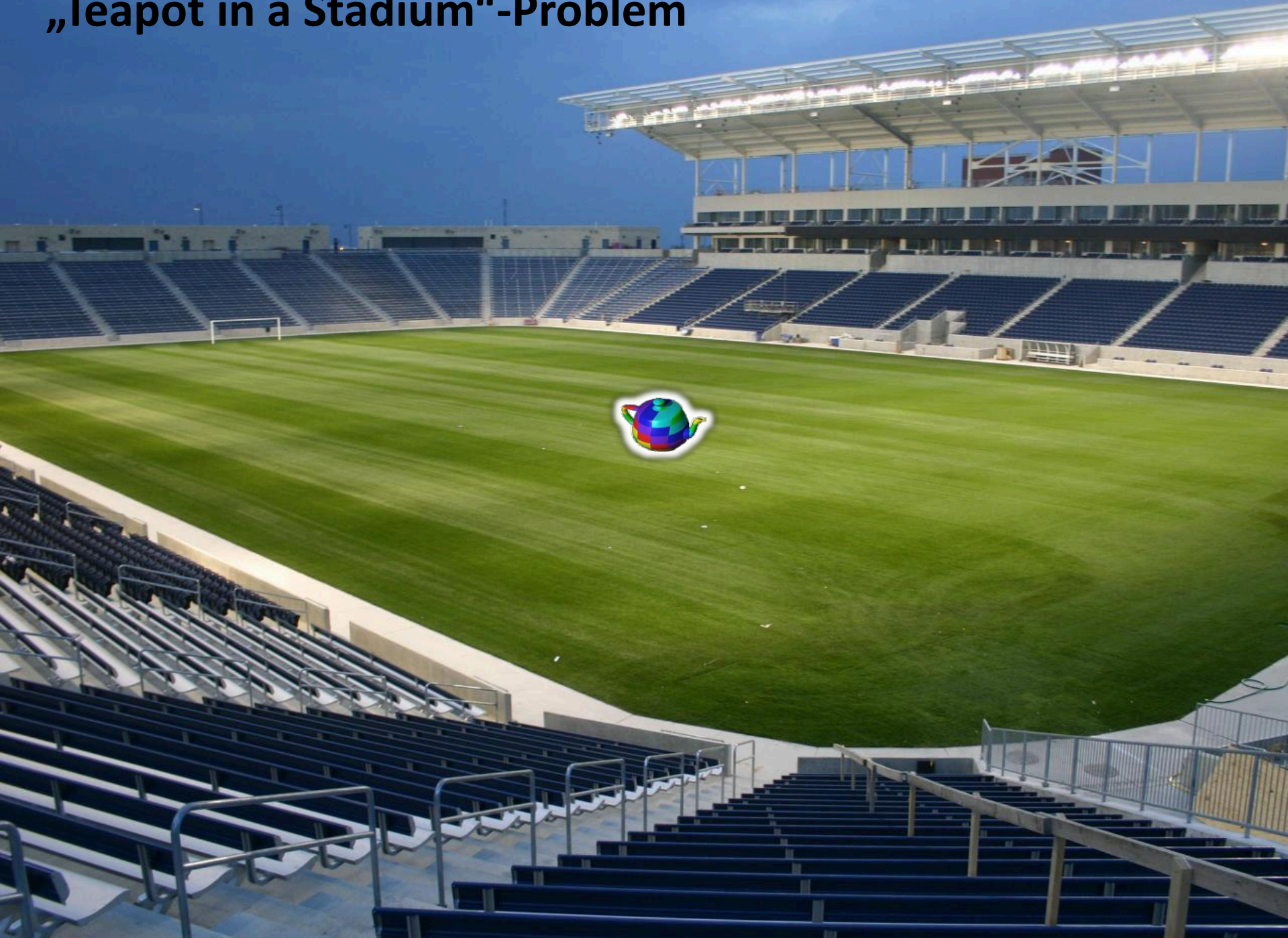


Grundidee, Prinzip

- ▶ **Unterteilung des Raums** in Zellen gleicher Größe und Form (daher die Bezeichnung „regulär“), ausgehend von der Bounding Box der Szene
- ▶ Eintrag der Objekte in Zellen, die von ihnen geschnitten werden
- ▶ Traversierung der vom Strahl getroffenen Zellen und Schnittberechnung mit den enthaltenen Objekten



„Teapot in a Stadium“-Problem

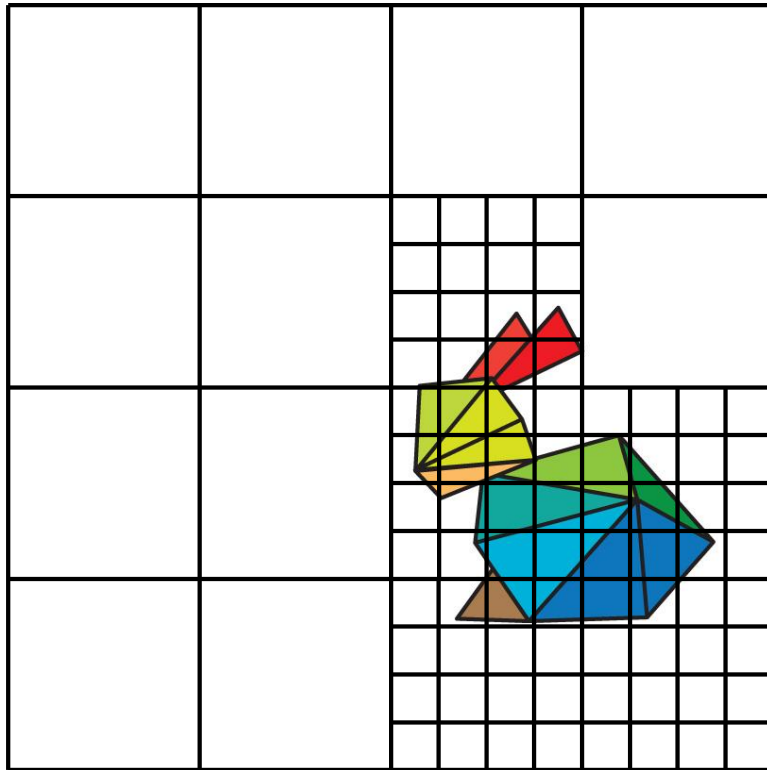


Raumunterteilung durch adaptive Gitter

Grundidee: kombiniere Regelmäßigkeit mit Adaptivität

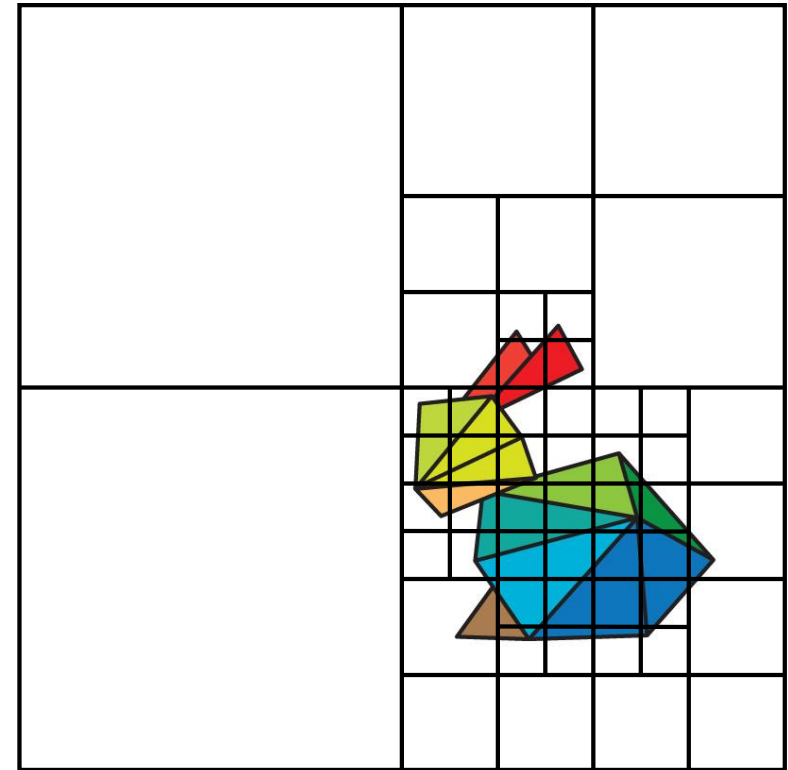
- ▶ rekursive regelmäßige Unterteilung von Zellen (übliche Abbruchkrit.)
- ▶ ... und alle möglichen Variationen, z.B.

GPU Ray Tracing using Irregular Grids, Pérard-Gayot et al., 2017 (onlinelibrary.wiley.com/doi/10.1111/cgf.13142)



Verschachtelte Gitter (Nested Grids)

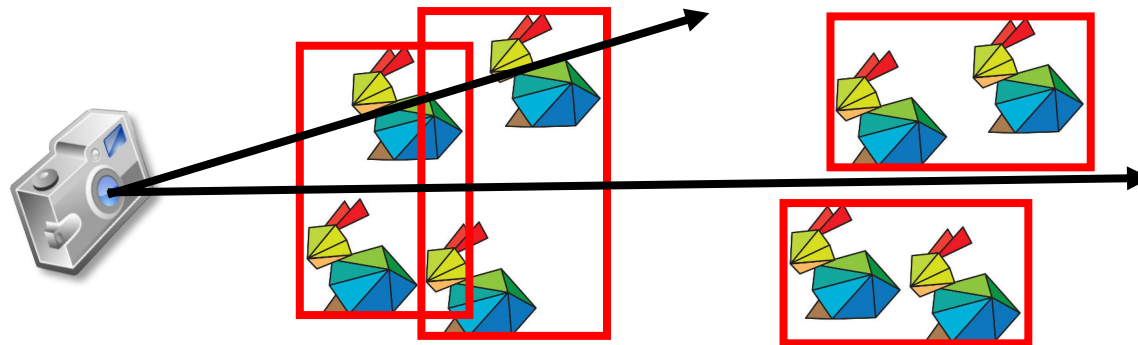
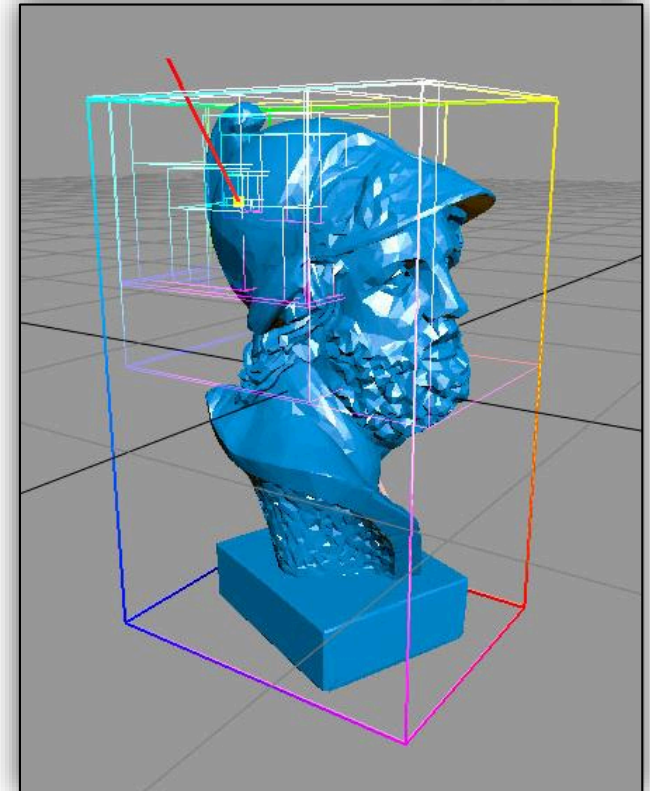
Bounding Box zur Illustration größer als notwendig!



Oktalbaum (Octree), bzw. hier in 2D ein Quadtree (jeder Knoten hat 4 Kinder)

Inhalt: Räumliche Datenstrukturen

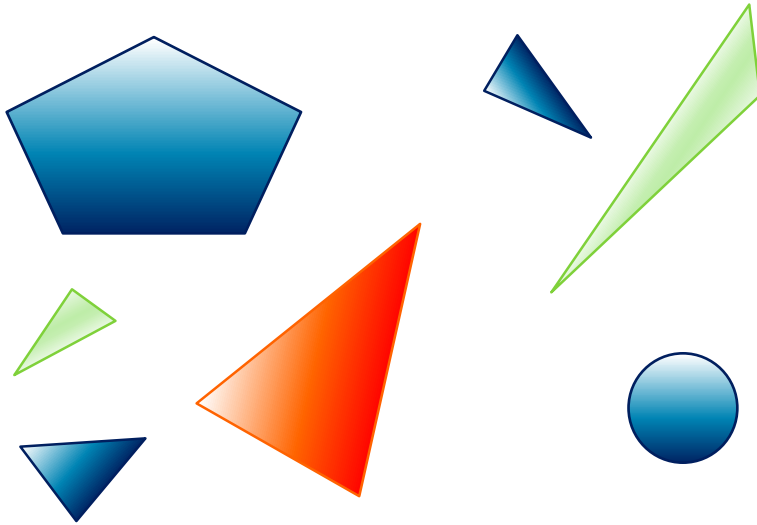
- ▶ Analyse der Kosten bei Raytracing
- ▶ Ansätze zur Beschleunigung von Raytracing
- ▶ Bounding Volumes (Hüllkörper)
- ▶ Räumliche Datenstrukturen
 - ▶ Bounding Volume-Hierarchies
 - ▶ reguläre und adaptive Gitter
 - ▶ BSP-Bäume und **kD-Bäume**
- ▶ geschickter Aufbau von BVHs und kD-Bäumen



BSP-Baum und kD-Baum

Grundidee (Binary Space Partitioning Tree)

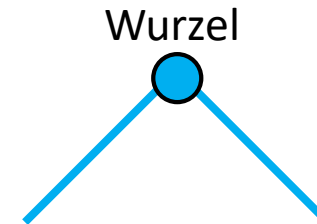
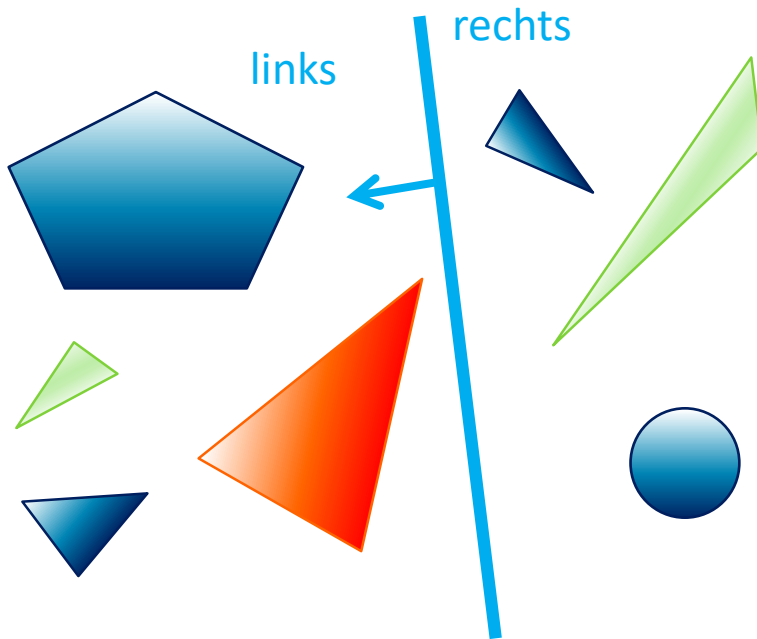
- ▶ Erweiterung von Binärbäumen auf k Dimensionen
- ▶ verwende Ebenen um **den Raum rekursiv zu unterteilen**
→ ergibt Binärbaumstruktur



BSP-Baum und kD-Baum

Grundidee (Binary Space Partitioning Tree)

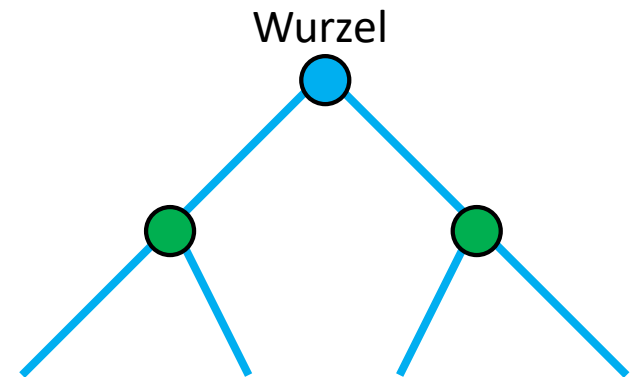
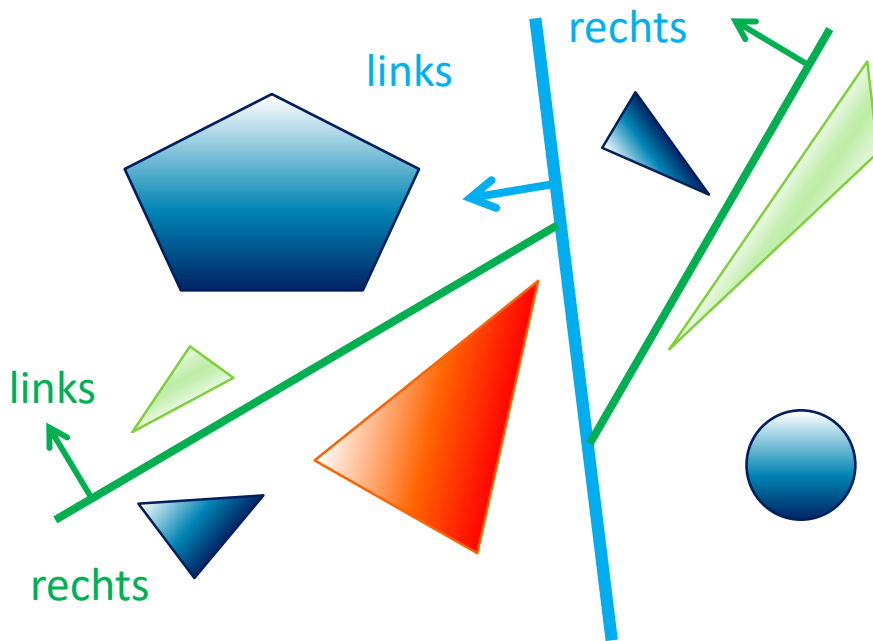
- ▶ Erweiterung von Binärbäumen auf k Dimensionen
- ▶ verwende Ebenen um **den Raum rekursiv zu unterteilen**
→ ergibt Binärbaumstruktur



BSP-Baum und kD-Baum

Grundidee (Binary Space Partitioning Tree)

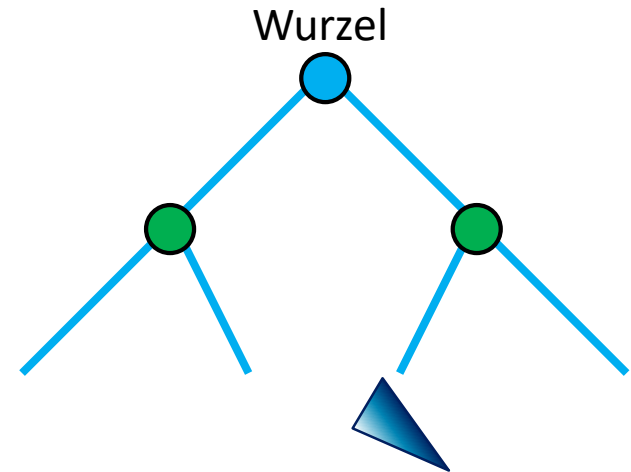
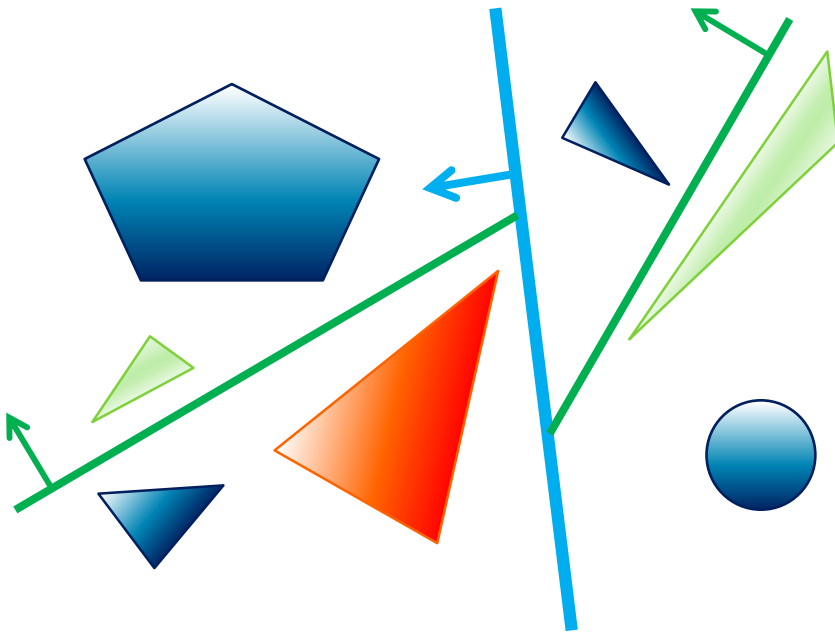
- ▶ Erweiterung von Binärbäumen auf k Dimensionen
- ▶ verwende Ebenen um **den Raum rekursiv zu unterteilen**
→ ergibt Binärbaumstruktur



BSP-Baum und kD-Baum

Grundidee (Binary Space Partitioning Tree)

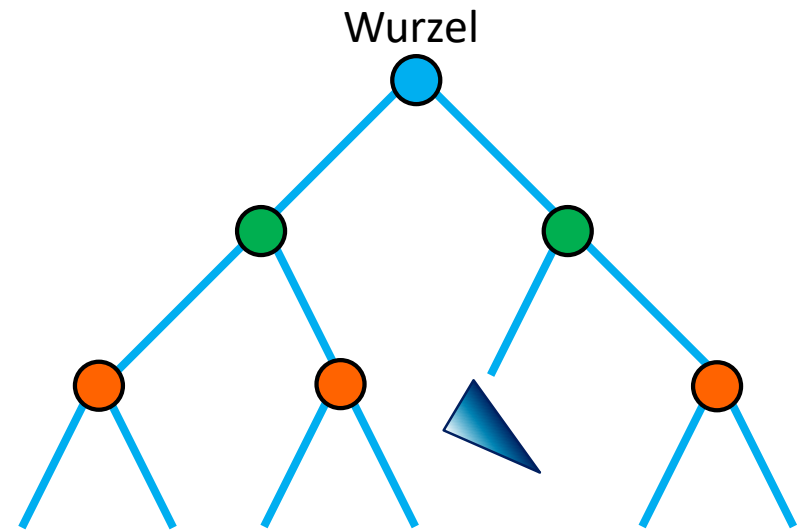
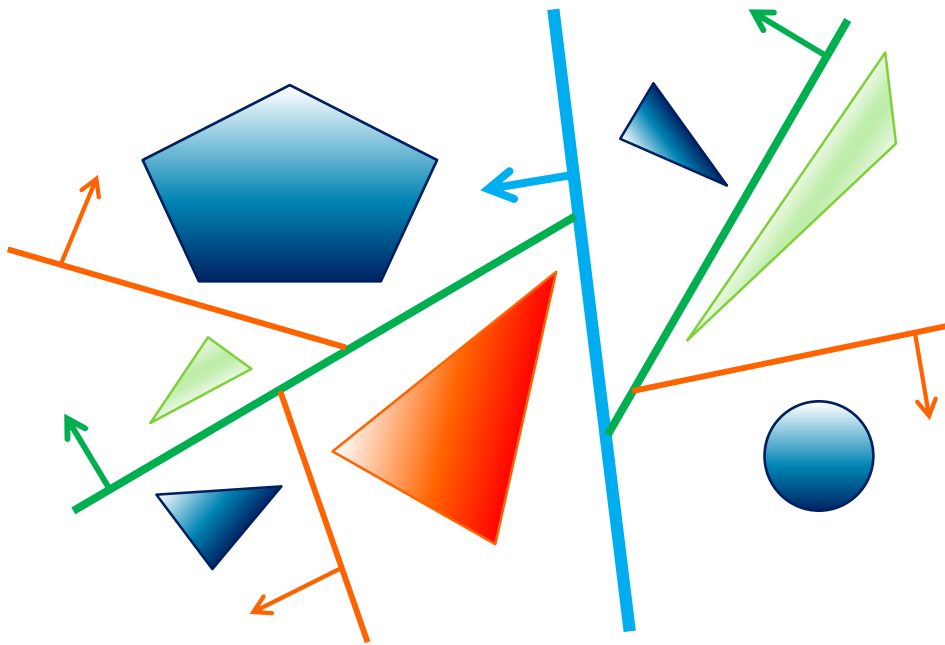
- ▶ Erweiterung von Binärbäumen auf k Dimensionen
- ▶ verwende Ebenen um **den Raum rekursiv zu unterteilen**
→ ergibt Binärbaumstruktur



BSP-Baum und kD-Baum

Grundidee (Binary Space Partitioning Tree)

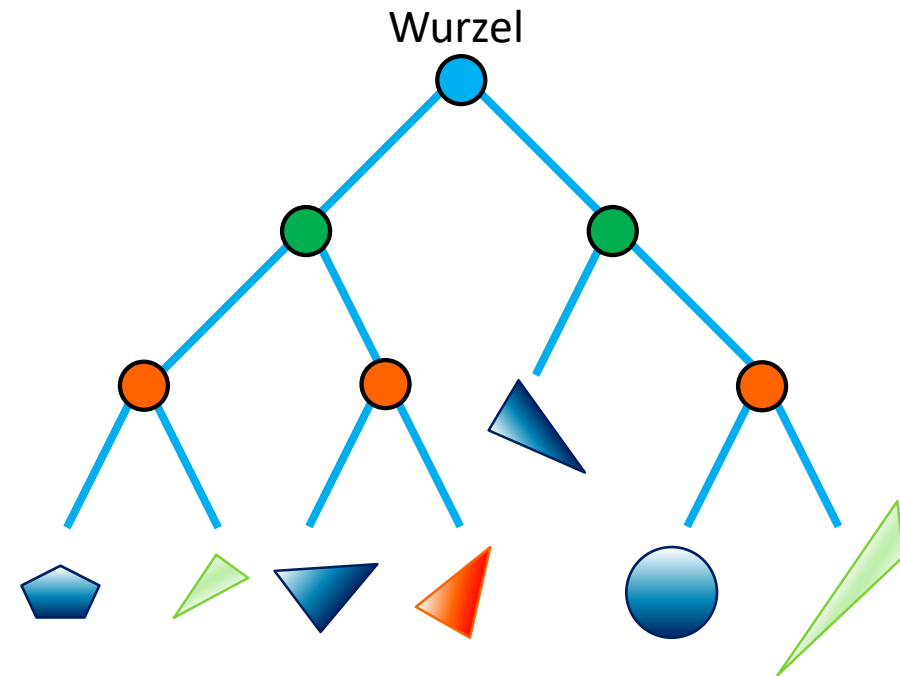
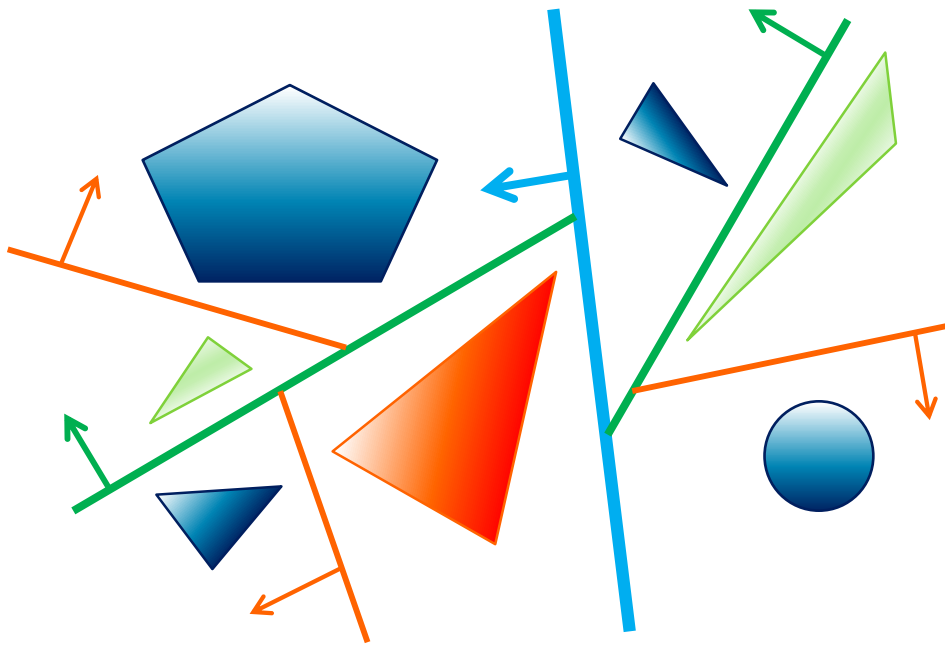
- ▶ Erweiterung von Binärbäumen auf k Dimensionen
- ▶ verwende Ebenen um **den Raum rekursiv zu unterteilen**
→ ergibt Binärbaumstruktur



BSP-Baum und kD-Baum

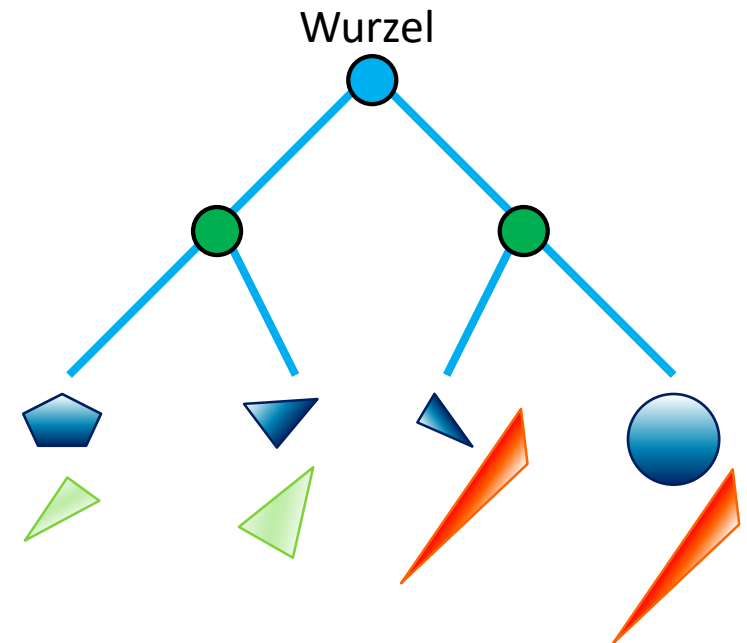
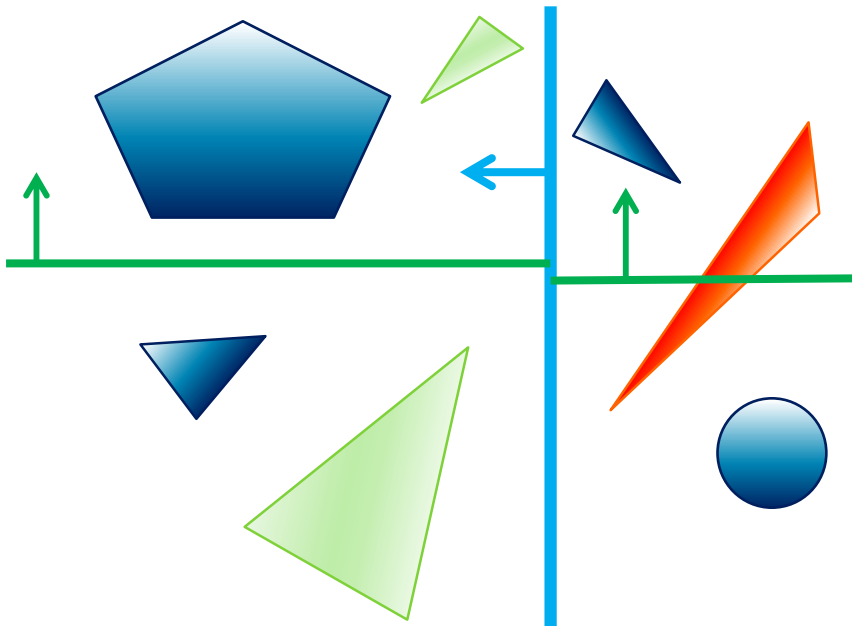
Grundidee (Binary Space Partitioning Tree)

- ▶ Erweiterung von Binärbäumen auf k Dimensionen
- ▶ verwende Ebenen um **den Raum rekursiv zu unterteilen**
→ ergibt Binärbaumstruktur
- ▶ Unterschied: BSP-Bäume verwenden beliebig orientierte Ebenen, kD-Bäume nur Ebenen, die senkrecht zur x -, y - oder z -Achse sind



Eigenschaften

- ▶ Split-Ebenen senkrecht zur x -, y - oder z -Achse
- ▶ Primitive die eine Split-Ebene schneiden (auch bei BSP-Bäumen) werden meist in beide Kindknoten eingefügt: ein Primitiv kann also – im Gegensatz zu BVHs – in mehreren Knoten vorkommen
→ Dreiecke werden mehrfach indiziert

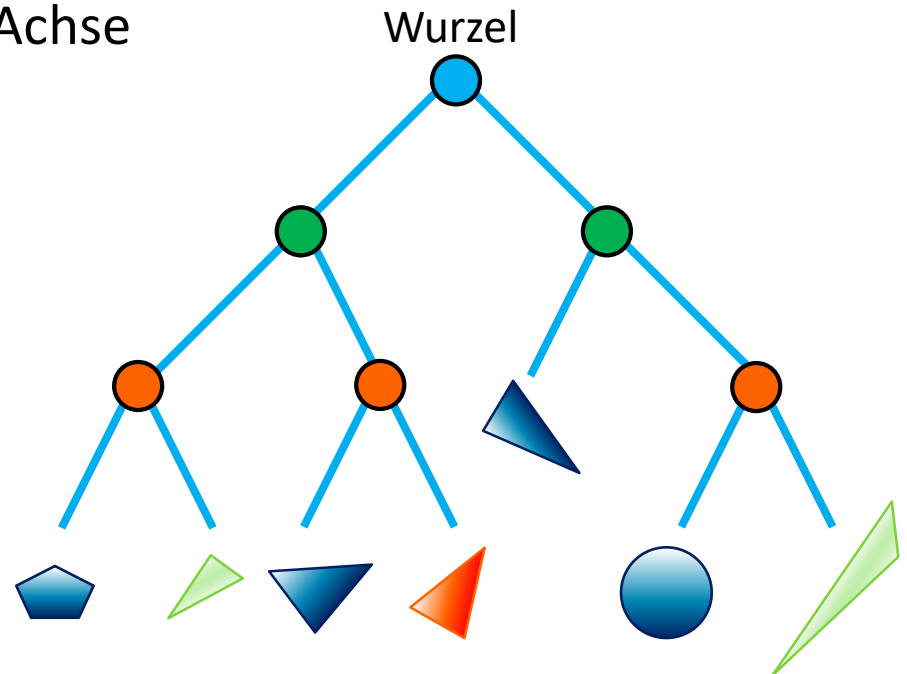


Konstruktion (sehr ähnlich wie bei BVH)

- ▶ initialisiere Wurzelknoten: enthält alle Objekte/Primitive der Szene
- ▶ unterteile den (Wurzel-)Knoten rekursiv...
 - ▶ ...bis ein Knoten nur noch eine vorgegebene maximale Anzahl Primitive enthält
 - ▶ ...oder eine maximale Rekursionstiefe erreicht ist
- ▶ **unterteile den Raum** und ordne die Primitive einem „linken“ und einem „rechten“ Kindknoten zu
(vgl. BVH: teilt die Primitive auf, die Hüllkörper ergeben sich daraus)

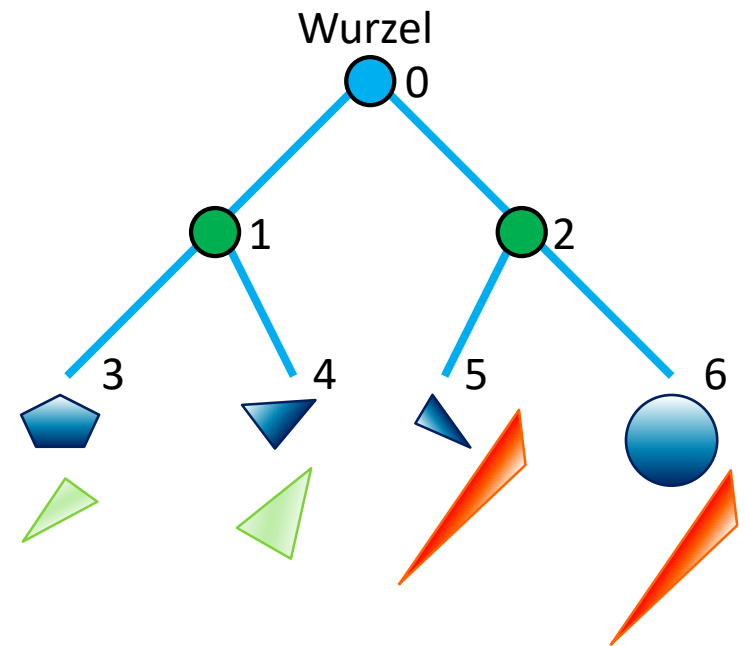
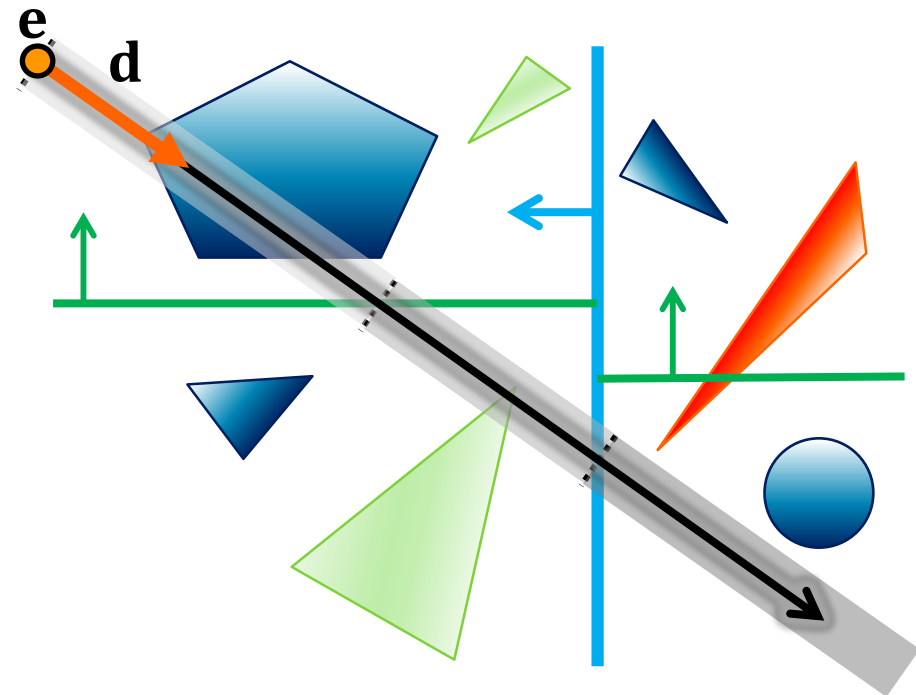
Eigenschaften

- ▶ echte Raumunterteilung: Knoten überlappen sich nicht (vgl. BVH)
- ▶ gute Anpassung an Geometrie möglich (v.a. bei BSP-Bäumen)
- ▶ die Blattknoten speichern die Primitive bzw. Verweise/Indizes darauf
- ▶ innere Knoten speichern die Split-Ebenen
 - ▶ BSP-Baum: Normale der Ebene und Abstand zum Ursprung
 - ▶ kD-Baum: die zur Ebene senkrechte Achse und die Position entlang dieser Achse
 - ▶ Zeiger auf die Kindknoten
- ▶ kD-Bäume sind einfacher zu konstruieren (keine Ebenen mit freier Orientierung) und werden daher häufiger eingesetzt



Traversierung

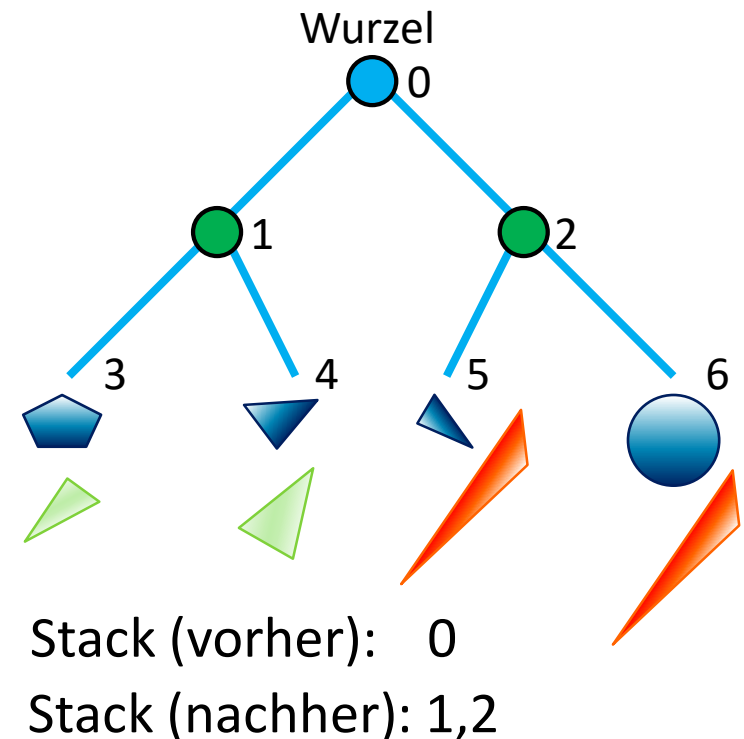
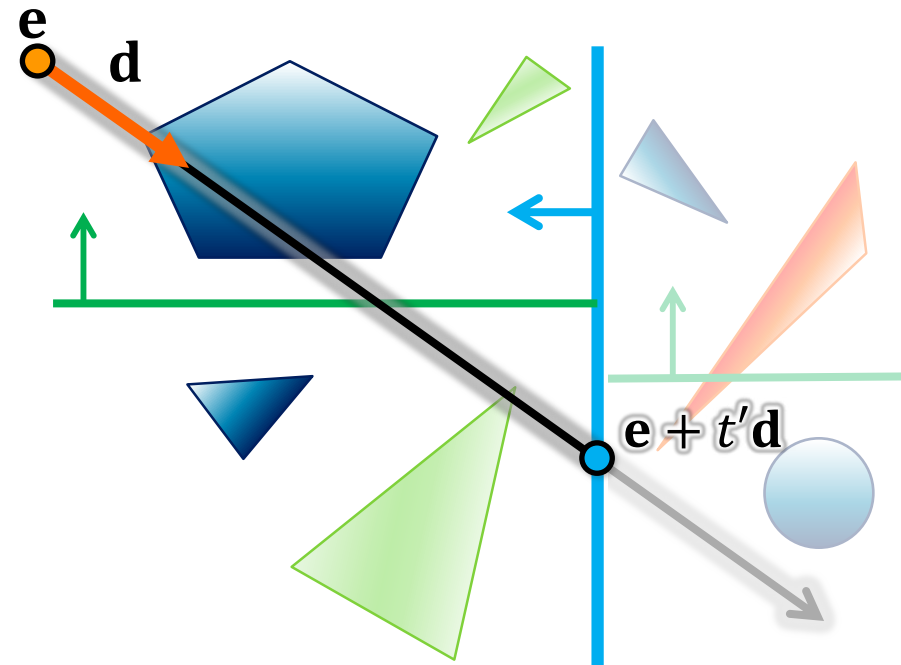
- ▶ Strahl $\mathbf{r}(t) = \mathbf{e} + t\mathbf{d}$, mit $t_{min} \leq t \leq t_{max}$ (t_{min}, t_{max} z.B. aus Schnitt mit AABB der ganzen Szene, oder $t_{min} = 0, t_{max} = \infty$)
- ▶ Ziel: Traversierung der Knoten „von vorne nach hinten“
- ▶ verwende Stack, um die Knoten für die Bearbeitung zu halten
- ▶ zu Beginn enthält der Stack den Wurzelknoten (0)



Stack: 0

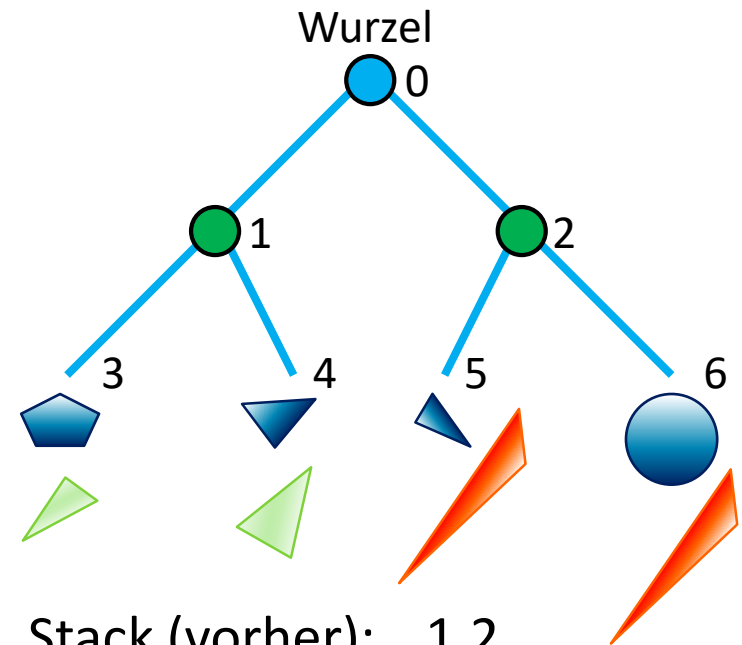
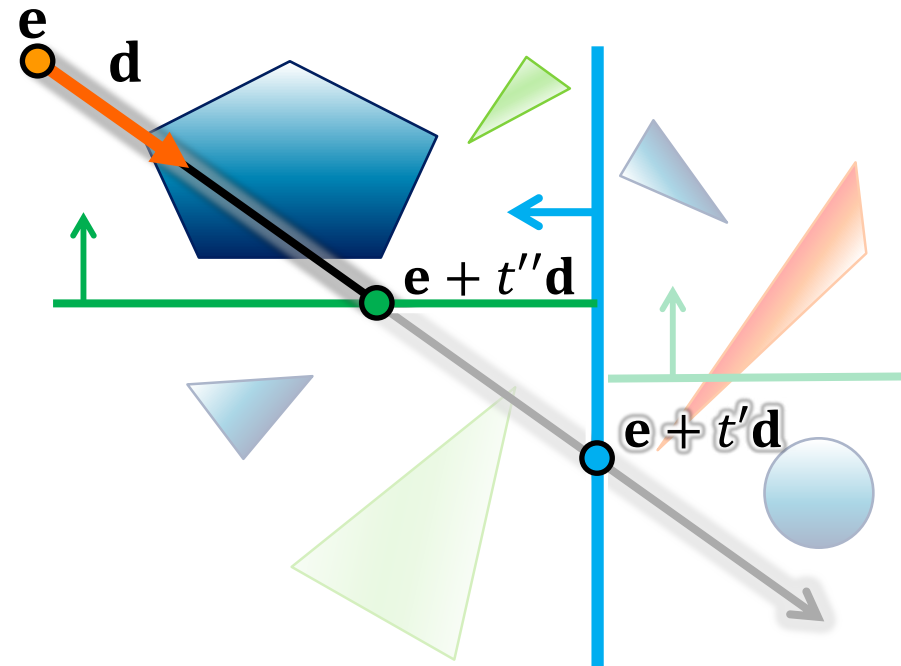
Traversierung

- ▶ Strahl $\mathbf{r}(t) = \mathbf{e} + t\mathbf{d}$, mit $0 = t_{min} \leq t \leq t_{max}$
- ▶ schneide Strahl mit der Split-Ebene (entnehme ersten Knoten vom Stack)
 - ▶ der Schnitt liegt bei t' mit $t_{min} \leq t' \leq t_{max}$
 - ▶ fahre mit beiden Kindern rekursiv fort
 - ▶ zuerst der Kindknoten, der \mathbf{e} enthält



Traversierung

- ▶ schneide Strahl mit nächster Split-Ebene (entnehme Knoten 1 vom Stack)
- ▶ liegt der Schnitt bei t'' mit $t_{min} \leq t'' \leq t'$ (das muss nicht so sein)
- ▶ dann fahre mit beiden Kindern rekursiv fort
- ▶ zuerst der Kindknoten, der e enthält
- ▶ (der andere Fall kommt gleich)

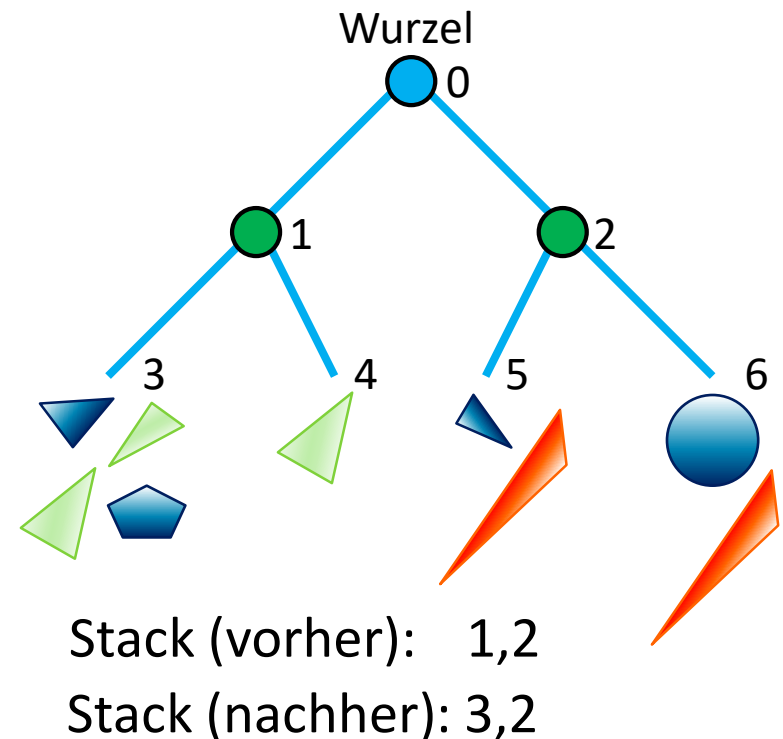
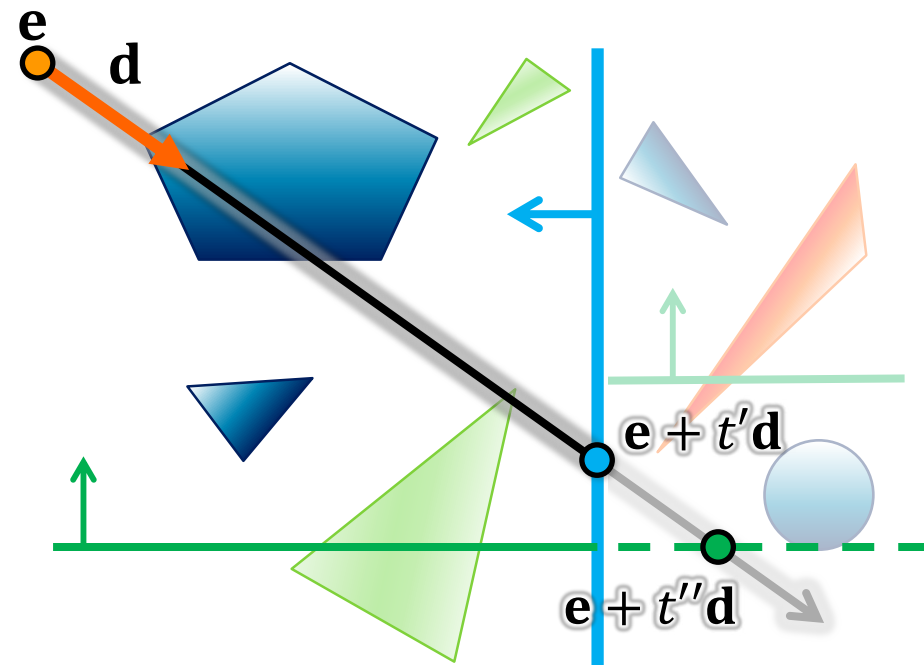


Stack (vorher): 1,2
Stack (nachher): 3,4,2

BSP-Baum und kD-Baum

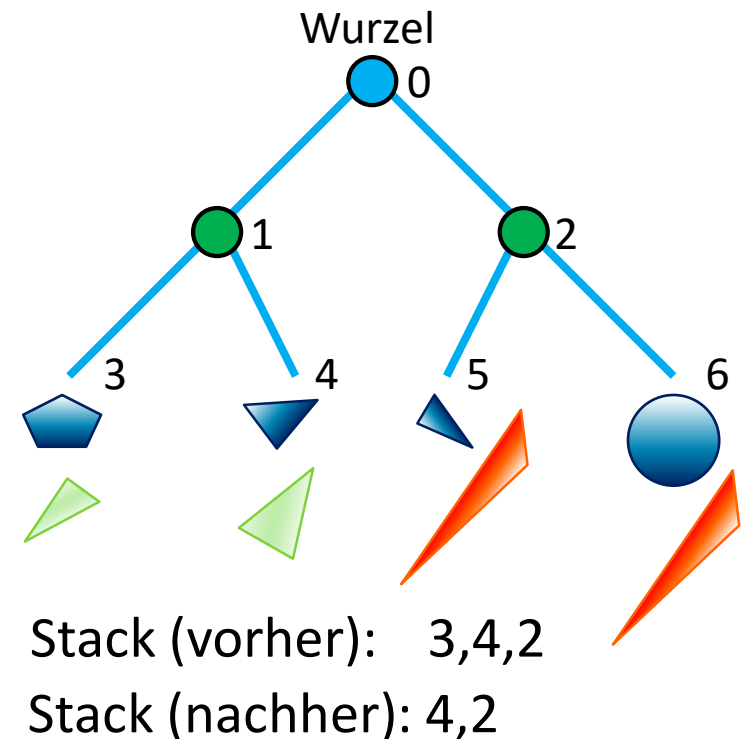
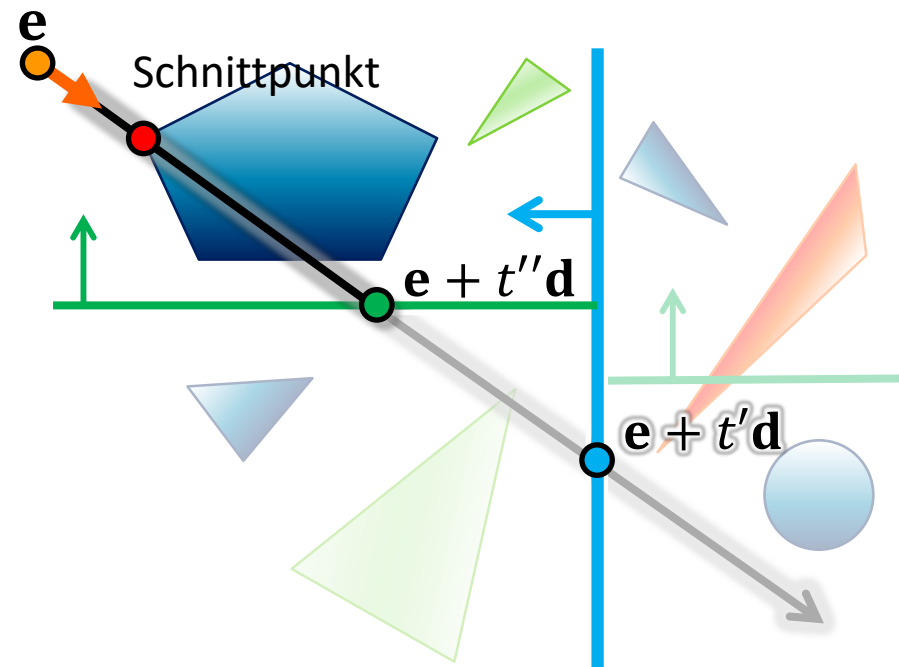
Traversierung: „der andere Fall“

- ▶ **Achtung: nur zur Illustration, hat nichts mit dem Beispiel eben zu tun!**
- ▶ schneide Strahl mit der Split-Ebene (entnehme Knoten 1 vom Stack)
 - ▶ hier liegt der Schnitt bei t'' mit $t'' > t'$
 - ▶ nur der Kindknoten, der e enthält wird traversiert (hier Knoten 3)
 - ▶ hier: bevor Knoten 4 erreicht wird, verlassen wir den Teilbaum



Traversierung

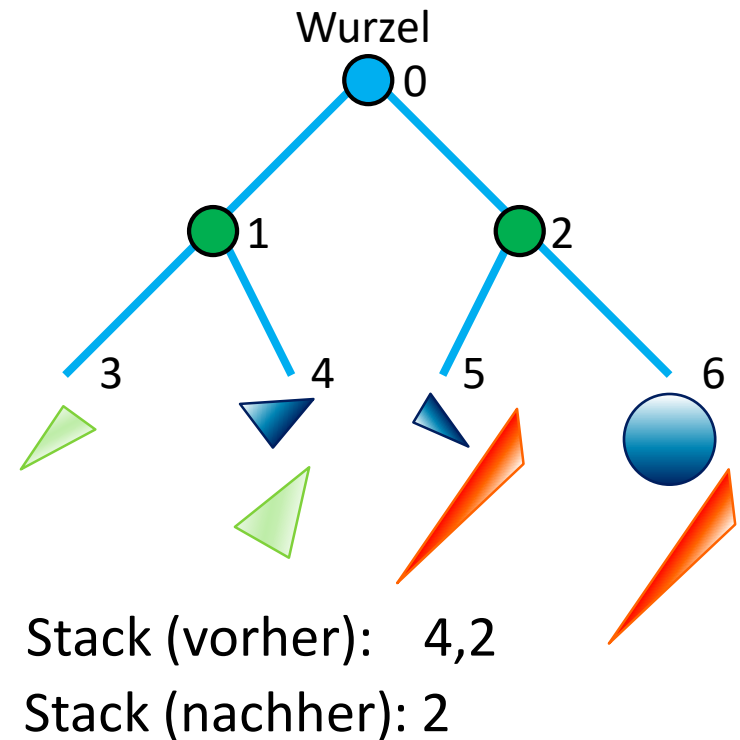
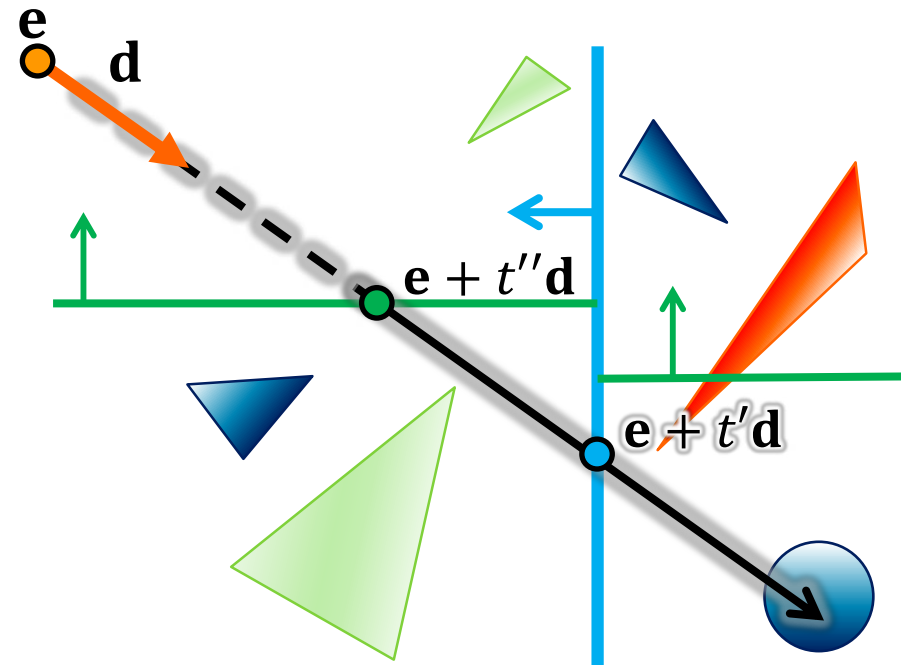
- ▶ wenn Blattknoten erreicht, dann teste Schnittpunkte mit Primitiven
- ▶ gebe nächsten Schnittpunkt zurück, wenn innerhalb $[t_{min}, t'')$ (bzw. $[t'', t')$, wenn Primitive im hinteren Halbraum getestet wurden)
- ▶ Vorteil „echter“ Raumunterteilung: kein möglicher Schnitt weiter hinten
- ▶ in diesem Beispiel sind wir jetzt fertig!



BSP-Baum und kD-Baum

Traversierung

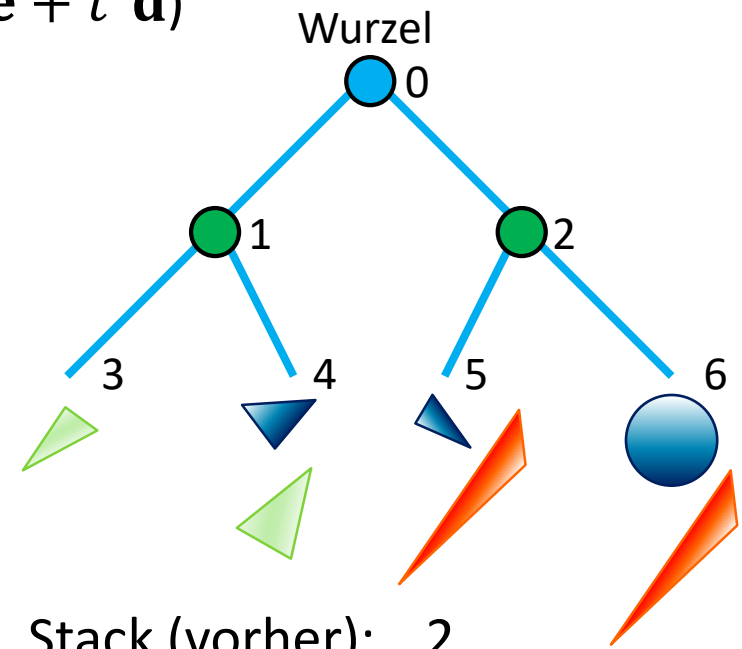
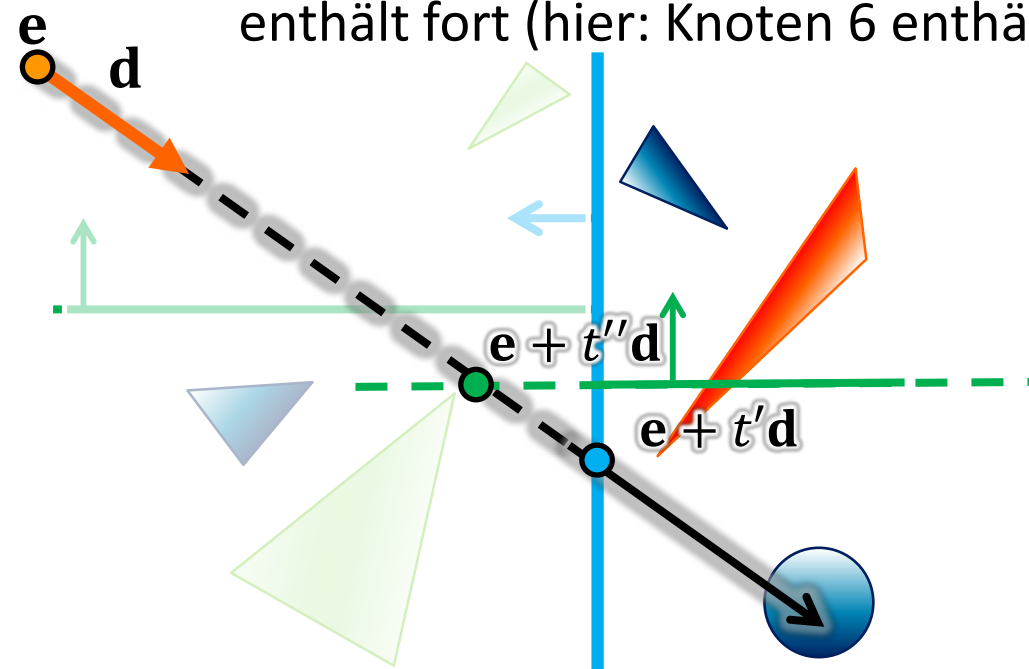
- ▶ keine Schnittpunkte im Knoten 3 gefunden
- ▶ fahre mit nächstem Knoten vom Stack fort → Knoten 4
- ▶ auch dort gibt es keine Schnittpunkte für $t'' \leq t \leq t'$



BSP-Baum und kD-Baum

Traversierung

- ▶ fahre mit nächstem Knoten vom Stack fort → Knoten 2
- ▶ schneide Strahl mit der Split-Ebene (Knoten 2)
- ▶ liefert den Schnitt bei t''
 - ▶ wenn $t'' \in [t', t_{max})$, dann wären wir in Knoten 5 (nicht der Fall)
 - ▶ wenn $t'' \notin [t', t_{max})$, dann fahre mit dem Kind, das den Startpunkt \bullet enthält fort (hier: Knoten 6 enthält $\mathbf{e} + t' \mathbf{d}$)



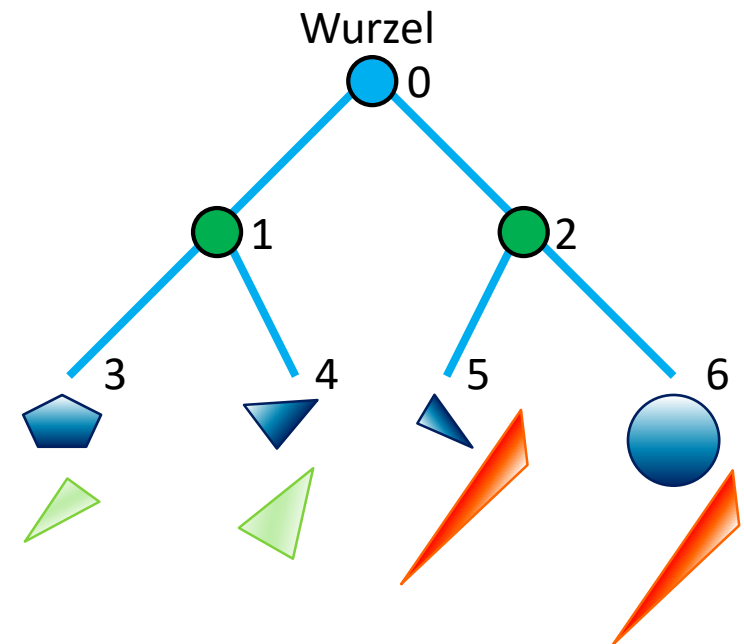
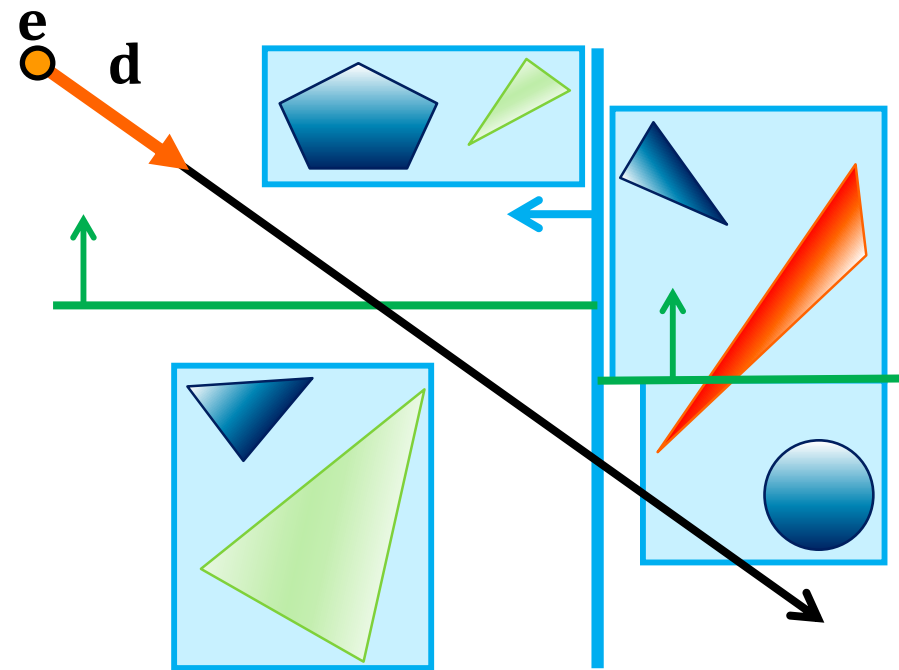
Stack (vorher): 2
Stack (nachher): 6

Traversierung

- ▶ Strahl $\mathbf{r}(t) = \mathbf{e} + t\mathbf{d}$, mit $0 \leq t \leq t_{max}$
- ▶ schneide Strahl mit der Split-Ebene (beginnend beim Wurzelknoten)
 - ▶ Schnitt mit der Split-Ebene bei t'
 - ▶ wenn t' auf dem Strahlsegment liegt:
traversiere beide Kinder rekursiv, zuerst das Kind, das \mathbf{e} enthält
 - ▶ liegt t' nicht auf dem Strahlsegment:
dann fahre nur mit dem Kind, das geschnitten wird fort
 - ▶ unterteile das Strahlsegment weiter mit t'' , t''' , ...
 - ▶ wenn Blattknoten erreicht:
 - ▶ teste Schnittpunkte mit Primitiven
 - ▶ gebe Schnittpunkt zurück, wenn innerhalb des aktuellen Strahlsegments (= innerhalb des Teilraums)
 - ▶ Reihenfolge der Traversierung der Knoten: von vorne nach hinten!
- ▶ Komplexität: $O(\log n)$ Schnitttests für n Objekte/Primitive in der Szene
- ▶ Anm. Traversierung auch ohne Stack möglich, siehe z.B.
Efficient stackless hierarchy traversal on GPUs with backtracking in constant time,
Binder und Keller, High Performance Graphics'16

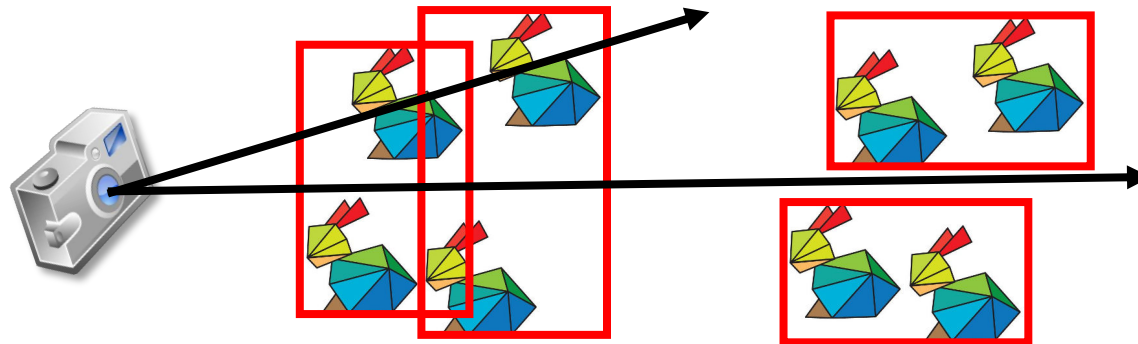
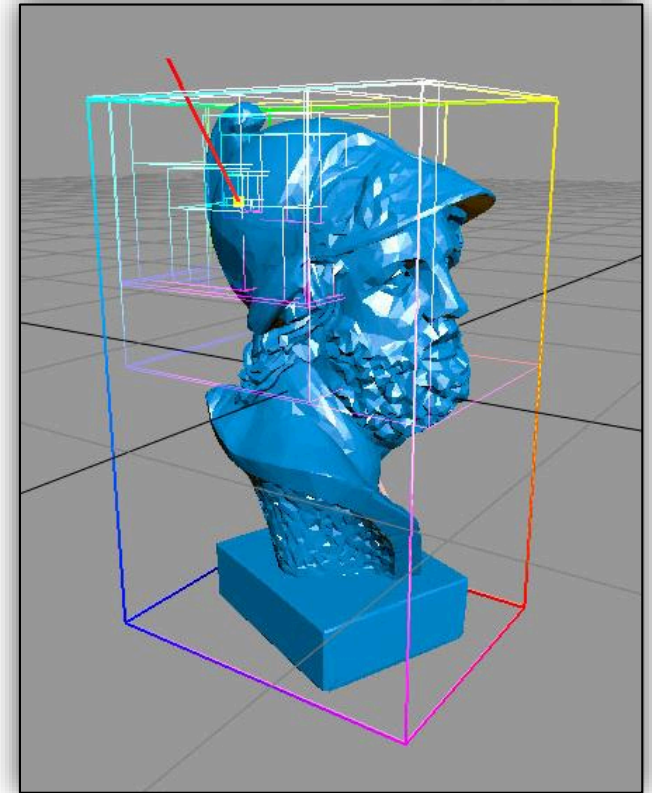
Kombination mit AABBs

- ▶ manchmal speichert man für die Primitive eines Knotens zus. eine AABB
- ▶ hilfreich, wenn Primitive nur einen kleinen Teil des Raums einnehmen
- ▶ für Schnitttest pro Knoten bedeutet das: teste nur auf Schnitt mit Primitiven, wenn die AABB geschnitten wird
- ▶ (Isolation dünnbesetzter Bereiche daher wünschenswert)



Inhalt: Räumliche Datenstrukturen

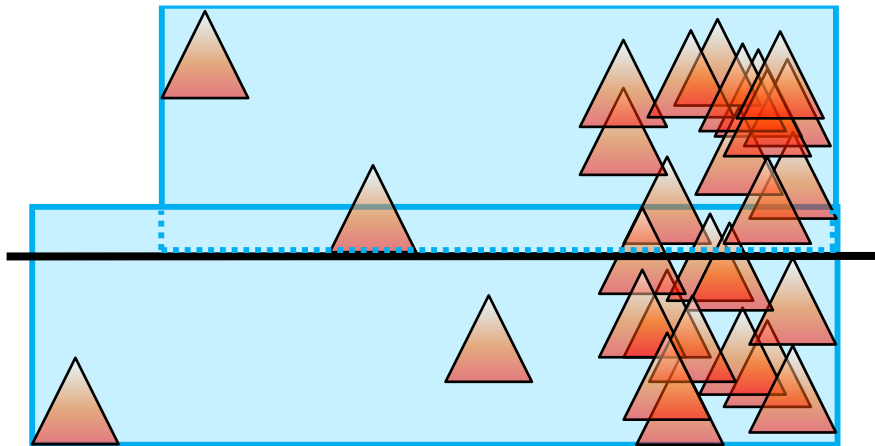
- ▶ Analyse der Kosten bei Raytracing
- ▶ Ansätze zur Beschleunigung von Raytracing
- ▶ Bounding Volumes (Hüllkörper)
- ▶ Räumliche Datenstrukturen
 - ▶ Bounding Volume-Hierarchies
 - ▶ reguläre und adaptive Gitter
 - ▶ BSP-Bäume und kD-Bäume
- ▶ geschickter Aufbau von BVHs und kD-Bäumen



kD-Baum und BVH Konstruktion

Aufteilung (Split) eines Knotens für kD-Baum- und BVH-Konstruktion

► ... so, dass jede Teilmenge etwa gleiche Anzahl Primitive enthält

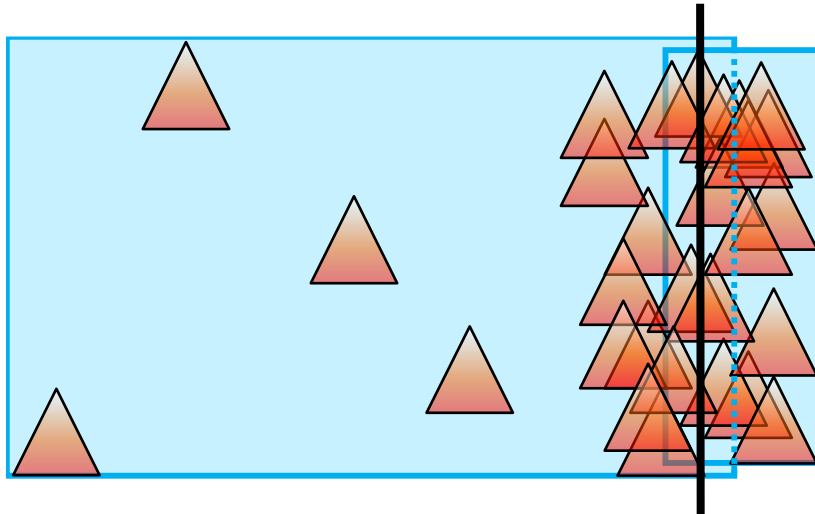


Objektmedian mit
Tiefe $O(\log n)$

kD-Baum und BVH Konstruktion

Aufteilung (Split) eines Knotens für kD-Baum- und BVH-Konstruktion

- ▶ ... so, dass jede Teilmenge etwa gleiche Anzahl Primitive enthält
 - ▶ ... senkrecht zu welcher Achse?

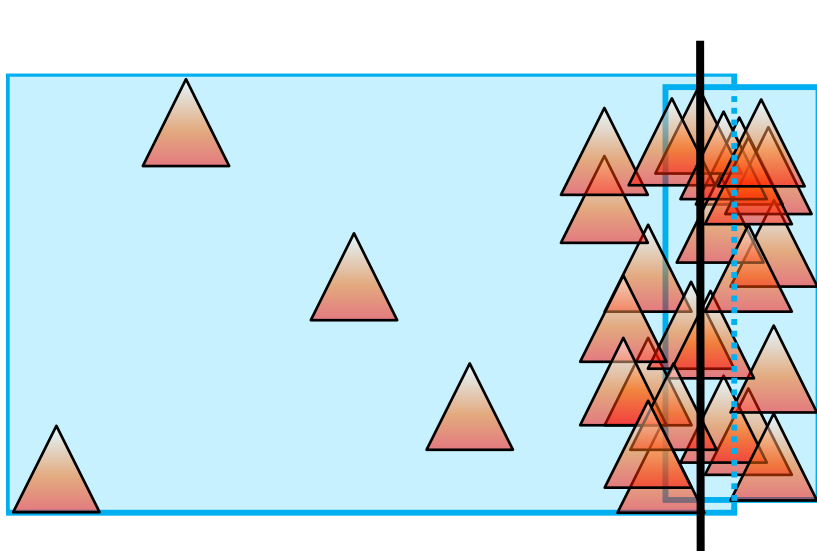


Objektmedian mit
Tiefe $O(\log n)$

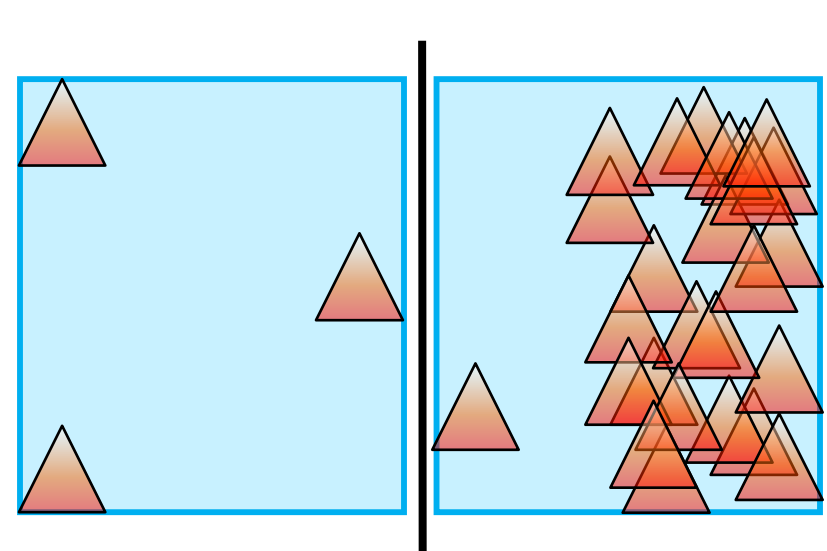
kD-Baum und BVH Konstruktion

Aufteilung (Split) eines Knotens für kD-Baum- und BVH-Konstruktion

- ▶ ... so, dass jede Teilmenge etwa gleiche Anzahl Primitive enthält
 - ▶ ... senkrecht zu welcher Achse?
- ▶ ... in der Mitte senkrecht zur Achse der größten Ausdehnung
 - ▶ ... führt zu sehr unbalancierten Bäumen



Objektmedian mit
Tiefe $O(\log n)$

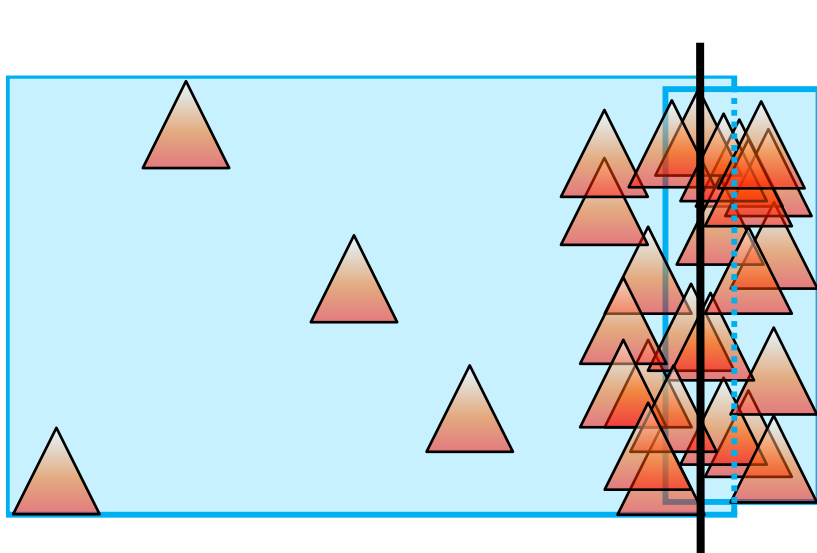


räumliches Mittel

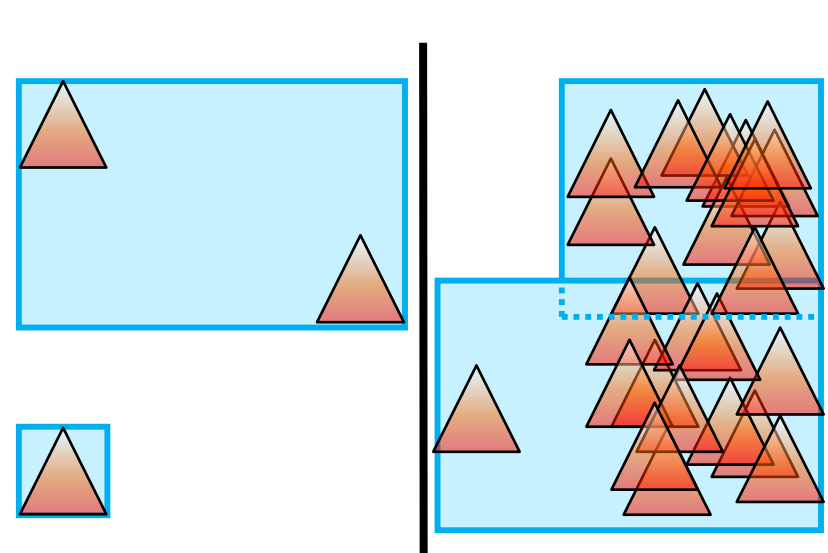
kD-Baum und BVH Konstruktion

Aufteilung (Split) eines Knotens für kD-Baum- und BVH-Konstruktion

- ▶ ... so, dass jede Teilmenge etwa gleiche Anzahl Primitive enthält
 - ▶ ... senkrecht zu welcher Achse?
- ▶ ... in der Mitte senkrecht zur Achse der größten Ausdehnung
 - ▶ ... führt zu sehr unbalancierten Bäumen



Objektmedian mit
Tiefe $O(\log n)$

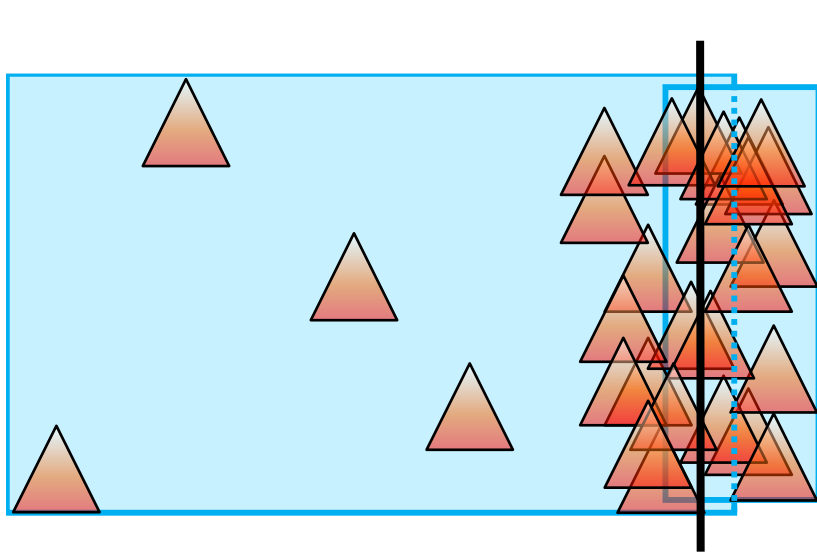


räumliches Mittel

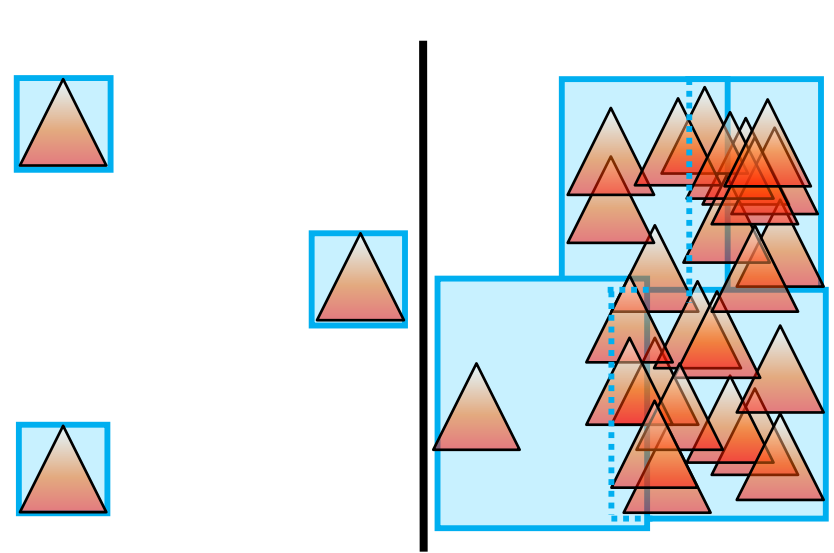
kD-Baum und BVH Konstruktion

Aufteilung (Split) eines Knotens für kD-Baum- und BVH-Konstruktion

- ▶ ... so, dass jede Teilmenge etwa gleiche Anzahl Primitive enthält
 - ▶ ... senkrecht zu welcher Achse?
- ▶ ... in der Mitte senkrecht zur Achse der größten Ausdehnung
 - ▶ ... führt zu sehr unbalancierten Bäumen



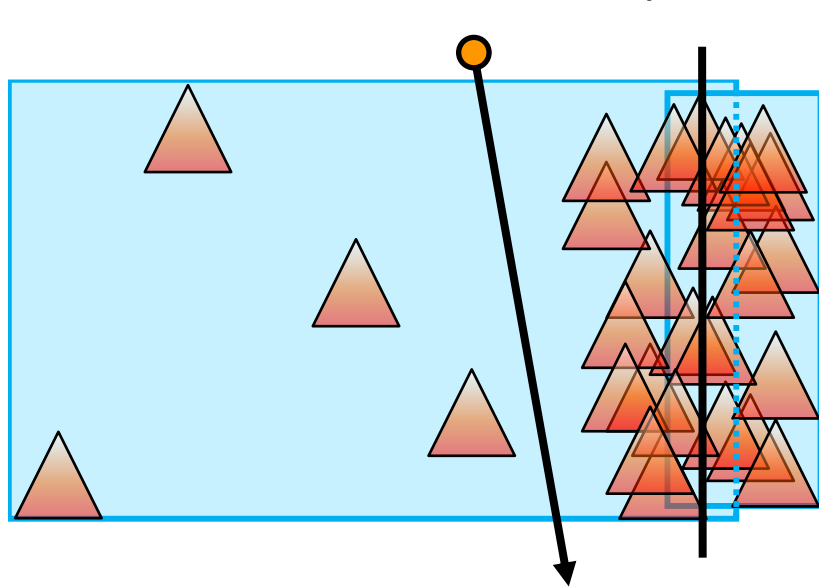
Objektmedian mit
Tiefe $O(\log n)$



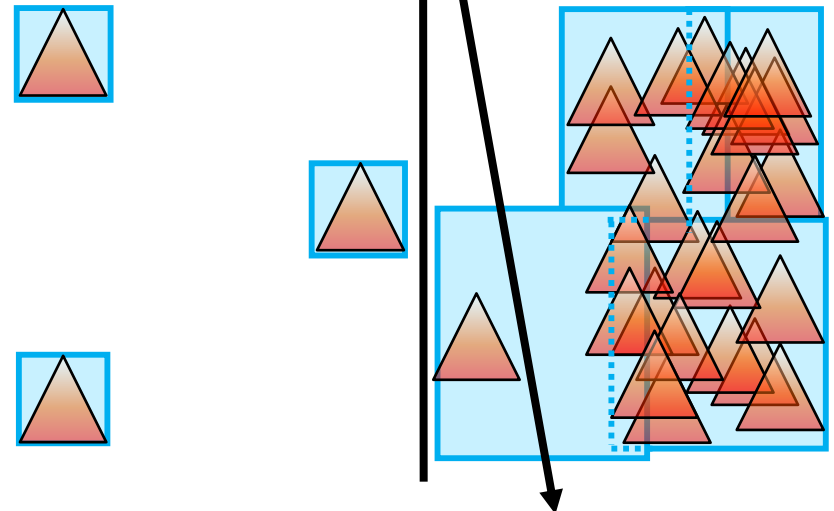
räumliches Mittel

Aufteilung (Split) eines Knotens für kD-Baum- und BVH-Konstruktion

- ▶ ... so, dass jede Teilmenge etwa gleiche Anzahl Primitive enthält
 - ▶ ... senkrecht zu welcher Achse?
- ▶ ... in der Mitte senkrecht zur Achse der größten Ausdehnung
 - ▶ ... führt zu sehr unbalancierten Bäumen
- ▶ in beiden Fällen: Hüllkörper werden nicht überall schnell kleiner



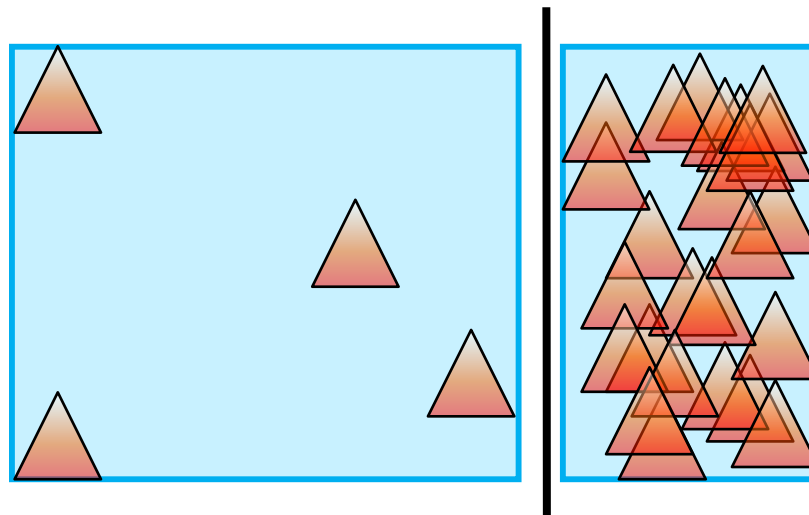
Objektmedian mit
Tiefe $O(\log n)$



räumliches Mittel

Zielformulierung

- ▶ Identifizieren von kompakten, dichtbesetzten Regionen
 - ▶ ... großer Aufwand nur, wenn der Strahl diese auch wirklich trifft
- ▶ Abtrennen von dünnbesetzten Regionen
 - ▶ ... wird in den nächsten Schritten schnell zu kleinen Hüllkörpern führen
- ▶ wie kann man das formalisieren?

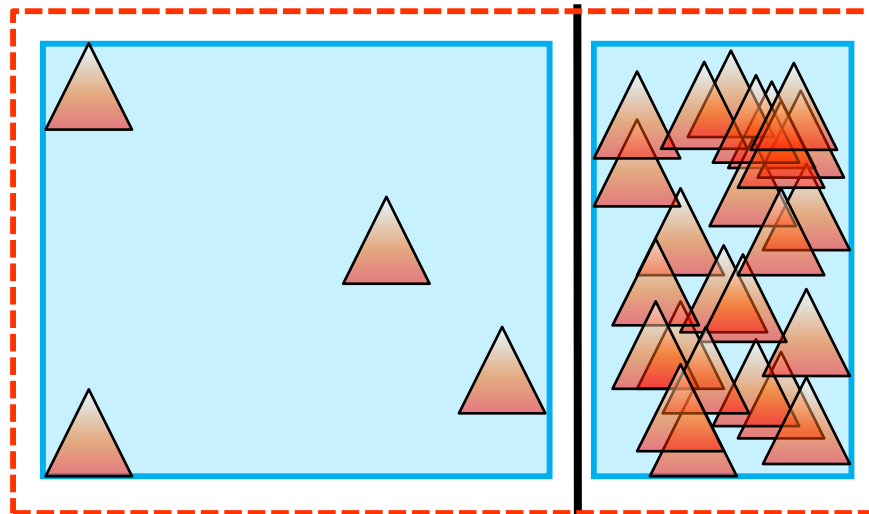


kD-Baum und BVH Konstruktion

Surface Area Heuristic: Kosten für Traversieren eines Knotens

$$C = C_T + P(\text{treffe } L)C(L) + P(\text{treffe } R)C(R)$$

► C_T : Kosten für Entscheidung mit welchem Kindknoten fortgefahren wird

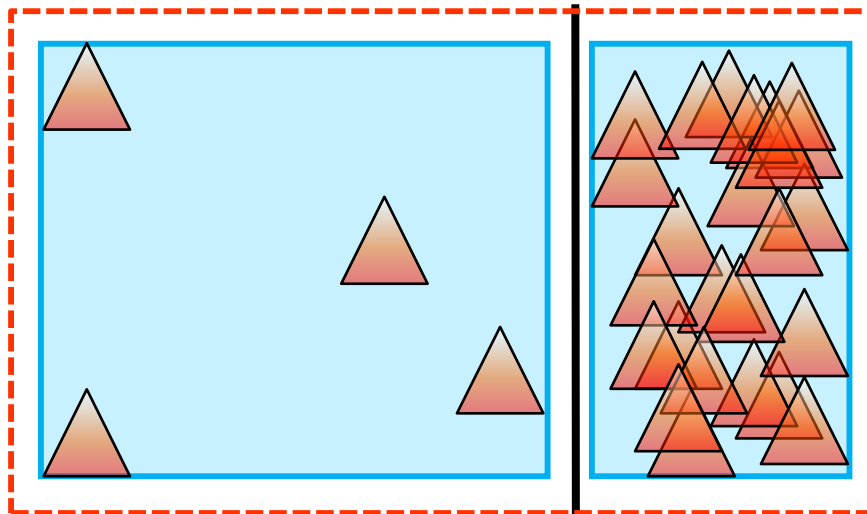


kD-Baum und BVH Konstruktion

Surface Area Heuristic: Kosten für Traversieren eines Knotens

$$C = C_T + P(\text{treffe } L)C(L) + P(\text{treffe } R)C(R)$$

- ▶ C_T : Kosten für Entscheidung mit welchem Kindknoten fortgefahren wird
- ▶ $P(\text{treffe } L)$, $P(\text{treffe } R)$: Wahrscheinlichkeit, dass der Strahl den linken bzw. rechten Kindknoten trifft

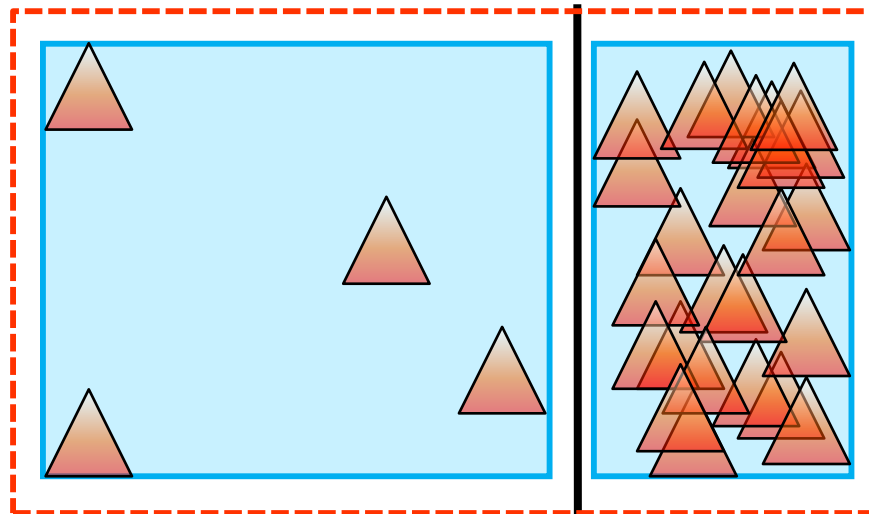


kD-Baum und BVH Konstruktion

Surface Area Heuristic: Kosten für Traversieren eines Knotens

$$C = C_T + P(\text{treffe } L)C(L) + P(\text{treffe } R)C(R)$$



- ▶ C_T : Kosten für Entscheidung mit welchem Kindknoten fortgefahren wird
- ▶ $P(\text{treffe } L), P(\text{treffe } R)$: Wahrscheinlichkeit, dass der Strahl den linken bzw. rechten Kindknoten trifft
- ▶ $C(L), C(R)$: Kosten für das Traversieren und Schnitttests des linken und rechten Kindknotens → Annahme Primitivkosten \times Anzahl

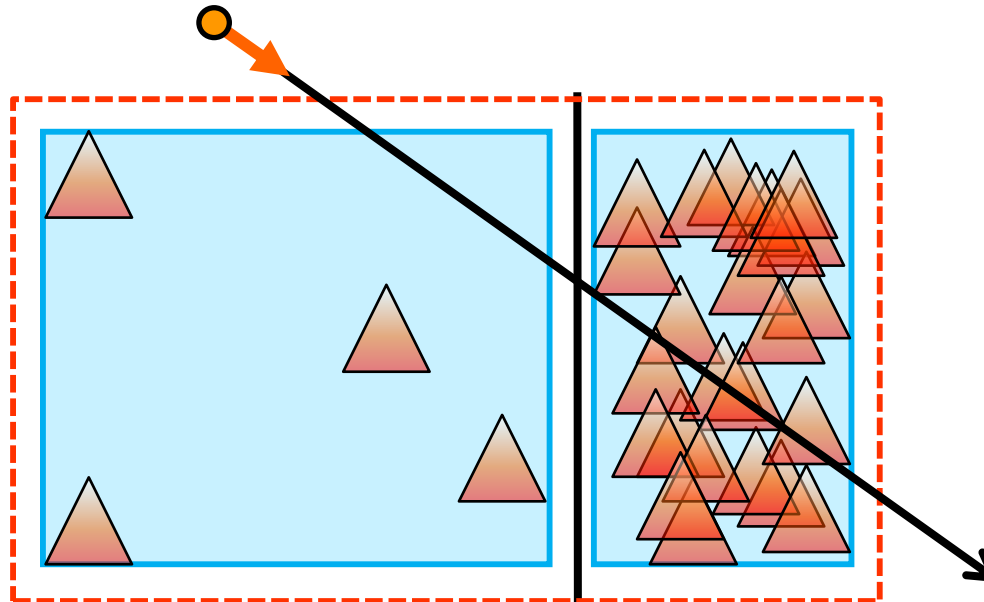


kD-Baum und BVH Konstruktion

Surface Area Heuristic: Kosten für Traversieren eines Knotens

$$C = C_T + P(\text{treffe } L)C(L) + P(\text{treffe } R)C(R)$$

- ▶ C_T : Kosten für Entscheidung mit welchem Kindknoten fortgefahren wird
- ▶ $P(\text{treffe } L), P(\text{treffe } R)$: Wkt., dass Strahl linkes/rechtes Kind trifft
- ▶ eine Konsequenz aus Croftons Theorem (gilt allg. für konvexe Objekte): die Wahrscheinlichkeit, dass ein zufälliger Strahl von außerhalb, der  schneidet, auch  schneidet ist: $SA(\text{img alt="solid blue box" data-bbox="782 438 818 484"})/SA(\text{img alt="dashed red box" data-bbox="888 438 924 484"})$
- ▶ $SA(.)$ ist die Oberfläche (surface area) einer Box



Surface Area Heuristic

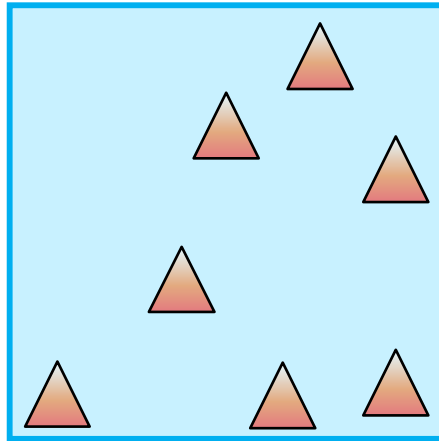
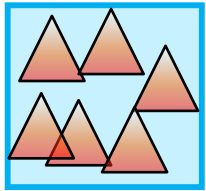
- ▶ Kostenfunktion für das Unterteilen eines kD-Baum/BVH Knotens p

$$C = C_T + \frac{SA(B_l)}{SA(B_p)} |P_l| C_i + \frac{SA(B_r)}{SA(B_p)} |P_r| C_i$$

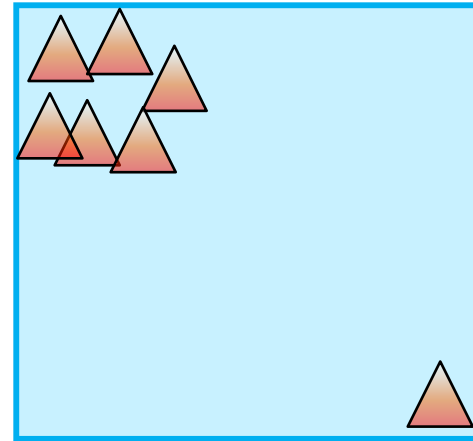
- ▶ B_l, B_r und B_p sind die Bounding Boxes der Primitive im linken und rechten Kindknoten, bzw. des betrachteten Knotens p
- ▶ $|P_l|$ und $|P_r|$ Anzahl der Primitive im linken und rechten Kindknoten
- ▶ C_i sind die Kosten eines Strahl-Primitiv-Schnitttests
- ▶ C_T sind die Kosten der Traversierung eines kD-Baum- bzw. BVH-Knoten
 - ▶ unterteile, wenn $C < (|P_l| + |P_r|) C_i$
 - ▶ durch den konstanten Overhead C_T lohnt sich Unterteilung bei kleineren Knoten irgendwann nicht mehr
- ▶ Ziel: finde die Unterteilung, die die Kostenfunktion minimiert

kD-Baum und BVH Konstruktion

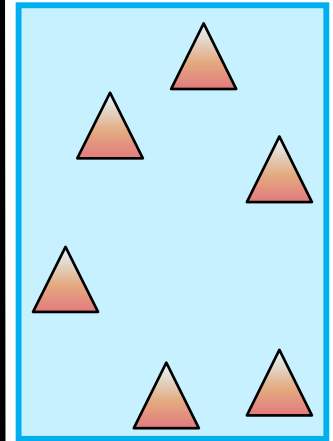
Beispiel: akkurate Unterteilung spielt eine große Rolle



gut



schlecht



Surface Area Heuristics (SAH)



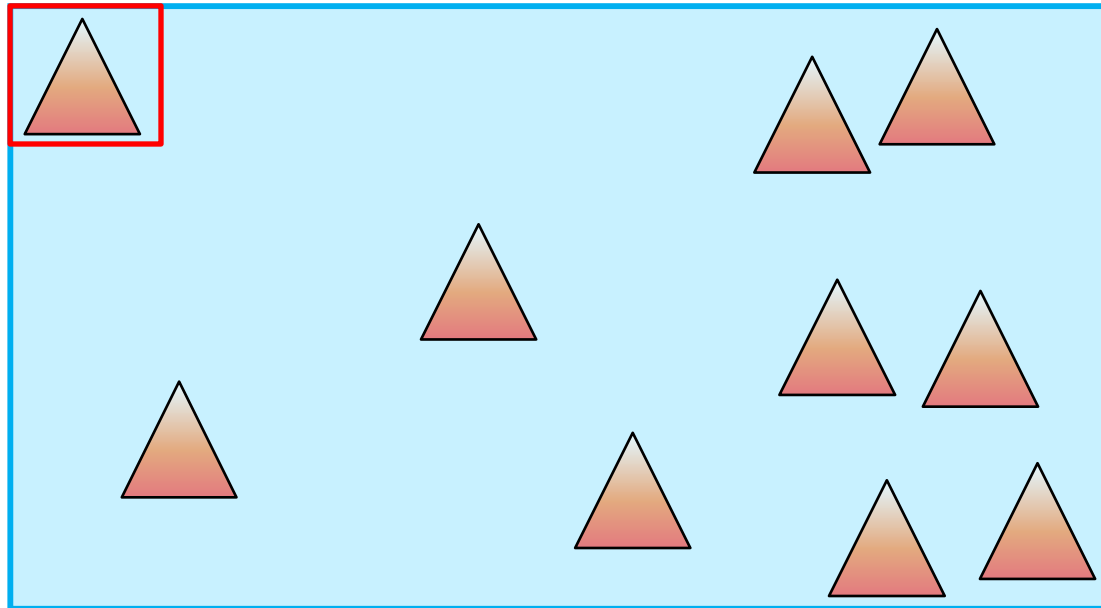
Optimierung/Bestimmung der Unterteilung

- ▶ aufwändige Suche nach der besten Unterteilung (niedrigste SAH-Kosten), da der Suchraum groß sein kann
- ▶ Variante 1: approximative Konstruktion (nicht elegant)
 - ▶ erzeuge einige Unterteilungskandidaten (Ebenen zur Unterteilung entlang der x -, y - und z -Achse), natürlich innerhalb der Bounding Box B_p
 - ▶ berechne Kostenfunktion für jeden Kandidaten
- ▶ Variante 2: Konstruktion mit inkrementeller Berechnung (nächste Folie!)
 - ▶ sortiere die n Primitive nach x -, y - und z -Achse
 - ▶ teste jede der möglichen $3(n - 1)$ Aufteilungen
 - ▶ inkrementelle Berechnung der AABBs und damit vergleichsweise effiziente Berechnung der SAH möglich
- ▶ Konstruktion mit SAH verursacht nicht-vernachlässigbare Kosten!
- ▶ gut konstruierte kD-/BSP-Bäume bzw. BVHs können dafür aber um ein Vielfaches schneller sein, als schlecht konstruierte

Surface Area Heuristics (SAH)

Inkrementelle Berechnung der AABBs

- ▶ AABB für linken Teilbaum für Primitiv 0

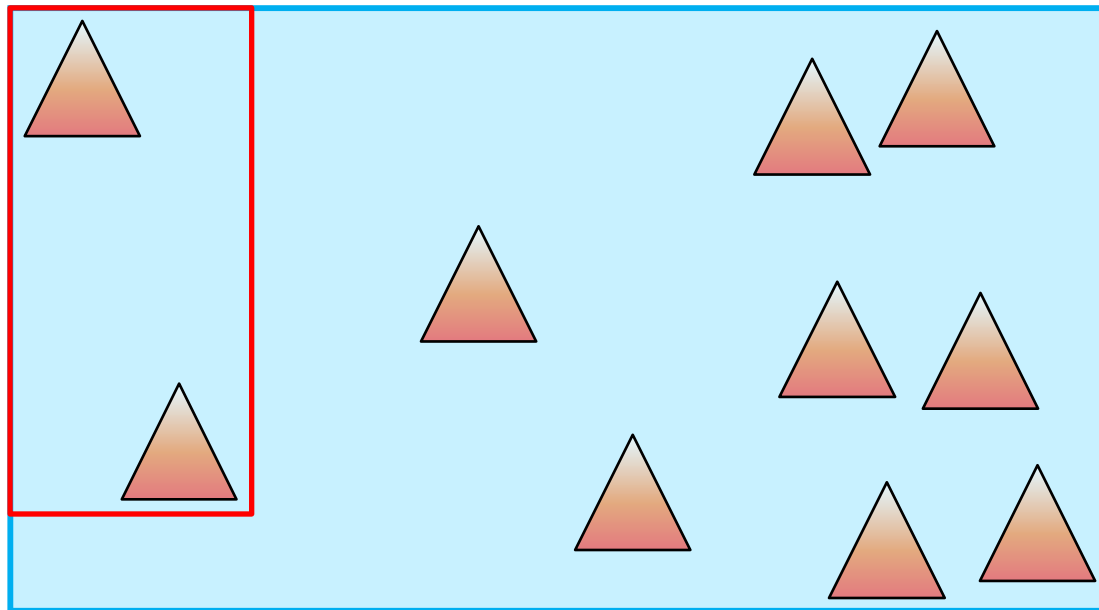


→
Sortierung der Objekte

Surface Area Heuristics (SAH)

Inkrementelle Berechnung der AABBs

- ▶ AABB für linken Teilbaum für Primitiv 0..1

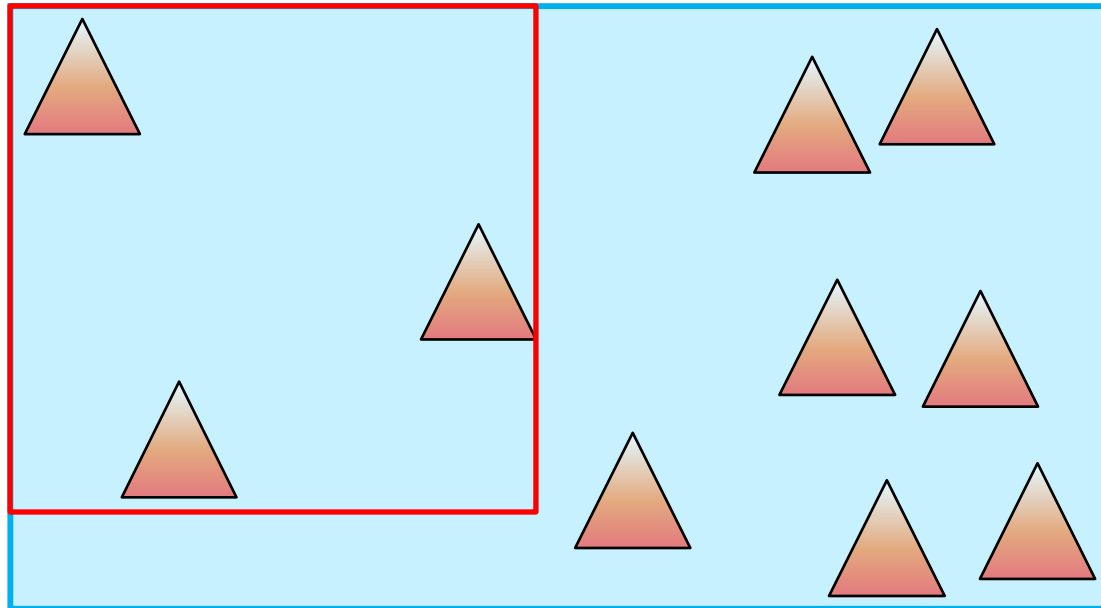


→
Sortierung der Objekte

Surface Area Heuristics (SAH)

Inkrementelle Berechnung der AABBs

- ▶ AABB für linken Teilbaum für Primitiv 0..2

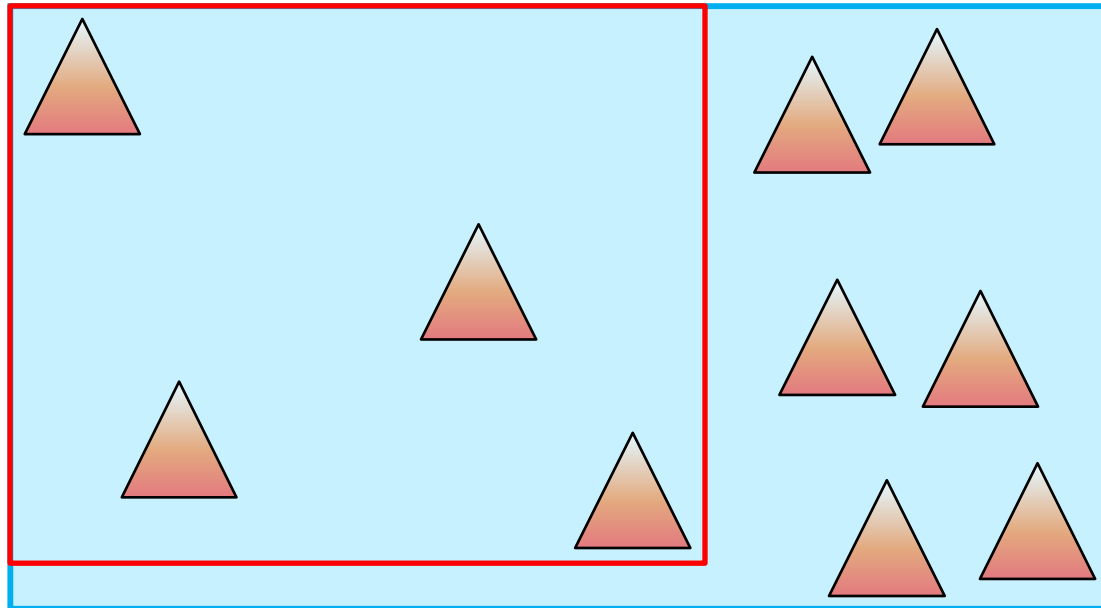


→
Sortierung der Objekte

Surface Area Heuristics (SAH)

Inkrementelle Berechnung der AABBs

- ▶ AABB für linken Teilbaum für Primitiv $0..3$
- ▶ weiter bis $0..n - 1$

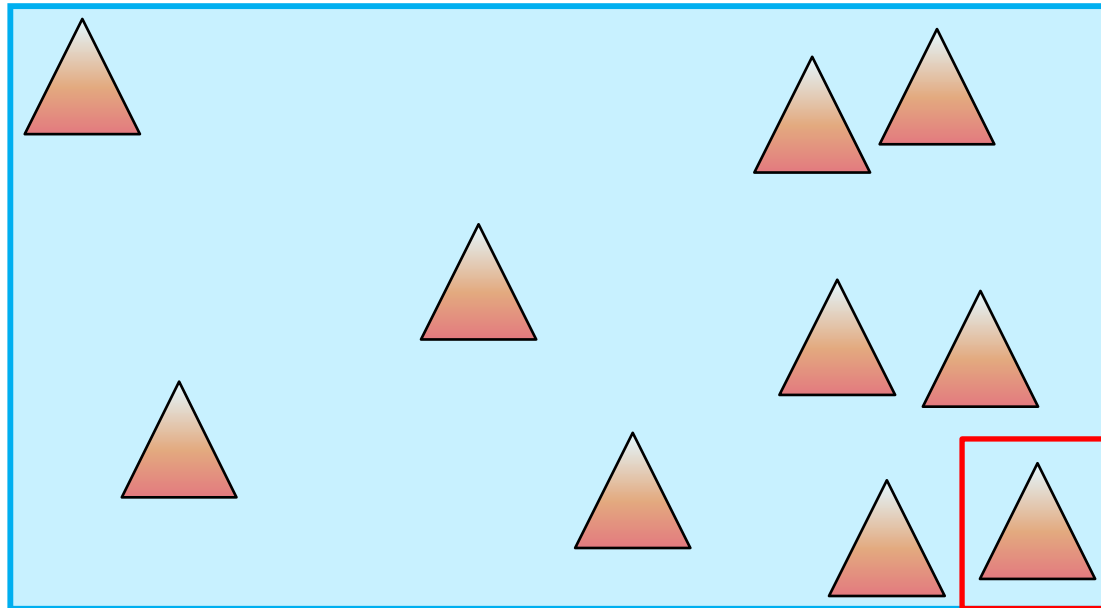


→
Sortierung der Objekte

Surface Area Heuristics (SAH)

Inkrementelle Berechnung der AABBs

- ▶ AABB für rechten Teilbaum für Primitiv $n - 1$

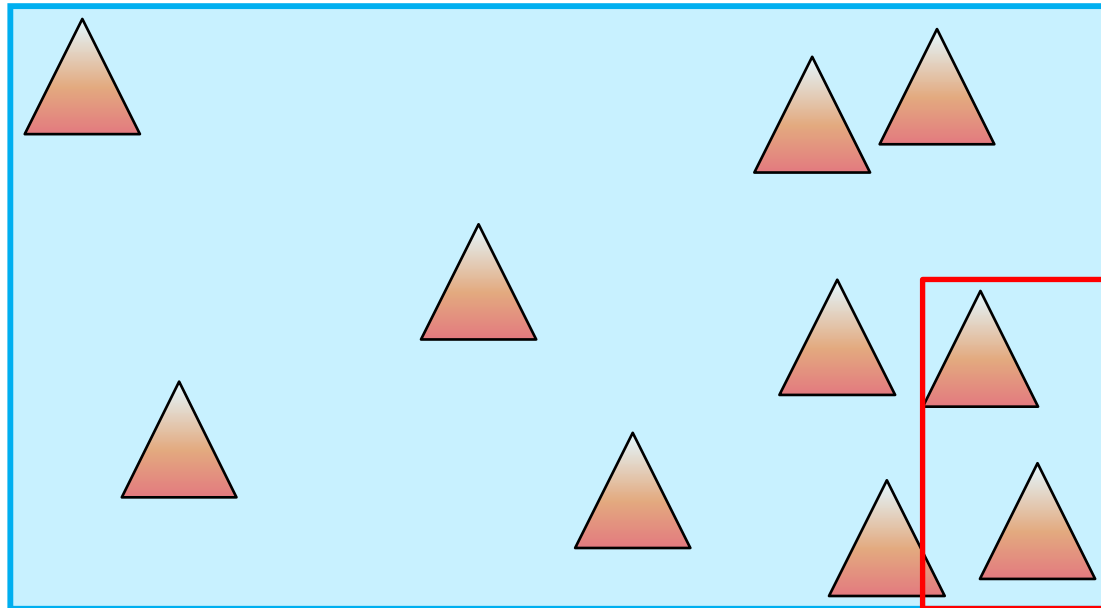


→
Sortierung der Objekte

Surface Area Heuristics (SAH)

Inkrementelle Berechnung der AABBs

- ▶ AABB für rechten Teilbaum für Primitiv $n - 2..n - 1$

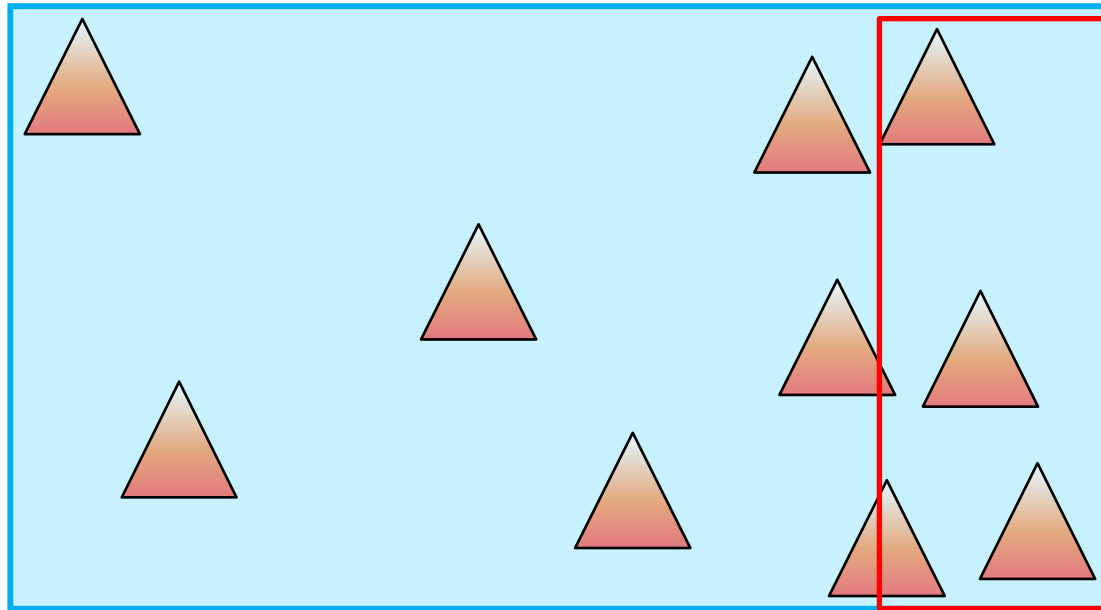


→
Sortierung der Objekte

Surface Area Heuristics (SAH)

Inkrementelle Berechnung der AABBs

- ▶ AABB für rechten Teilbaum für Primitiv $n - 3..n - 1$

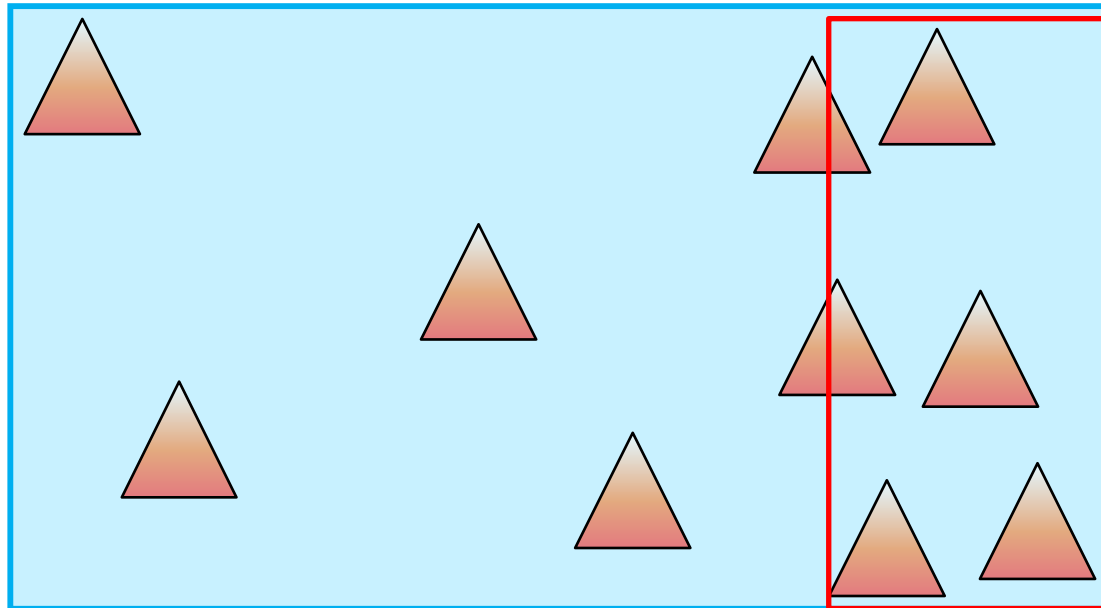


→
Sortierung der Objekte

Surface Area Heuristics (SAH)

Inkrementelle Berechnung der AABBs

- ▶ AABB für rechten Teilbaum für Primitiv $n - 4..n - 1$
- ▶ die beiden inkrementellen Berechnungen der AABBs „von links“ und „von rechts“ erlauben eine schnelle Berechnung aller $n - 1$ SAH-Werte
 - ▶ eine Richtung (z.B. von $n - 1$ nach 1) berechnen und speichern
 - ▶ andere Richtung berechnen und direkt SAH auswerten



Sortierung der Objekte

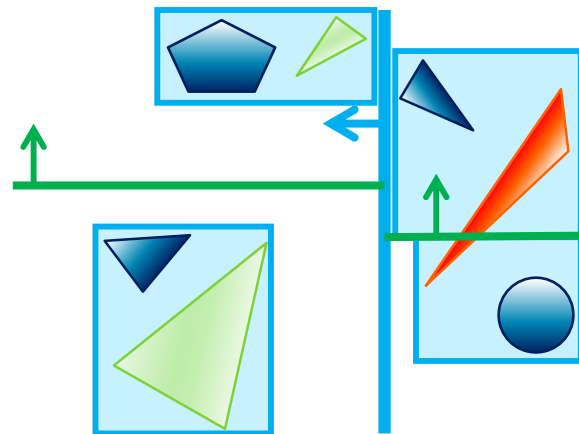
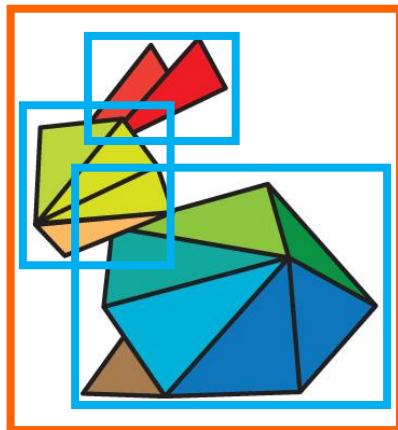
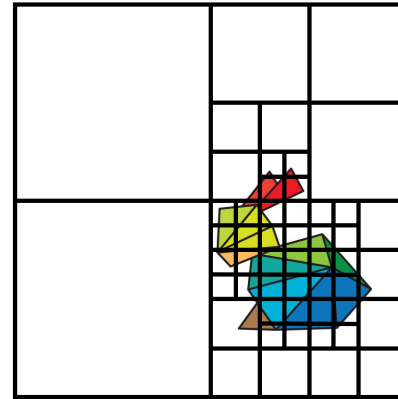
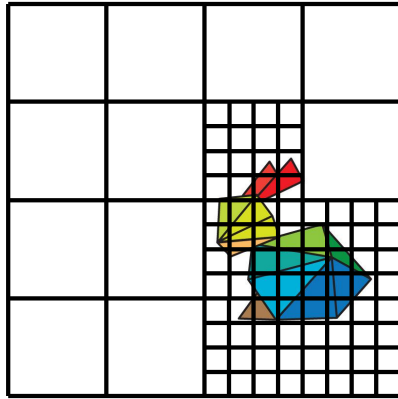
Zusammenfassung: Knotenaufteilung für kD-Baum- und BVH-Konstruktion

- ▶ Bestimmung der Split-Ebene
 - ▶ **räumliches Mittel (spatial median):**
teile Knoten in der Mitte entlang der Achse der größten Ausdehnung **oder** teile erst entlang der x -, dann y -, dann z -, dann wieder x -Achse, usw.
 - ▶ Aufbau $O(n \log n)$: Tiefe des Baums $\log n$, je n Primitive zugeordnet
 - ▶ **Objektmittel (object median):**
teile Knoten so, dass linker und rechter Kindknoten gleich viele Primitive enthalten (typischerweise entlang größter Ausdehnung)
 - ▶ Aufbau $O(n \log^2 n)$, wenn eine $O(n \log n)$ Sortierung verwendet wird
 - ▶ **Kostenfunktion (Surface Area Heuristic)**
 - ▶ Ziel: im Mittel sollen zufällige Strahlen, die den betrachteten Knoten schneiden, den gleichen Aufwand verursachen, egal welcher der Kindknoten weiter traversiert wird
 - ▶ resultiert in einem – **bei der Traversierung** – balancierten Baum
 - ▶ Aufbau $O(n \log^2 n)$ möglich
<http://www.cgg.cvut.cz/members/havran/ARTICLES/ingo06rtKdtree.pdf>
- ▶ Anm. die Wahl einer guten Split-Ebene ist bei kD-Bäumen schon schwierig – bei BSP-Bäumen ist der „Suchraum“ prinzipiell größer

Beschleunigungsstrukturen

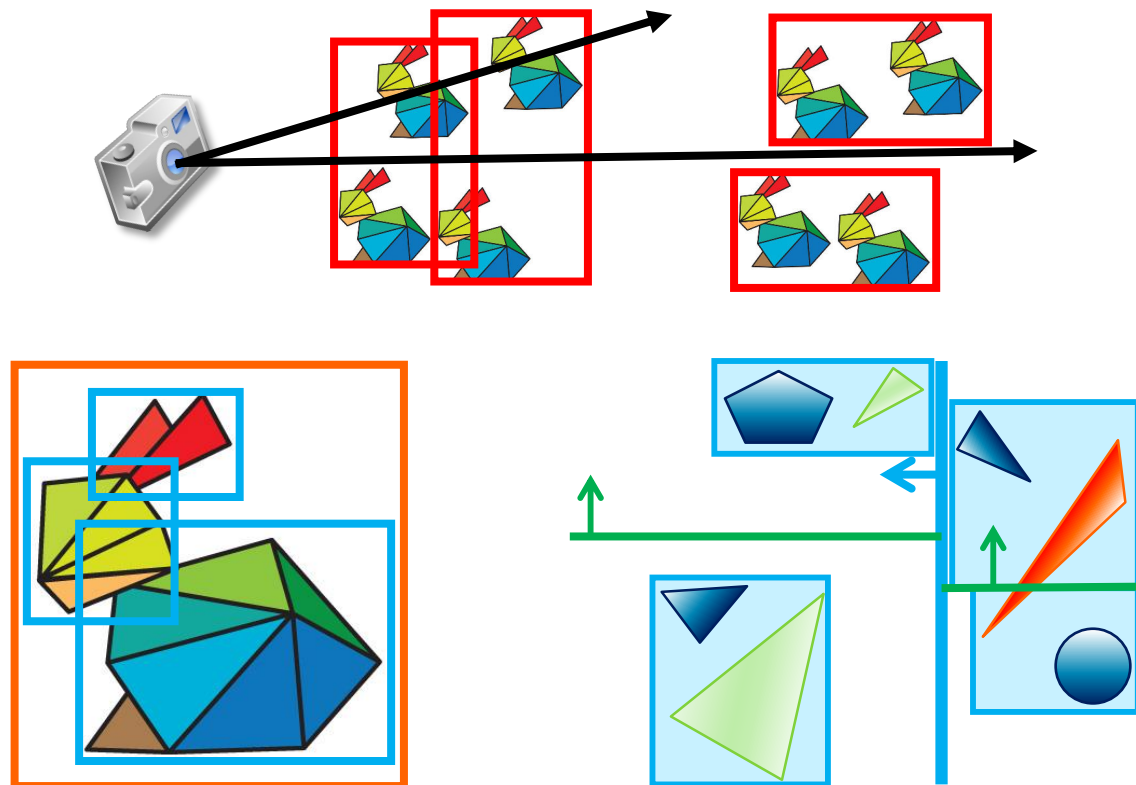
Ein ganzer Zoo und wichtige Aspekte...

- ▶ schneller Ausschluss von Schnitttests mit Primitiven erreicht durch Objekt- (BVH) oder Raumunterteilung (alle anderen)



Ein ganzer Zoo und wichtige Aspekte...

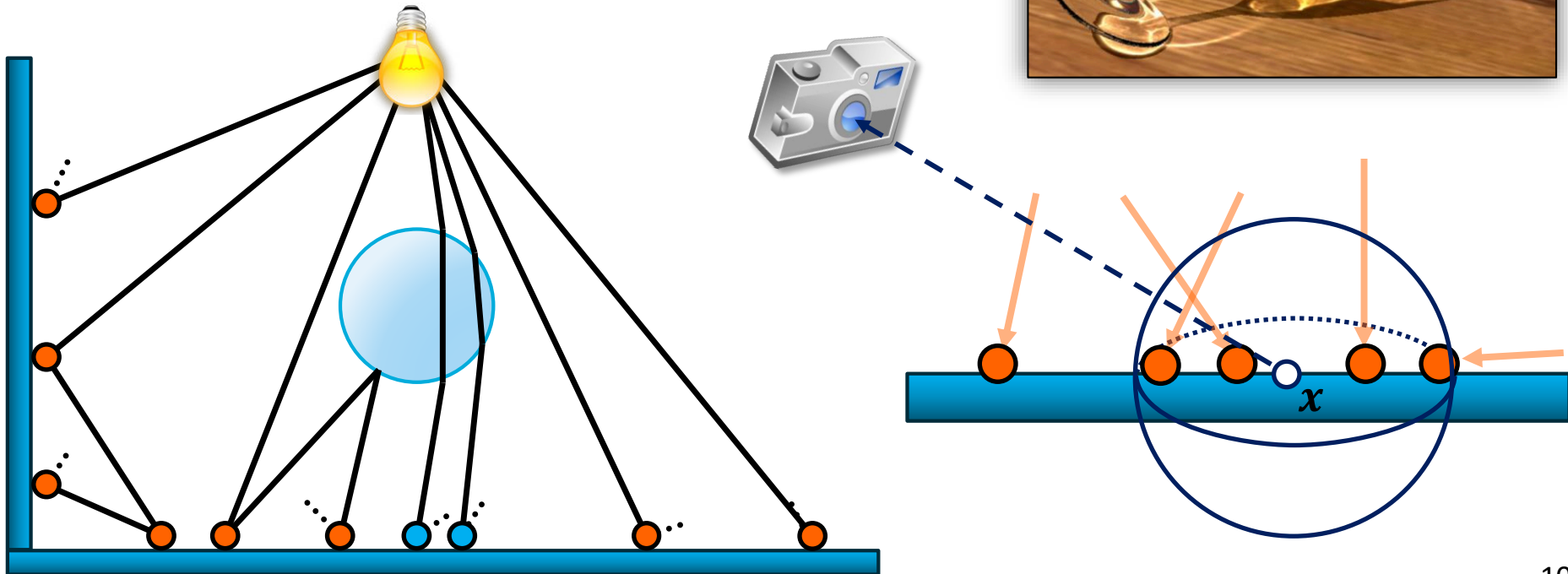
- ▶ schneller Ausschluss von Schnitttests mit Primitiven erreicht durch Objekt- (BVH) oder Raumunterteilung (alle anderen)
- ▶ für Raytracing relevant sind adaptive Beschleunigungsstrukturen, insb. der geschickte (und schnelle!) Aufbau von BVHs und kD-Bäumen



Exkurs: Anwendung in Photon Mapping

Grundidee

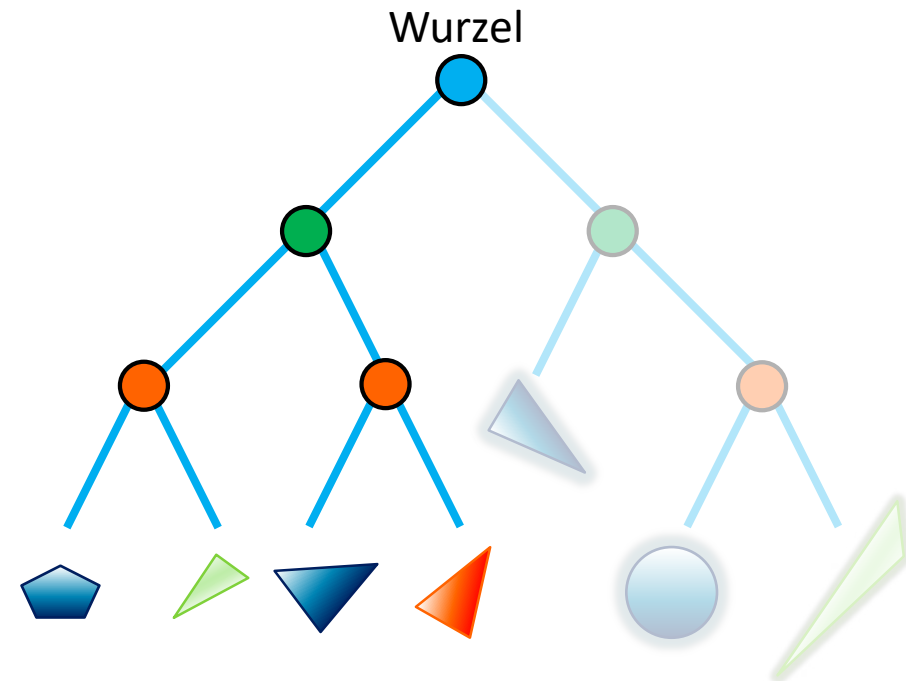
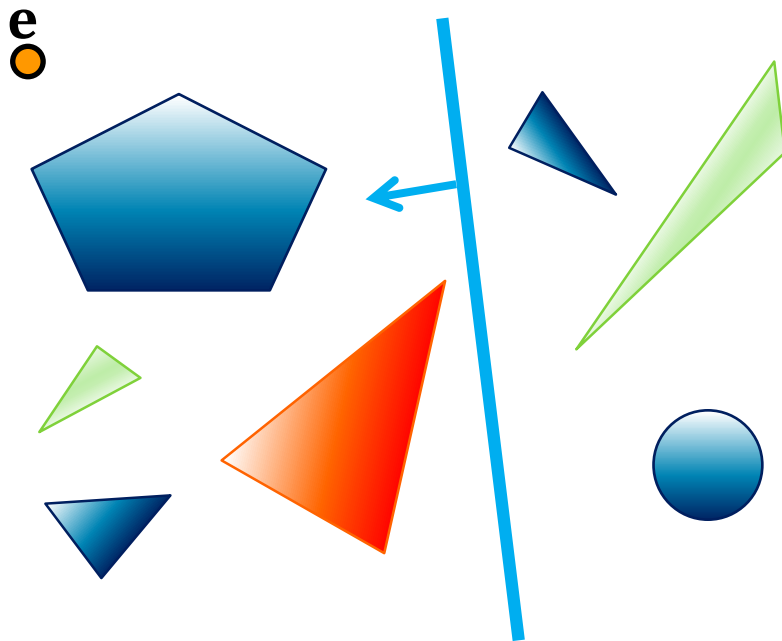
- ▶ sende Photonen/Energiepakete von den Lichtquellen aus
- ▶ verfolge und speichere Photonen, wenn sie eine diffuse Fläche treffen
- ▶ Helligkeit \propto Energie pro Fläche
 - ▶ suche die n -nächsten Photonen oder alle Photonen in einer Umgebung mit Radius r



Suche im kD-/BSP-Baum

Suche das nahste Objekt/Primitiv zum Punkt e

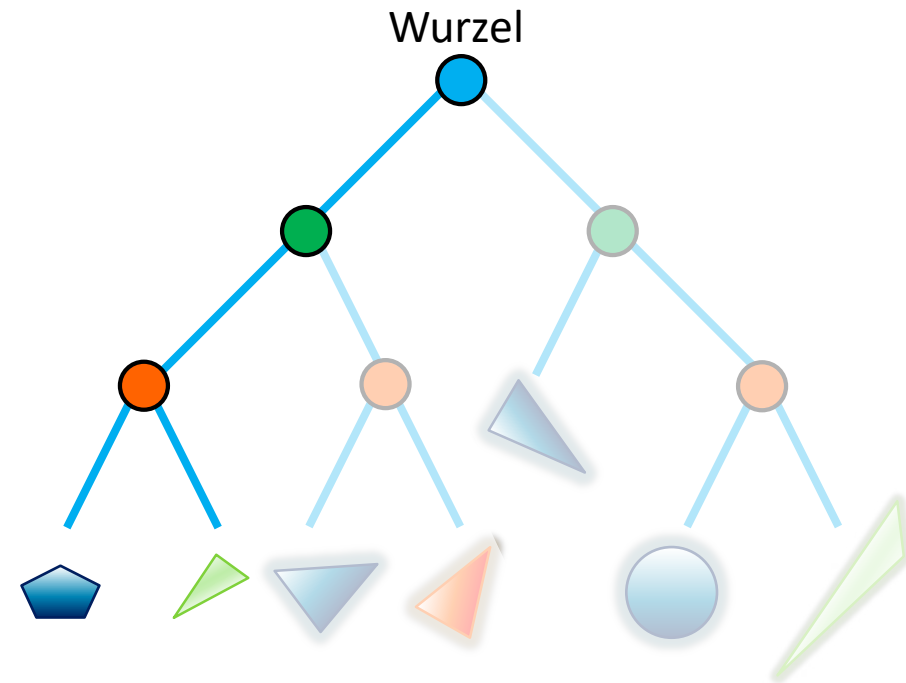
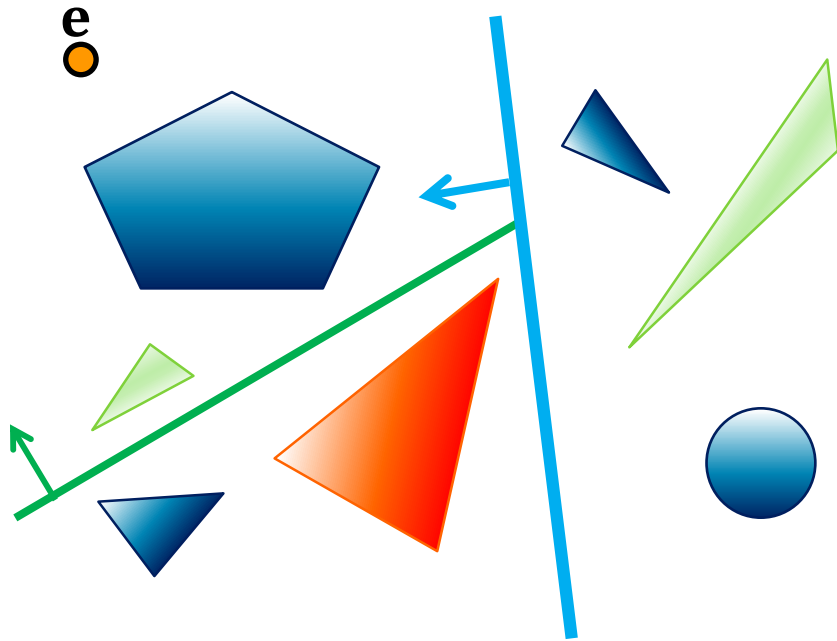
- ▶ e liegt im positiven Halbraum der Split-Ebene der Wurzel
- ▶ d.h. alle Objekte im negativen Halbraum sind „weiter hinten“



Suche im kD-/BSP-Baum

Suche das nahste Objekt/Primitiv zum Punkt e

- ▶ e liegt im positiven Halbraum der Split-Ebene des Knotens ●
- ▶ d.h. alle Objekte im negativen Halbraum sind „weiter hinten“

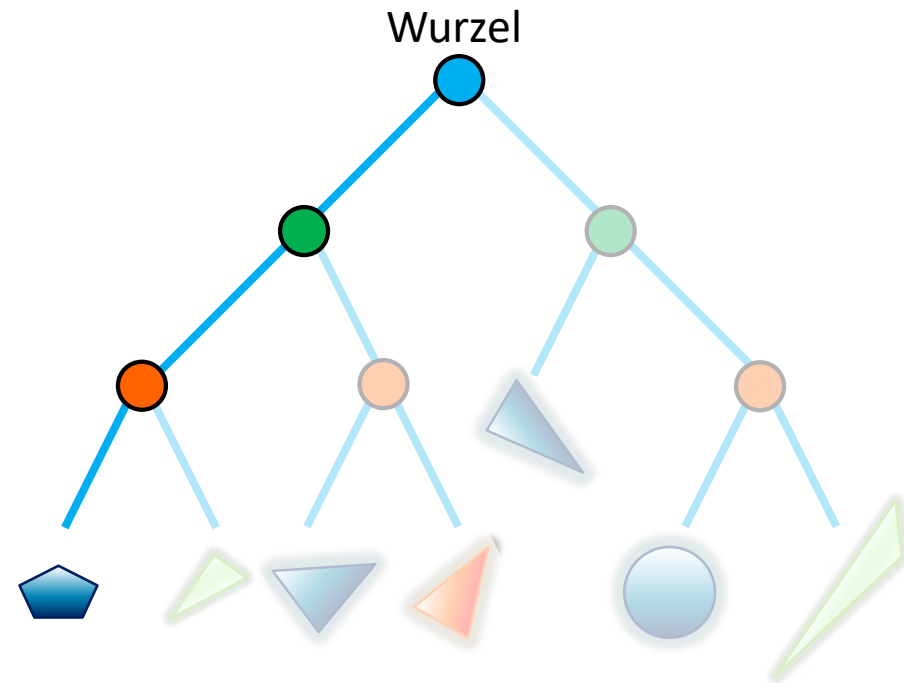
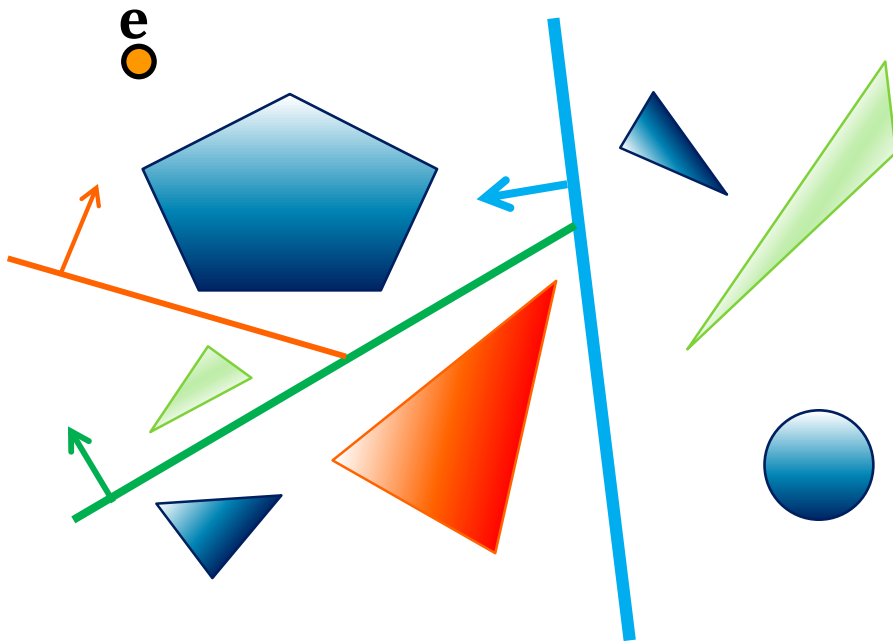


Suche im kD-/BSP-Baum

Suche das nahste Objekt/Primitiv zum Punkt e



- ▶ e liegt im positiven Halbraum der Split-Ebene des Knotens ●
- ▶ d.h. alle Objekte im negativen Halbraum sind „weiter hinten“

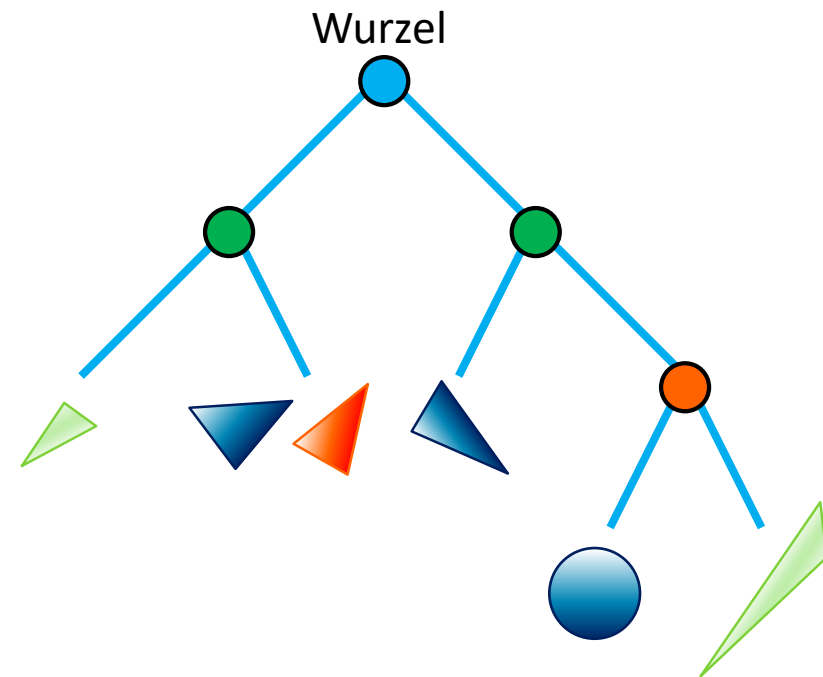
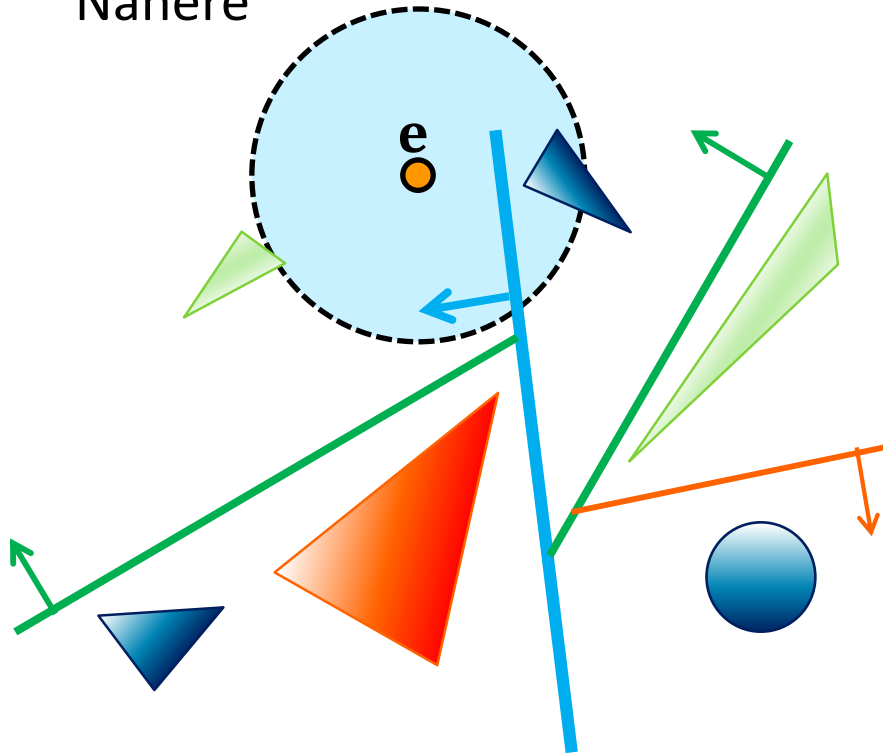
⚠ dieses Prozedere findet den Unterraum in dem sich e befindet, aber nicht immer das nahste Objekt!



Suche im kD-/BSP-Baum


Suche das nahste Objekt/Primitiv zum Punkt e

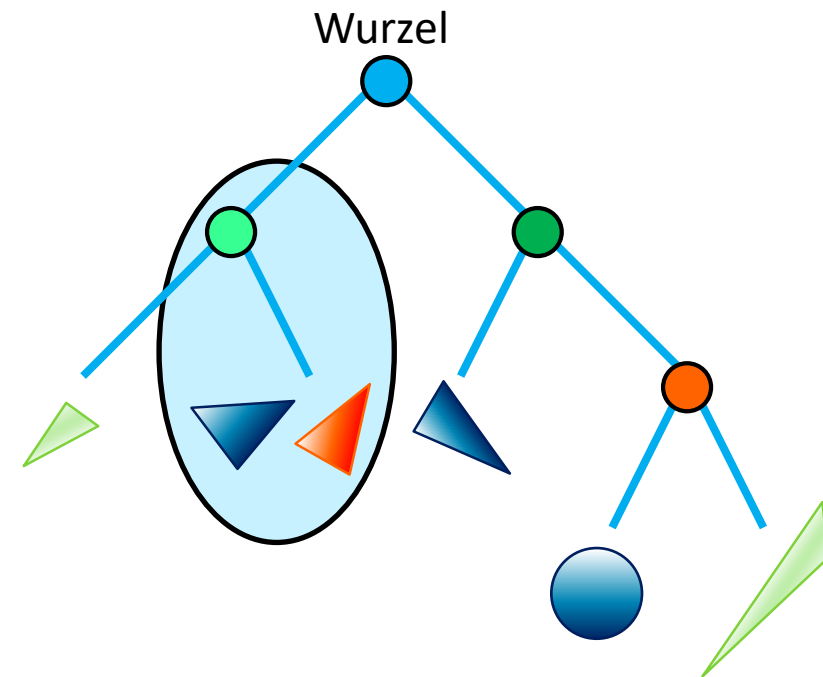
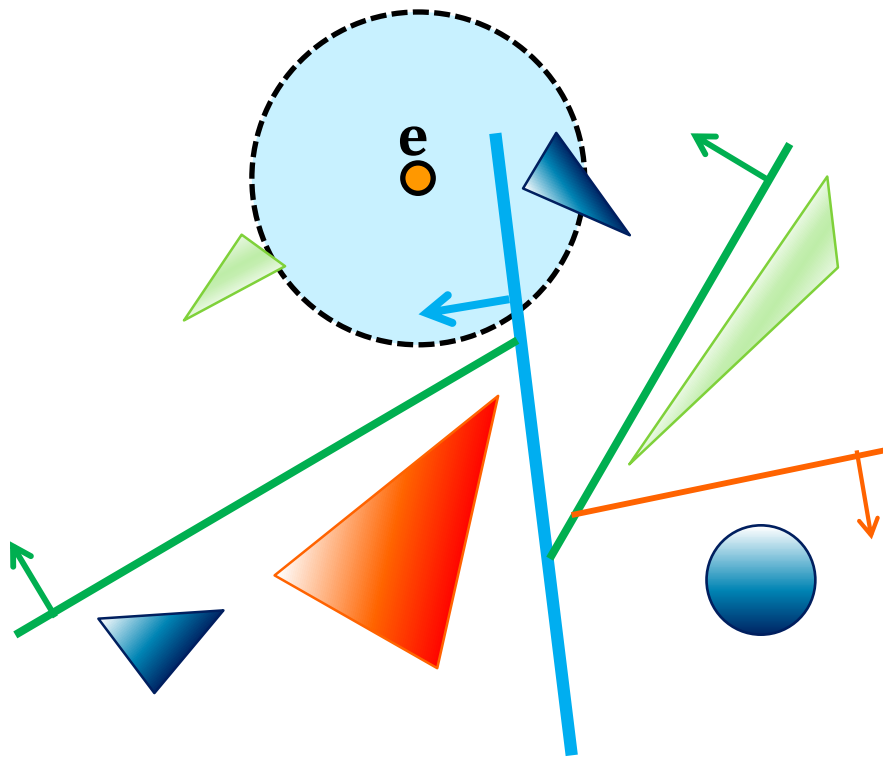
- ▶ das Objekt  im selben Unterraum wie e ist nicht das Nahste
- ▶ das gesuchte Objekt  kann in jedem Unterraum liegen, der näher an e liegt, als das bisher gefundene Primitiv
- ▶ speichere Abstand zum jeweils nahsten gefundenen Objekt und suche Nähere



Suche im kD-/BSP-Baum

Suche das nahste Objekt/Primitiv zum Punkt e

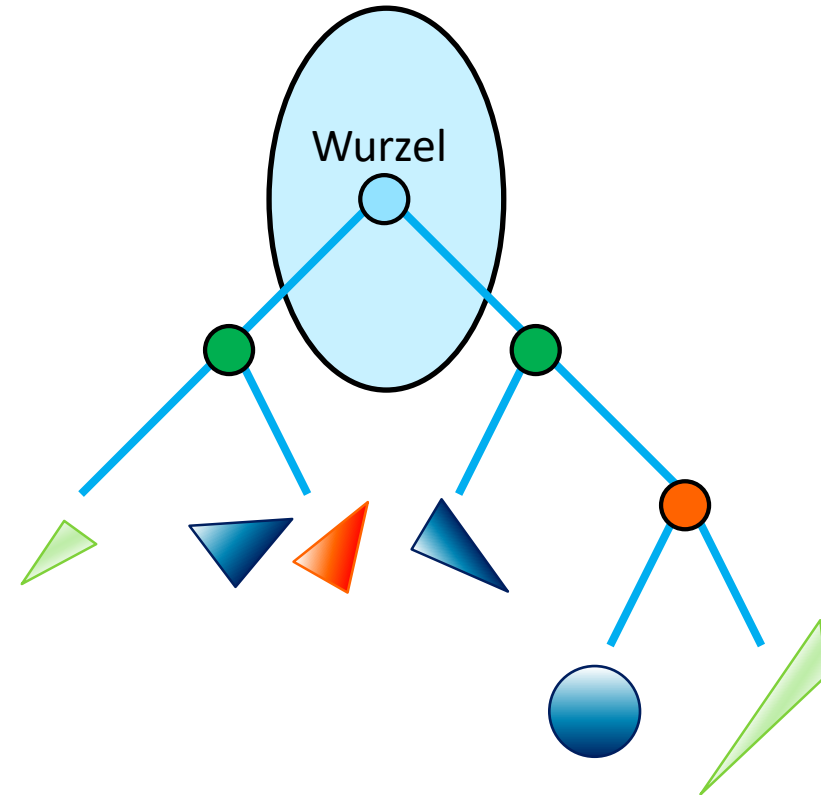
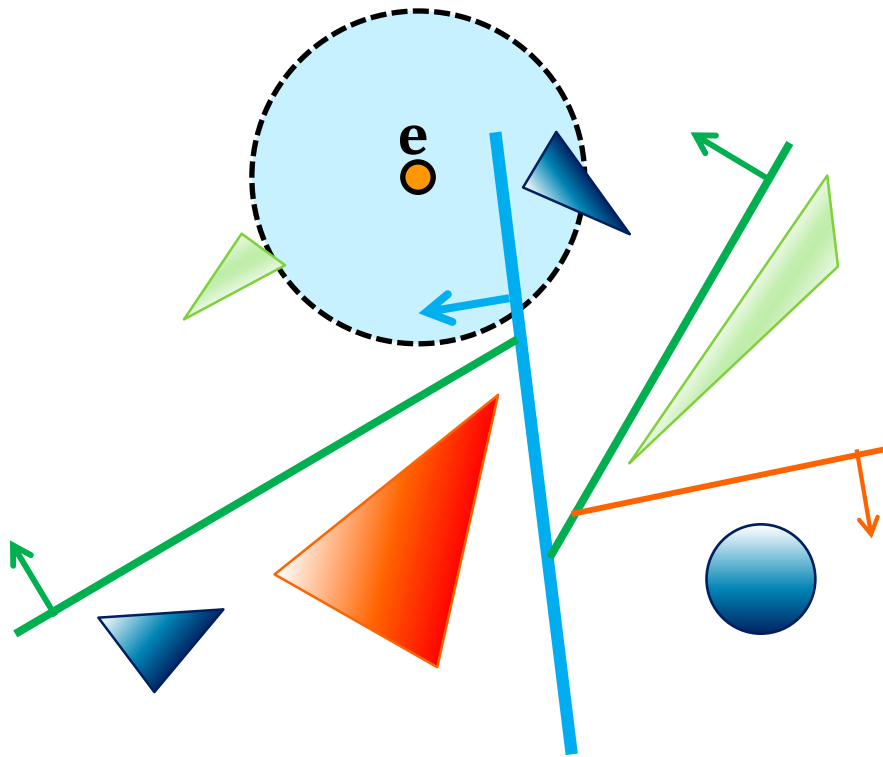
- ▶ das gesuchte Objekt kann in jedem Unterraum liegen, der näher an e liegt, als das bisher gefundene Primitiv
- ▶ gehe zum Elternknoten  und prüfe ob der andere Kindknoten in Frage kommt (hier nicht der Fall)



Suche im kD-/BSP-Baum

Suche das nahste Objekt/Primitiv zum Punkt e

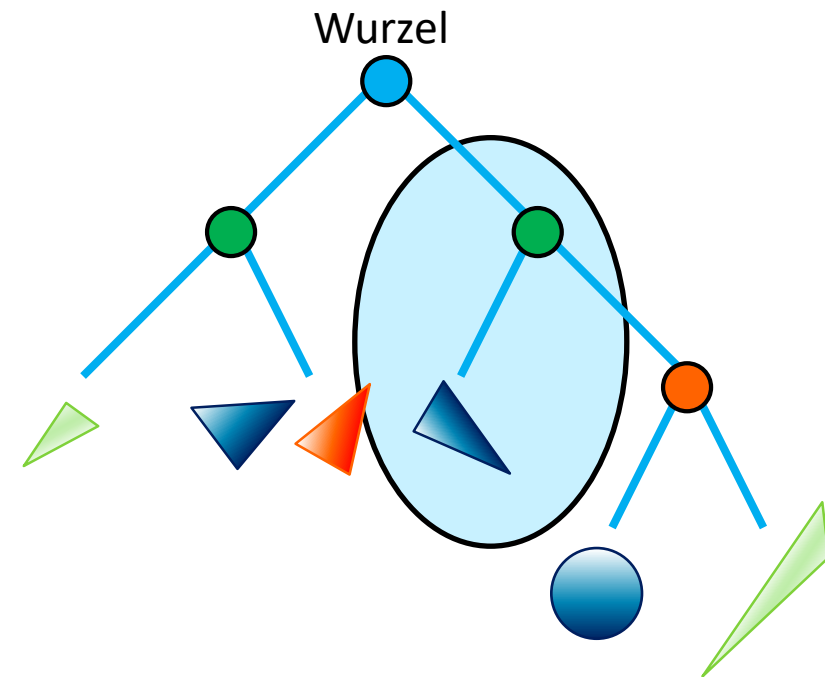
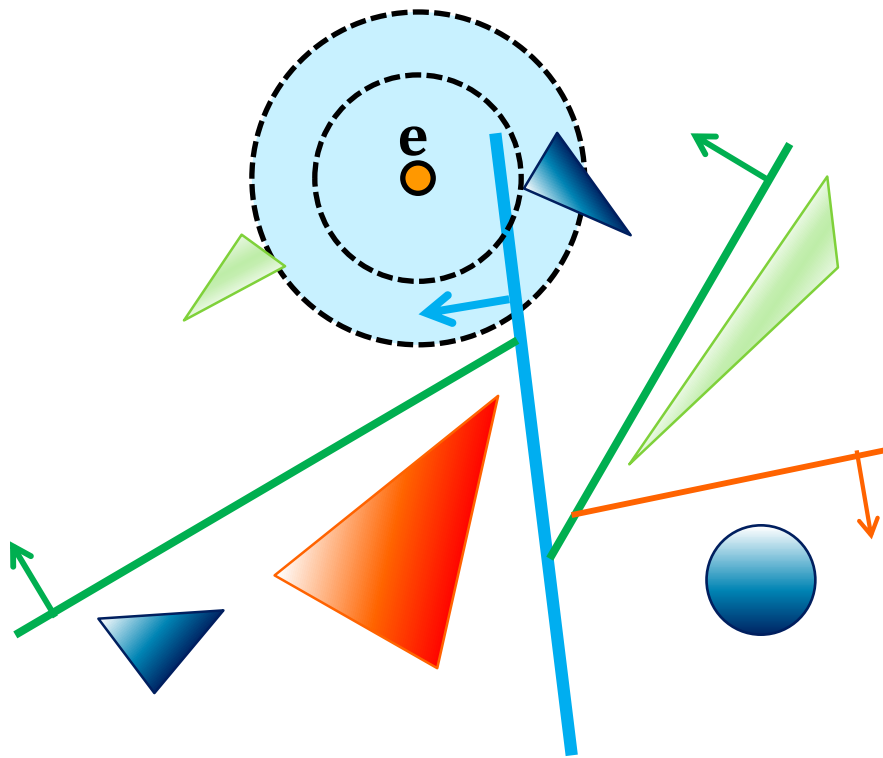
- ▶ das gesuchte Objekt kann in jedem Unterraum liegen, der näher an e liegt, als das bisher gefundene Primitiv
- ▶ gehe zum Eltern-Elternknoten \circ (hier schon die Wurzel) und prüfe ob der andere Kindknoten/Teilbaum in Frage kommt (hier der Fall)



Suche im kD-/BSP-Baum

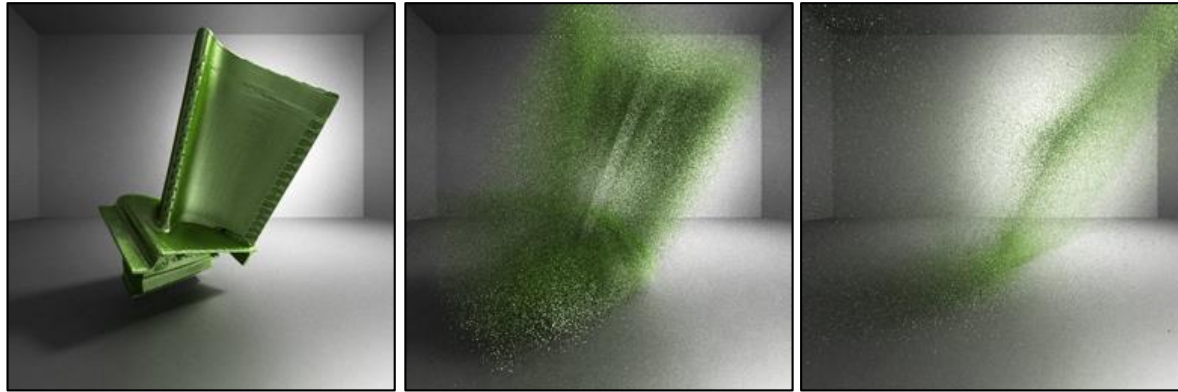
Suche das nahste Objekt/Primitiv zum Punkt e

- ▶ steige in diesem Teilbaum wieder durch Tiefensuche ab (depth-first traversal): jeweils den Ast des näheren Teilbaums zuerst
- ▶ im Mittel $O(\log n)$, worst case $O(n)$ (n Objekte/Primitive)



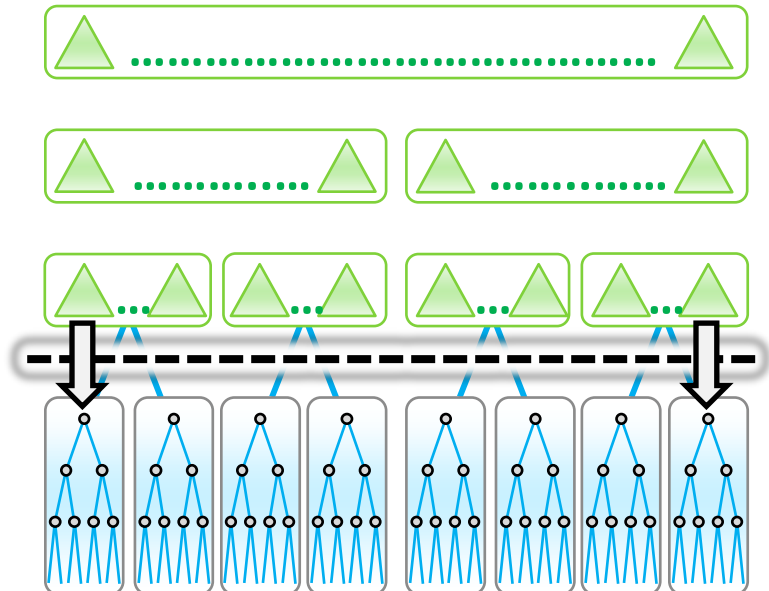
Parallele Konstruktion räumlicher Datenstrukturen

Neuberechnung und inkrementelle Updates in dynamischen Szenen?



Bilder:
Pantaleoni und Luebke

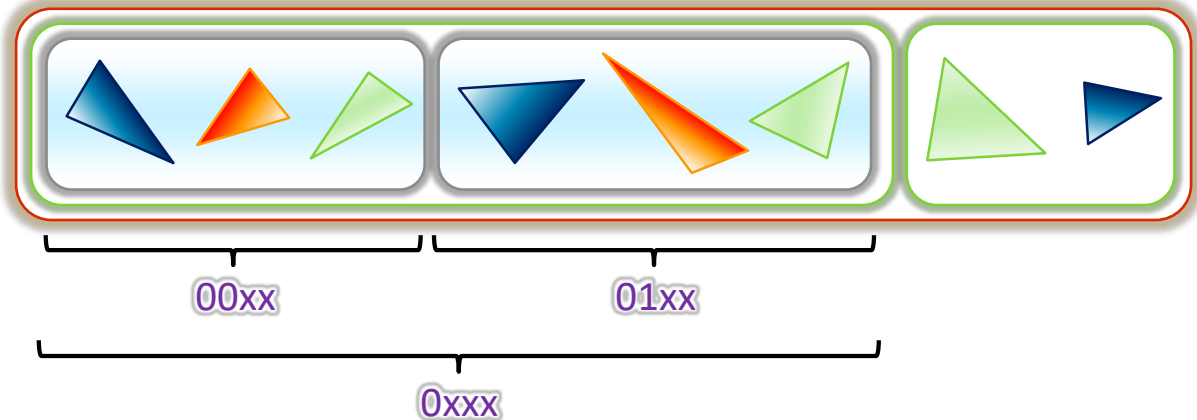
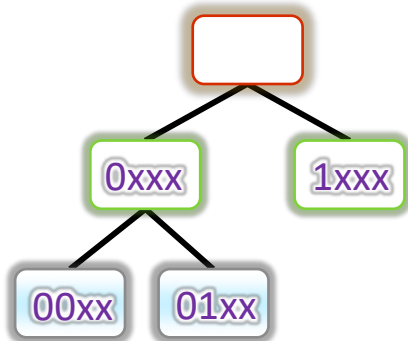
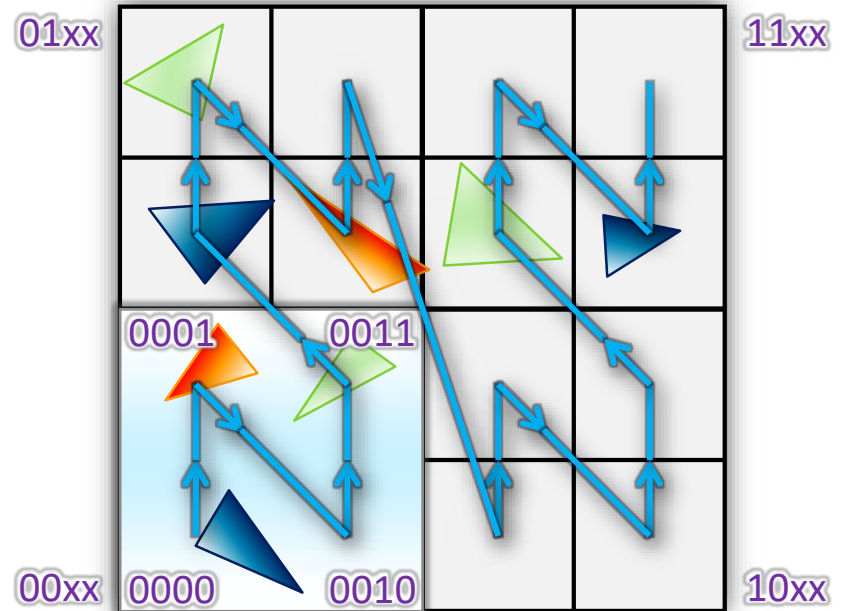
- ▶ paralleler Aufbau in Millisekunden für Millionen Dreiecke auf CPU und GPU
 - ▶ mehrere hundert Mio. Δ pro Sekunde mit und ohne SAH auf CPUs
 - ▶ Aufbaugeschwindigkeit und Qualität sind widersprüchliche Kriterien
 - ▶ ein weiteres Problem ist der temporäre Speicherbedarf bei der Konstruktion
- ▶ inkrementelle Updates in großen Szenen meist mit „two-level BVHs“



Parallele Konstruktion räumlicher Datenstrukturen

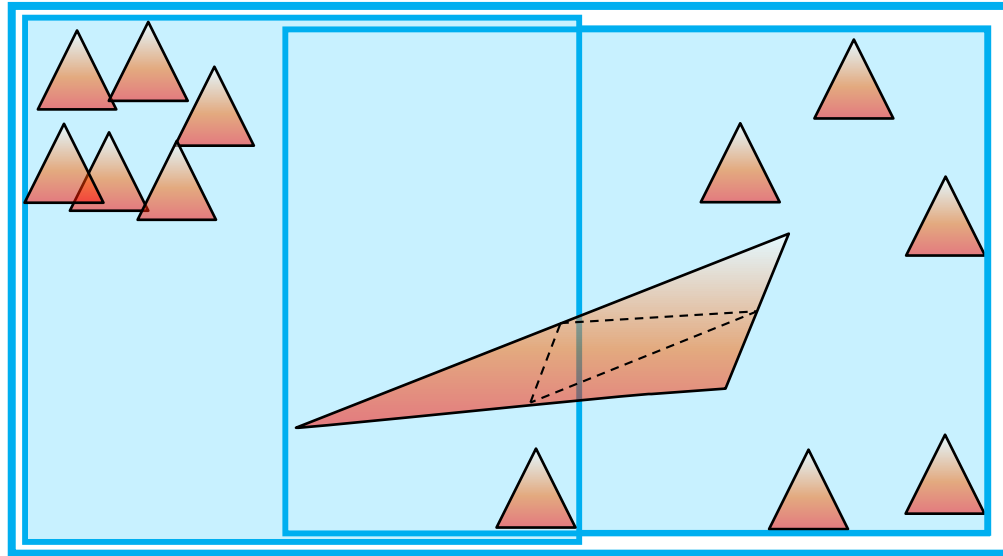
Grundidee: Vorsortierung durch Quantisierung und Morton Codes

- ▶ schnellstmögliche Konstruktion, zu Lasten der Qualität
- ▶ quantisiere Primitiveschwerpunkte
- ▶ Zuweisung Morton Codes zu Zellen
- ▶ sortiere Primitive nach Zellcodes
- ▶ ergibt implizite Baumstruktur



Bestimmen der besten Unterteilung

- ▶ große Primitive verhindern eine gute Unterteilung (insb. bei BVH)



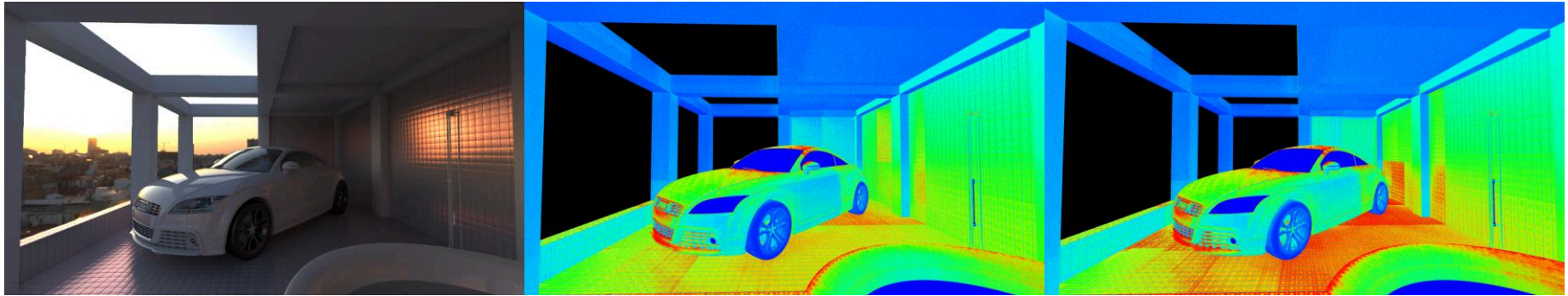
Optimierung

- ▶ 1-zu-4 Split → geringere Tiefe (Stack und Cache-Effekte)
z.B. Multi Bounding Volume Hierarchy, Ernst und Greiner, 2008
- ▶ ...

- ▶ Schattenstrahlen: weiche von Reihenfolge ab und teste zuerst nahe, große Dreiecke (nach Verdeckungswahrscheinlichkeit priorisiert)

SATO: Surface Area Traversal Order for Shadow Raytracing, Nah et al.

MBVH Child Node Sorting for Fast Occlusion Test, Ogaki et al.

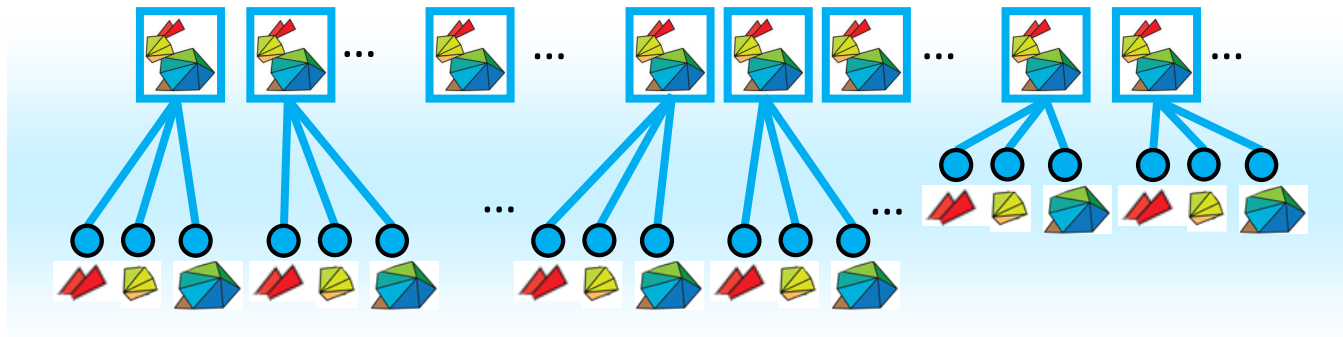


- ▶ Treelets: schneller paralleler Aufbau durch lokale „Umstrukturierung“
Fast Parallel Construction of High-Quality Bounding Volume Hierarchies, Karras und Aila, 2013
- ▶ Konstruktion anhand repräsentativer Geometrie-Stichproben
Stochastic Subsets for BVH Construction, Tessari et al., 2023
- ▶ immer noch aktuelle Forschung, manchmal ganze Konferenz-Sessions,
z.B: www.highperformancegraphics.org/2024/program/index.html
→ Session 1: Acceleration Structures

Hüllkörperhierarchie 2-Level-BVH

2-Level-BVH: üblich bei teildynamischen Szenen und Grafik-Hardware

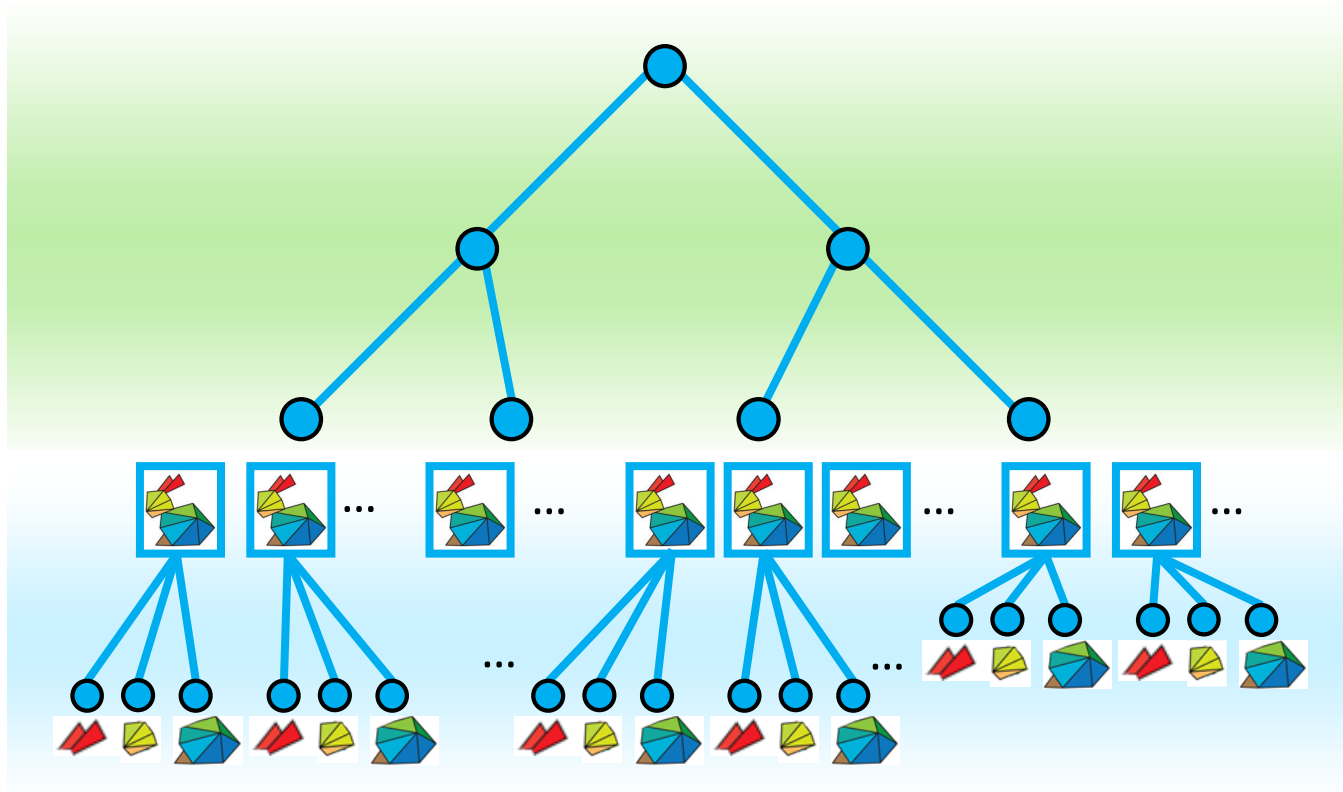
▶ BVHs pro (rigidem) 3D-Objekt



Hüllkörperhierarchie 2-Level-BVH

2-Level-BVH: üblich bei teildynamischen Szenen und Grafik-Hardware

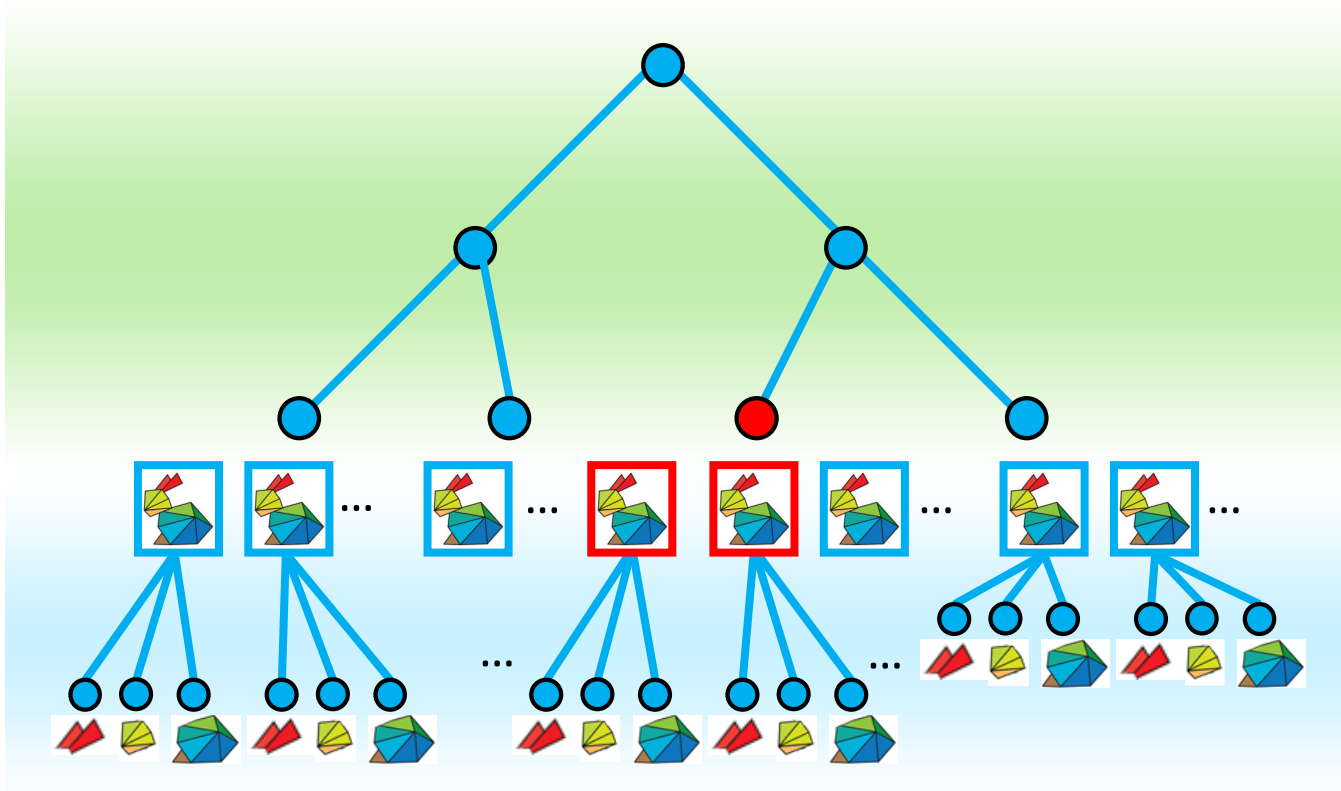
- ▶ BVHs pro (rigidem) 3D-Objekt
- ▶ ... darüber eine zweite BVH



Hüllkörperhierarchie 2-Level-BVH

2-Level-BVH: üblich bei teildynamischen Szenen und Grafik-Hardware

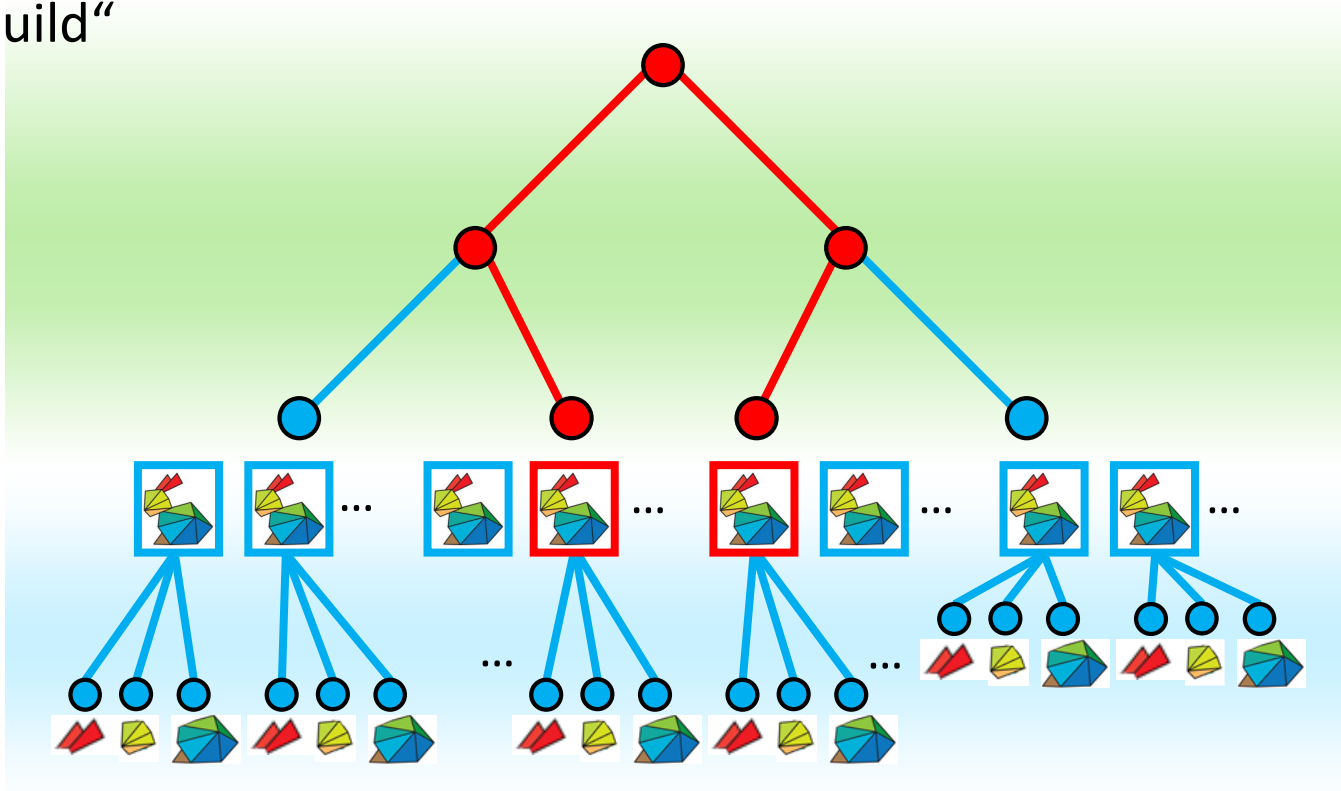
- ▶ BVHs pro (rigidem) 3D-Objekt
- ▶ ... darüber eine zweite BVH
→ kleine Bewegungen: „refit“



Hüllkörperhierarchie 2-Level-BVH

2-Level-BVH: üblich bei teildynamischen Szenen und Grafik-Hardware

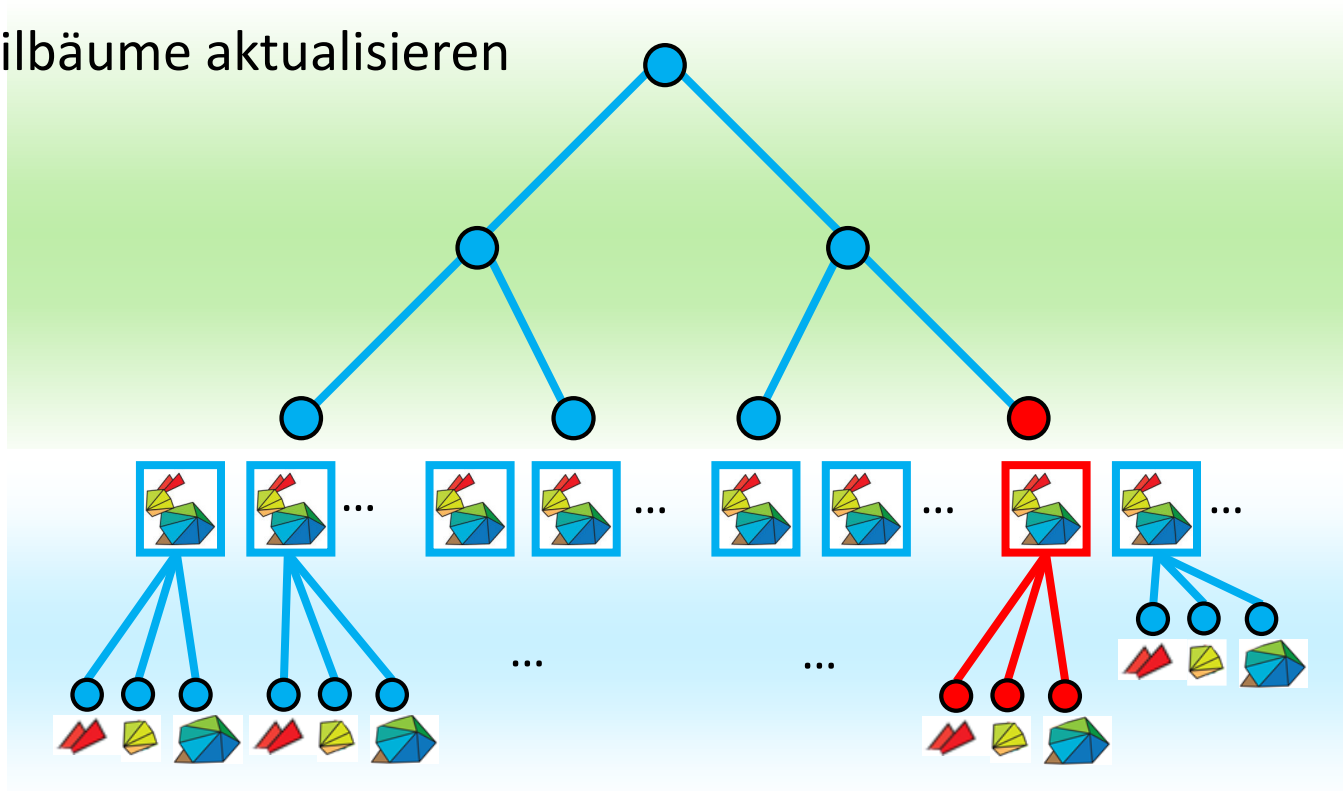
- ▶ BVHs pro (rigidem) 3D-Objekt
- ▶ ... darüber eine zweite BVH
→ größere Änderungen:
„rebuild“



Hüllkörperhierarchie 2-Level-BVH

2-Level-BVH: üblich bei teildynamischen Szenen und Grafik-Hardware

- ▶ BVHs pro (rigidem) 3D-Objekt
- ▶ ... darüber eine zweite BVH
- ▶ dynamische Geometrie:
nur Teilbäume aktualisieren



- ▶ moderne Grafik-Hardware unterstützt nativ Strahlschnitte mit räuml. DS
 - ▶ Konstruktion der DS auf CPU möglich
 - ▶ „Echtzeit-Raytracing“ bedeutet oft noch: Hybridansatz aus Rasterisierung für direkt sichtbare Flächen und Raytracing für Sekundärstrahlen
- ▶ **kohärente Strahlenpakete**: Gruppen von Strahlen mit ähnlichem Ursprung und Richtung (z.B. Primärstrahlen, Schattenstrahlen etc.)
 - ▶ schnelle Verarbeitung: oft ähnliche Wege durch die Beschleunigungsstruktur
- ▶ **inkohärente Pakete** können Parallelität der HW weniger (gut) nutzen
 - es gibt sogar Versuche Sekundärstrahlen während des Raytracing sortieren
- ▶ CPU-Raytracing: SIMD-Architekturen und Strahlenpakete (typ. 4-32 Strahlen)
 - ▶ Bsp. der Schnittest Strahl-AABB kann mit SIMD Befehlen einfach auf einen Test „Strahl gegen 4 AABBs“ erweitert werden

Fazit (Achtung: Erfahrungswerte!)



Vergleich Datenstrukturen

- ▶ **BVH mit AABBs**: schnelle Erzeugung, gute Hierarchie (tendenziell etwas Probleme mit großen Dreiecken)
- ▶ **kD-Baum**: aufwändiger zu konstruieren, manchmal einen Tick besser als BVH, optional kombiniert mit AABBs pro Knoten
- ▶ **BSP-Baum**: aufwändig zu konstruieren, oft nur ein marginal besser als ein gut konstruierter kD-Baum
- ▶ **Gitter**: für Raytracing nicht gut geeignet trotz einfachem Aufbau
 - ▶ oft als Suchstrukturen, z.B. in SPH-Simulationen verwendet
 - ▶ hierarchische Gitter und Octrees: eher eingesetzt für Simulationen
- ▶ weitere Verwendung (nicht nur) in der Computergrafik
 - ▶ Bounding Volumes und BVH: Culling in der Echtzeit-Grafik
 - ▶ kD-/BSP-Bäume: Sortierung, Suche, ...
 - ▶ Octrees: Speicherung von räumlichen Daten, z.B. 3D-Texturen
 - ▶ Kollisionserkennung (Physiksimulation, Robotik)